

CADERNO 2

PRODUTO 1 - ESTUDO DE TRÁFEGO

CONCESSÃO DE SERVIÇOS PÚBLICOS DE RECUPERAÇÃO, OPERAÇÃO, MANUTENÇÃO, CONSERVAÇÃO, IMPLANTAÇÃO DE MELHORIAS E AMPLIAÇÃO DE CAPACIDADE DO SISTEMA RODOVIÁRIO, COMPOSTO PELA RODOVIA MS-112 E TRECHOS DAS RODOVIAS BR-158 E BR-436



Sumário

| 1. I | Introdução | 7 |
|-------|--|----|
| 2. (| Caracterização da situação atual | 9 |
| 2.1. | Contagens de tráfego | 9 |
| 2.1.1 | . Realização das contagens | 10 |
| 2.1.2 | 2. Ajuste horário e semanal das contagens | 11 |
| 2.1.3 | 3. Ajuste mensal das contagens (cálculo do VDMA) | 15 |
| 2.2. | Localização das potenciais praças de pedágio | 19 |
| 2.3. | Pesquisas de origem-destino | 21 |
| 2.3.1 | . Realização das pesquisas | 21 |
| 2.3.2 | Principais resultados das pesquisas | 23 |
| 2.3.3 | 3. Linhas de Desejo | 28 |
| 2.3.4 | Pesquisa de Preferência Declarada | 29 |
| 3. I | Montagem do modelo de simulação | 32 |
| 3.1. | Rede georreferenciada | 33 |
| 3.2. | Zoneamento | 36 |
| 3.3. | Custos no modelo de simulação | 37 |
| 3.4. | Segmentação de classes | 39 |
| 3.5. | Elaboração da matriz de viagens | 39 |
| 3.6. | Calibração da rede | 40 |
| 3.6.1 | . Calibração da função de atraso | 41 |
| 3.6.2 | Validação do modelo | 41 |
| 3.6.3 | 8. Resultado da calibração | 43 |



| 4. C | álculo dos efeitos sobre o crescimento do tráfego | 45 |
|--------|--|----|
| 4.1. | Crescimento vegetativo do tráfego | 45 |
| 4.1.1. | Ajuste Regional | 46 |
| 4.1.2. | Ajuste de Tráfego | 47 |
| 4.1.3. | Combinação das taxas do ajuste regional e de tráfego | 48 |
| 4.1.4. | Atenuação das elasticidades | 48 |
| 4.1.5. | Projeção do PIB – Brasil | 49 |
| 4.1.6. | Taxas de crescimento do tráfego | 49 |
| 4.2. | Definição da quantidade e dos locais de praça de pedágio | 50 |
| 4.3. | Cenários futuros | 51 |
| 4.3.1. | Implantação das seis praças de pedágio no Lote Norte | 52 |
| 4.3.2. | Aumento do número de eixos suspensos | 54 |
| 4.3.3. | Concorrência modal | 54 |
| 4.3.4. | Pavimentação de rodovias concorrentes no Lote Norte | 55 |
| 5. P | rojeção de tráfego | 56 |
| 6. D | vimensionamento de elementos de engenharia | 58 |
| 6.1. | Dimensionamento do número de cabines | 58 |
| 6.2. | Dados brutos dos postos de contagem | 59 |
| 7. T | ermo de Encerramento | 62 |



Índice de Figuras

| Figura 1-1 - Lote Norte MS | 8 |
|--|----|
| Figura 2-1 - Localização das contagens de tráfego | 11 |
| Figura 2-2 - VDMA por classe de veículo nos postos de contagem | 19 |
| Figura 2-3 - Localização sugerida das praças de pedágio | 20 |
| Figura 2-4 - Localização das pesquisas OD | 22 |
| Figura 2-5 - Principais municípios na geração de viagens (em eixos) | 24 |
| Figura 2-6 - Linhas de desejo dos automóveis | 29 |
| Figura 2-7: Linhas de desejo dos caminhões | 29 |
| Figura 3-1 - Rede rodoviária de simulação utilizada no estudo | 32 |
| Figura 3-2 - Tipo de pista da rede rodoviária utilizada no estudo | 34 |
| Figura 3-3 - Qualidade do pavimento da rede rodoviária utilizada no estudo | 35 |
| Figura 3-4 - Tipo de revestimento da rede rodoviária utilizada no estudo | 35 |
| Figura 3-5 - Velocidade de fluxo livre da rede rodoviária utilizada no estudo | 36 |
| Figura 3-6 - Zoneamento do tráfego Brasil | 37 |
| Figura 3-7 - Eliminação das contagens duplas | 40 |
| Figura 3-8 - Rede calibrada para a situação atual | 45 |
| Figura 4-1 - Etapas do desenvolvimento de estudos de projeção de cres vegetativo | |
| Figura 4-2 - Mapa de diferença – Implantação de seis praças no Lote Norte | 53 |
| Figura 4-3 - Mapa de diferença – Pavimentação de Estaduais do MS | 55 |



Índice de Tabelas

| Tabela 2-1 - Categoria de veículos contados | 10 |
|--|----|
| Tabela 2-2 - Fator de expansão horário | 11 |
| Tabela 2-3 - Volume diário (após ajuste horário) | 12 |
| Tabela 2-4 - Volume diário médio semanal | 13 |
| Tabela 2-5 - Volume diário médio anual dos pontos de contagem | 17 |
| Tabela 2-6 - Resumo dos 26 postos de contagem (Bidirecional) | 18 |
| Tabela 2-7 - Localização sugerida das praças de pedágio | 20 |
| Tabela 2-8 - Resumo do tráfego potencial a ser pedagiado (total) | 21 |
| Tabela 2-9 - Quantidade de veículos entrevistados na Pesquisa OD | 22 |
| Tabela 2-10 - Nível de confiança atingido com a amostra de pesquisas OD | 23 |
| Tabela 2-11 - Quantidade de veículos que responderam à PD | 30 |
| Tabela 2-12 - Resultado do Método de Variação Custo/Variação Tempo para automó | |
| | |
| Tabela 2-13 - Resultado do Método de Variação Custo/Variação Tempo para camini | |
| Tabela 3-1 - Critérios de segmentação de automóveis | 39 |
| Tabela 3-2 - Critérios de segmentação de caminhões | 39 |
| Tabela 4-1 - Elasticidades - Resultado do Ajuste Regional | 47 |
| Tabela 4-2 - Elasticidades - Ajuste de tráfego | 47 |
| Tabela 4-3 - Elasticidades finais - Combinação dos ajustes regional e de tráfego | 48 |
| Tabela 4-4 - Localização das praças de pedágio propostas | 51 |
| Tabela 4-5 - Diferença no tráfego atual | 53 |
| Tabela 4-6 - Percentual atual e futuro de eixos suspensos | 54 |



| Tabela 4-7 - Impacto pavimentação estaduais MS | .56 |
|---|-----|
| Tabela 5-1 - Projeção do volume médio diário anual (em milhares) | .57 |
| Tabela 5-2 - Projeção de eixos equivalentes por dia (em milhares) | .57 |
| Tabela 5-3 - Projeção de eixos equivalentes por ano (em milhões) | .57 |
| Tabela 6-1 - Dados brutos dos postos de contagem | .59 |



Caderno 2 – Produto 01 – Estudos de Tráfego.

1. Introdução

O Programa Estadual de Parcerias Estratégicas para o Desenvolvimento de Infraestrutura foi instituído em 2016 pelo Governo do Estado do Mato Grosso do Sul, a fim de fortalecer a interação entre o Poder Público e a iniciativa privada por meio da estruturação de projetos que busquem ampliar a eficiência e a qualidade na prestação dos serviços públicos. O Programa é composto por importantes projetos de infraestrutura nas áreas de saneamento, telecomunicação, gás e transporte.

A concessão da Rodovia MS-306, licitada em dezembro de 2019, estreou com êxito o programa de concessão de rodovia estadual, tendo como vencedor o Consórcio Way-306, com uma oferta de outorga de R\$605 milhões, que assume a administração do trecho de aproximadamente 210 km de extensão localizado no limite leste do Mato Grosso do Sul próximo às divisas dos estados do Mato Grosso, Goiás e Minas Gerais.

Além da MS-306, o Escritório de Parcerias Estratégicas busca conceder outros trechos rodoviários à iniciativa privada nos próximos anos, com o objetivo de atrair capital privado e assegurar a realização de investimentos para a adequação de capacidade, reabilitação, operação, manutenção e conservação de eixos estruturantes do estado. Para tanto, contagens de tráfego já foram iniciadas para subsidiar novas modelagens, que seguirão o mesmo padrão da rodovia recém-concedida. Prevê-se inclusive a inserção de trechos de rodovias federais nos projetos de novas concessões estaduais, no intuito de torná-los mais viáveis.

Neste contexto, um dos agrupamentos de rodovias definido como prioritário para concessão pelo Escritório de Parcerias Estratégicas é denominado de "Lote Norte", o qual inclui trechos da BR-158/MS, BR-436/MS e MS-112 na porção nordeste do estado, conforme apresentado na Figura a seguir.



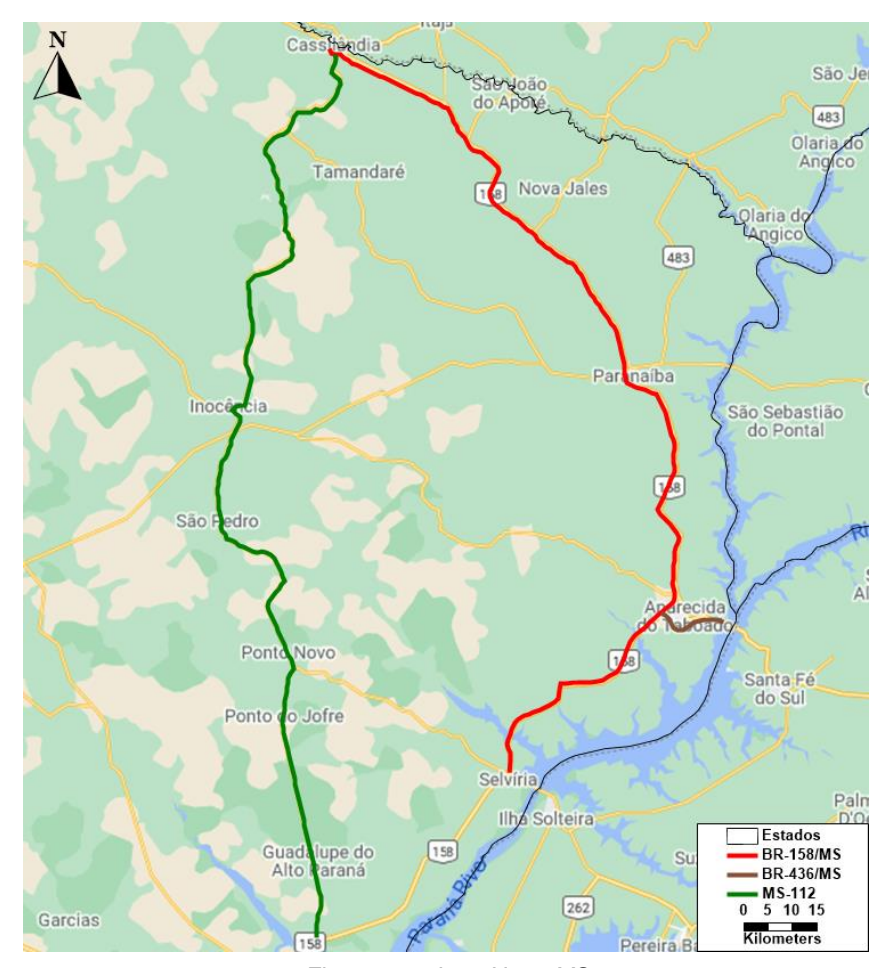


Figura 1-1 - Lote Norte MS

O Lote Norte está localizado próximo à divisa do estado com Minas Gerais e São Paulo e possui extensão aproximada de 412 km abrangendo, principalmente, duas alternativas de rota entre as cidades de Cassilândia e Três Lagoas. Este Lote dá sequência àquele vencido pela Way306 visto que ambas as rodovias - BR-158/MS e MS-112 - se iniciam na cidade de Cassilândia, na qual termina o trecho da concessão existente.

Os Estudos de Tráfego tiveram como objetivo embasar os estudos econômicofinanceiros, analisando as receitas e os custos de investimento futuros necessários à concessão do sistema rodoviário em questão. Este relatório foi estruturado de forma a contemplar todas as informações levantadas e metodologias adotadas para a análise da demanda da concessão, bem como suas características em termos de tráfego.

Os volumes de tráfego ao longo da concessão foram determinados através de um modelo de demanda, que é composto por matrizes de origem e destino e uma rede de transporte georreferenciada. Para a obtenção dos dados que compõem a rede e a matriz foram utilizadas informações de fontes secundárias e de levantamentos de campos realizados na rodovia de estudo. Para os volumes futuros foram realizadas projeções por zona de tráfego e utilizada como referência a matriz para o ano base.



Para analisar o comportamento dos usuários com a implantação dos pedágios, foram simuladas duas situações: um cenário sem pedagiamento (situação atual) e outro com seis praças de pedágio, considerando pavimentações futuras de rodovias estaduais do MS. A diferença entre o volume alocado sem pedágio e na situação com o pedagiamento mostram os usuários que optam por trafegar em outras rodovias por conta do aumento do custo de deslocamento e também apresentam os usuários que passam a rodar na rodovia pedagiada devido às melhorias da mesma. O valor que os motoristas estão dispostos a pagar para andar na rodovia foi determinado através do método de Variação Custo/Variação Tempo, calibrado através de pesquisas de preferência declarada e incorporado no modelo de demanda.

A estimativa do tráfego futuro e as melhorias previstas na rodovia foram utilizadas para avaliar os níveis de serviço dos segmentos rodoviários durante o período da concessão. Para fazer essa avaliação foi usada a metodologia do Highway Capacity Manual (HCM 2010), publicado pelo Transportation Research Board. Os resultados obtidos foram usados para ratificar a necessidade das obras previstas e identificar a necessidade de intervenções adicionais para garantir a boa operação da rodovia ao longo da concessão.

Os dados de tráfego também foram usados para avaliar os esforços sobre o pavimento. A estimativa dos esforços sobre o pavimento foi feita para cada segmento rodoviário usando as metodologias AASHTO e USACE. Por fim, foi dimensionado o número de cabines de pedágios necessárias para atender os usuários da rodovia ao longo do período da concessão.

Nos capítulos a seguir são apresentados com maior aprofundamento as metodologias, dados utilizados, bem como os resultados obtidos em cada etapa do processo de modelagem.

2. Caracterização da situação atual

Neste capítulo são descritas as principais características da demanda de tráfego, ou seja, quantidade de veículos nas rodovias em estudo, viagens existentes na região e os trajetos realizados no momento para atendê-las. Para tanto, foram analisados os resultados obtidos a partir das contagens classificadas de veículos e das pesquisas de origem-destino (OD).

2.1. Contagens de tráfego

As contagens volumétricas classificadas (CVC) visam determinar a quantidade, o sentido e a composição do fluxo de veículos que passam por um ou vários pontos selecionados do sistema viário, numa determinada unidade de tempo.



2.1.1. Realização das contagens

No presente estudo, para a quantificação do fluxo de veículos do trecho a ser concedido e do seu entorno, utilizou-se contagens realizadas entre junho e julho de 2021, sendo elas:

- ✓ Contagem de tráfego de 7 dias (24 horas) em 5 postos entre os dias 13 e 27/06/2021; e
- ✓ Contagem de tráfego de 1 dia (16 horas) em 21 postos entre os dias 14 e 30/06/2021.

Ressalta-se que as contagens foram realizadas pelo Consórcio com dados registrados através de tablets que possuem software específico para classificação e quantificação dos diferentes tipos de veículos, o resumo dessas contagens é apresentado no item 6.2.

Todos os dados levantados foram alvo de cuidadosa revisão e armazenados em planilhas eletrônicas de fácil conferência, com totalização a cada 15 minutos e classificação entre os diferentes tipos de veículo por quantidade de eixos, conforme evidenciado na Tabela a seguir. Também foi realizada a análise dos eixos suspensos, que foram totalizados por tipo de caminhão, importantes em função da cobrança de tarifa proporcional ao número de eixos rodantes e não totais.

Tabela 2-1 - Categoria de veículos contados

| < | | | | 2 | | | Caminhões | | | | | | | | | | | | | | | | | | | | | |
|------|-------------|----|----|----------|----|----|--------------|--------|----|----|-----|-----|-----|-----|-----|------------------|-----|-----|-----|-----|-----|-----|-----|-----|-----|-----|-----|---|
| GORI | Auto Ônibus | | | | | L | eves Pesados | | | | | | | | | Super Pesados | | | oto | | | | | | | | | |
| CATE | 2E | 3E | 4E | 2C | 3C | 4C | 2C(16) | 2C(22) | 3C | 4C | 282 | 283 | 213 | 2J3 | 382 | 383 | 313 | 313 | 2C2 | 2C3 | 3C2 | 3C3 | 483 | 3T4 | 3T6 | 3D4 | 3D6 | Ĕ |

A localização de todos os postos de contagem de tráfego pode ser vista na Figura seguinte.



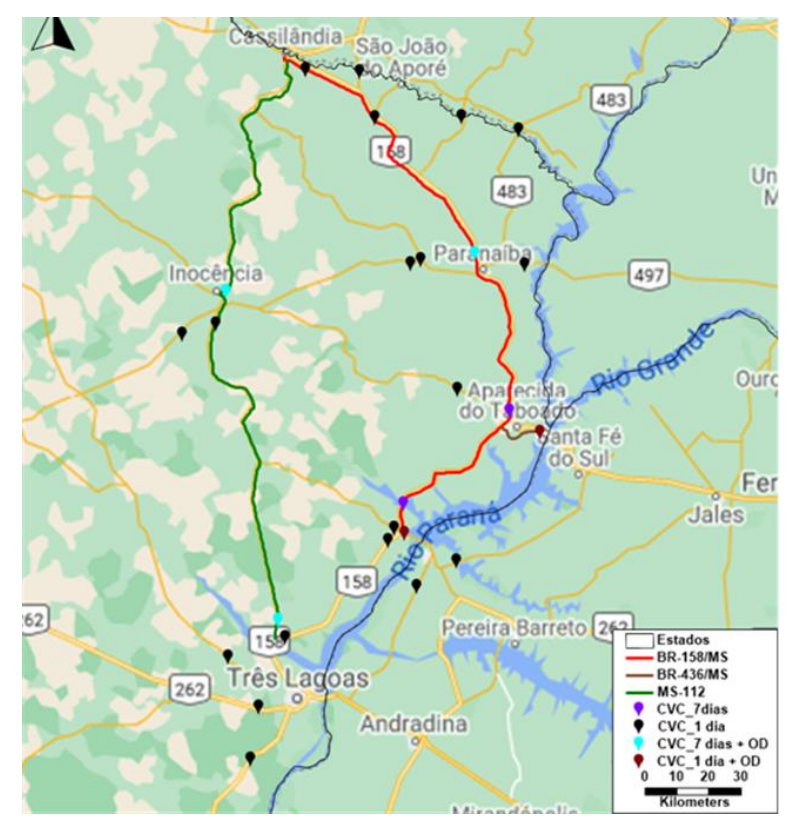


Figura 2-1 - Localização das contagens de tráfego

2.1.2. Ajuste horário e semanal das contagens

Para as contagens de 01 dia (16h) foi necessário o ajuste horário para que elas representassem as 24h de um dia. Sendo assim, optou-se por utilizar como referência as contagens de 7 dias e 24h, realizadas pelo Consórcio no mesmo período, nos 5 postos localizados no eixo do sistema rodoviário em estudo para que, assim, se chegasse a um fator de correção horário.

Para tanto, considerou-se a média do volume dos 5 postos e calcularam-se os fatores de expansão horário agregados por categoria de veículo, os quais podem ser conferidos na Tabela a seguir.

Fator de expansão horário Dia da semana **Passeio** Ônibus Cam. L Cam. P Cam. SP 0,806 segunda-feira 0,903 0,667 0,883 0,865 0,667 0,878 0,868 0,801 terça-feira 0,914 quarta-feira 0,914 0,667 0,861 0,871 0,809 quinta-feira 0,919 0,641 0,864 0,852 0,804 sexta-feira 0,920 0,615 0.869 0,863 0,782 sábado 0,924 0,750 0,867 0,890 0,826 domingo 0,932 0,773 0,878 0,883 0,845

Tabela 2-2 - Fator de expansão horário

^{*}Inclui automóveis e motos



Em seguida, realizou-se a expansão horária para cada um dos 21 postos de contagem de 16h deste estudo. Os volumes diários resultantes, por sentido, são apresentados na Tabela seguinte.

Tabela 2-3 - Volume diário (após ajuste horário)

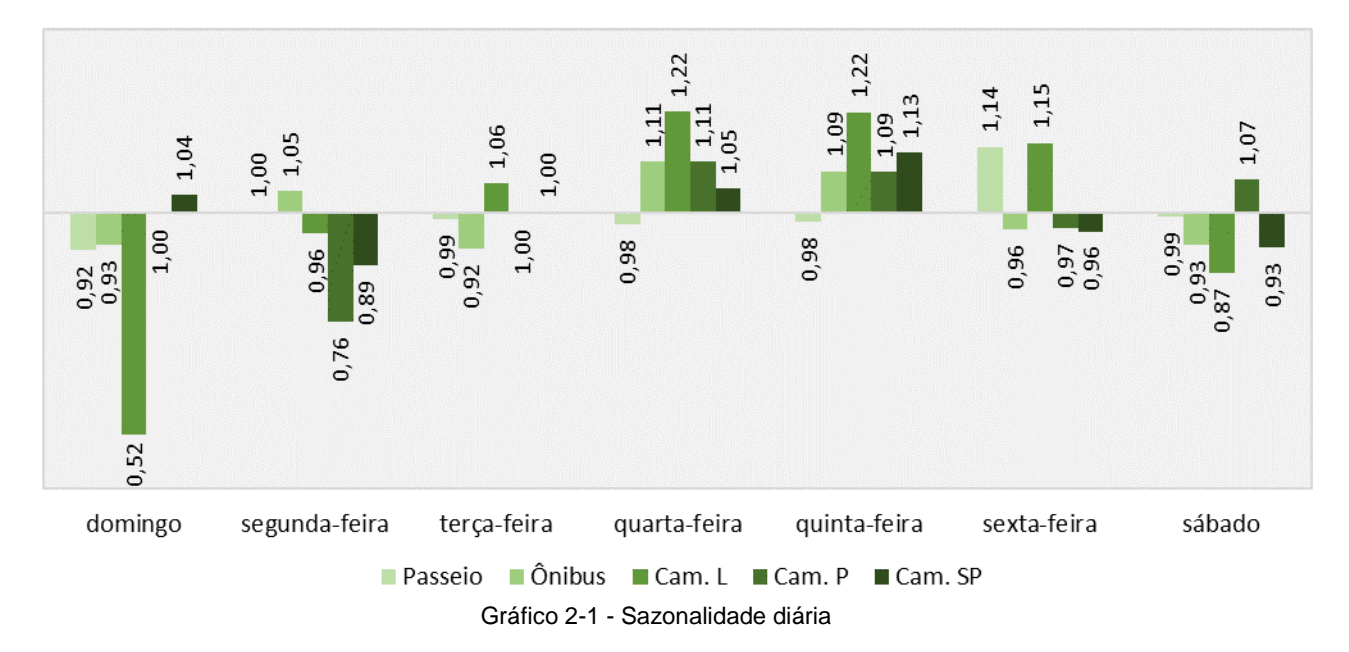
| | | | | bela 2-3 - Volume | | | |) | Caminhõ | es | |
|-------|---------------|---------------|-------|-------------------|-------|-------|--------|-------|---------|-----|-------|
| Posto | Rodovia | Referência | Sent. | Dia da semana | Autos | Motos | Önibus | Leves | Pesados | | Total |
| 6 | MS-434 | - | N | quinta-feira | 2 | 1 | 0 | 2 | 0 | 0 | 6 |
| 6 | MS-434 | - | S | quinta-feira | 5 | 1 | 0 | 2 | 0 | 0 | 9 |
| 7 | BR- 483/MS | - | N | sexta-feira | 71 | 17 | 0 | 13 | 0 | 1 | 102 |
| 7 | BR- 483/MS | - | S | sexta-feira | 64 | 7 | 0 | 7 | 1 | 0 | 79 |
| 8 | MS-316 | - | N | segunda-feira | 122 | 33 | 2 | 11 | 7 | 0 | 175 |
| 8 | MS-316 | - | S | segunda-feira | 117 | 43 | 5 | 7 | 8 | 0 | 180 |
| 9 | BR- 158/MS | km 201 | N | terça-feira | 361 | 15 | 26 | 92 | 54 | 263 | 812 |
| 9 | BR- 158/MS | km 201 | S | terça-feira | 356 | 18 | 17 | 85 | 88 | 246 | 808 |
| 10 | BR- 158/MS | km 248+500 | N | terça-feira | 964 | 34 | 78 | 177 | 135 | 437 | 1.824 |
| 10 | BR- 158/MS | km 248+500 | S | terça-feira | 985 | 37 | 92 | 183 | 202 | 425 | 1.924 |
| 11 | MS-444 | - | S | quarta-feira | 134 | 18 | 9 | 16 | 9 | 0 | 185 |
| 11 | MS-444 | - | N | quarta-feira | 127 | 20 | 8 | 21 | 9 | 0 | 184 |
| 12 | MS-444 | - | S | quinta-feira | 1.042 | 162 | 31 | 68 | 90 | 155 | 1.550 |
| 12 | MS-444 | - | N | quinta-feira | 1.029 | 168 | 27 | 52 | 86 | 152 | 1.513 |
| 13 | MS-310 | - | N | quarta-feira | 95 | 22 | 0 | 15 | 1 | 0 | 133 |
| 13 | MS-310 | - | S | quarta-feira | 99 | 20 | 0 | 14 | 1 | 0 | 133 |
| 14 | MS-240 | - | 0 | quarta-feira | 301 | 15 | 5 | 82 | 60 | 67 | 530 |
| 14 | MS-240 | - | L | quarta-feira | 290 | 20 | 9 | 92 | 56 | 122 | 589 |
| 15 | MS-377 | - | S | terça-feira | 335 | 14 | 2 | 88 | 78 | 119 | 635 |
| 15 | MS-377 | - | N | terça-feira | 315 | 18 | 12 | 84 | 96 | 160 | 684 |
| 16 | BR- 497/MS | km 5 | L | quinta-feira | 406 | 48 | 3 | 59 | 101 | 151 | 767 |
| 16 | BR- 497/MS | km 5 | 0 | quinta-feira | 392 | 48 | 2 | 49 | 86 | 107 | 682 |
| 17 | MS-112 | km 108 | S | segunda-feira | 270 | 29 | 3 | 44 | 34 | 73 | 453 |
| 17 | MS-112 | km 108 | N | segunda-feira | 362 | 30 | 8 | 68 | 28 | 72 | 567 |
| 18 | BR- 436/MS | km 4 | S | sexta-feira | 2.163 | 110 | 15 | 303 | 425 | 353 | 3.368 |
| 18 | BR- 436/MS | km 4 | N | sexta-feira | 2.006 | 101 | 21 | 275 | 460 | 325 | 3.188 |
| 19 | MS-431 | - | N | quarta-feira | 139 | 11 | 0 | 34 | 36 | 61 | 280 |
| 19 | MS-431 | - | S | quarta-feira | 147 | 9 | 0 | 43 | 34 | 33 | 266 |
| 20 | BR- 158/MS | km 9 | S | segunda-feira | 659 | 139 | 29 | 169 | 268 | 241 | 1.504 |
| 20 | BR- 158/MS | km 9 | N | segunda-feira | 851 | 194 | 32 | 179 | 240 | 223 | 1.719 |
| 21 | GO-178 | - | N | terça-feira | 124 | 4 | 3 | 28 | 85 | 178 | 423 |
| 21 | GO-178 | - | S | terça-feira | 105 | 5 | 3 | 62 | 114 | 206 | 495 |
| 22 | BR- 158/MS | km 297+700 | N | quinta-feira | 641 | 16 | 25 | 177 | 106 | 287 | 1.252 |
| 22 | BR- 158/MS | km 297+700 | S | quinta-feira | 639 | 9 | 31 | 168 | 123 | 331 | 1.300 |



| Posto | Rodovia | Referência | Sent. | Dia da semana | Autos | Motos | Ônibus | | Caminhõ | es | Total |
|-------|---------------|------------|-------|---------------|-------|-------|--------|-------|---------|----------|-------|
| Posto | Rodovia | Referencia | Sent. | Dia da Semana | Autos | WOTOS | Chibus | Leves | Pesados | Super P. | Total |
| 23 | BR- 262/MS | PRF | N | quarta-feira | 860 | 16 | 23 | 202 | 331 | 440 | 1.872 |
| 23 | BR- 262/MS | PRF | S | quarta-feira | 853 | 20 | 29 | 190 | 308 | 439 | 1.838 |
| 24 | MS-320 | - | N | quarta-feira | 105 | 4 | 3 | 28 | 6 | 51 | 197 |
| 24 | MS-320 | - | S | quarta-feira | 114 | 7 | 5 | 23 | 6 | 53 | 207 |
| 25 | SP-595 | - | N | segunda-feira | 540 | 49 | 17 | 126 | 62 | 154 | 947 |
| 25 | SP-595 | - | S | segunda-feira | 666 | 56 | 21 | 98 | 90 | 92 | 1.024 |
| 26 | SP-595 | - | S | terça-feira | 776 | 69 | 29 | 92 | 91 | 56 | 1.113 |
| 26 | SP-595 | - | N | terça-feira | 769 | 57 | 29 | 96 | 76 | 79 | 1.105 |

Em seguida, realizou-se o ajuste desses volumes para a média semanal, a partir da aplicação da sazonalidade diária, calculada também pela média dos 5 postos de 7 dias (24h). Neste sentido, para os 21 postos de 1 dia foram aplicados os fatores diários ilustrados no Gráfico a seguir.

Sazonalidade diária - Lote Norte MS



De posse dos fatores diário, pôde-se calcular o volume diário médio semanal (VDMs) para os 21 postos de 1 dia (16h). Para os outros 5 postos de 7 dias (24h), calculou-se o VDMs pela média dos volumes contados na semana para cada sentido. Os resultados são apresentados na Tabela a seguir.

Tabela 2-4 - Volume diário médio semanal

| Doote | Rodovia | Referência | Sent. | Autoo | Meteo | Ônibus | | Caminhõe | S | Total |
|-------|-----------|------------|-------|-------|--------|--------|-------|----------|----------|-------|
| Posto | Rodovia | Referencia | Sent. | Autos | WIOTOS | Onibus | Leves | Pesados | Super P. | Total |
| 1 | MS-112 | km 122 | N | 275 | 43 | 6 | 66 | 34 | 22 | 447 |
| 1 | MS-112 | km 122 | S | 275 | 42 | 6 | 69 | 32 | 15 | 438 |
| 2 | BR-158/MS | km 88 | N | 786 | 40 | 12 | 211 | 494 | 480 | 2.023 |
| 2 | BR-158/MS | km 88 | S | 736 | 36 | 13 | 206 | 467 | 417 | 1.875 |



EPE SEINFRA

Escritório de Parcerias Estratégicas

Secretaria de Estado de Infraestrutura

| | | | | | | . | | Caminhões | | |
|-------|------------------|------------|-------|-------|-------|----------|-------|-----------|----------|-------|
| Posto | Rodovia | Referência | Sent. | Autos | Motos | Ônibus | Leves | Pesados | Super P. | Total |
| 3 | MS-112 | km 5 | N | 304 | 11 | 6 | 58 | 38 | 92 | 510 |
| 3 | MS-112 | km 5 | S | 296 | 12 | 6 | 62 | 38 | 78 | 490 |
| 4 | BR-158/MS | km 141 | N | 1.087 | 52 | 13 | 236 | 484 | 483 | 2.354 |
| 4 | BR-158/MS | km 141 | S | 1.037 | 48 | 12 | 213 | 433 | 402 | 2.145 |
| 5 | BR-158/MS | km 187 | S | 373 | 17 | 13 | 75 | 103 | 337 | 918 |
| 5 | BR-158/MS | km 187 | N | 381 | 17 | 13 | 75 | 95 | 372 | 953 |
| 6 | MS-434 | - | N | 2 | 1 | 0 | 2 | 0 | 0 | 5 |
| 6 | MS-434 | - | S | 6 | 1 | 0 | 2 | 0 | 0 | 9 |
| 7 | BR-483/MS | - | N | 62 | 15 | 0 | 11 | 0 | 1 | 89 |
| 7 | BR-483/MS | - | S | 56 | 6 | 0 | 6 | 1 | 0 | 69 |
| 8 | MS-316 | - | N | 122 | 33 | 1 | 12 | 9 | 0 | 177 |
| 8 | MS-316 | - | S | 117 | 43 | 4 | 7 | 11 | 0 | 182 |
| 9 | BR-158/MS | km 201 | N | 366 | 16 | 28 | 87 | 54 | 262 | 812 |
| 9 | BR-158/MS | km 201 | S | 360 | 18 | 18 | 80 | 88 | 245 | 809 |
| 10 | BR-158/MS | km 248+500 | N | 977 | 34 | 85 | 166 | 135 | 435 | 1.832 |
| 10 | BR-158/MS | km 248+500 | S | 998 | 38 | 99 | 172 | 202 | 424 | 1.933 |
| 11 | MS-444 | - | S | 137 | 18 | 8 | 13 | 8 | 0 | 185 |
| 11 | MS-444 | - | N | 130 | 20 | 7 | 17 | 8 | 0 | 182 |
| 12 | MS-444 | - | S | 1.061 | 165 | 29 | 56 | 83 | 137 | 1.531 |
| 12 | MS-444 | - | N | 1.048 | 171 | 24 | 43 | 79 | 134 | 1.498 |
| 13 | MS-310 | - | N | 98 | 22 | 0 | 12 | 1 | 0 | 133 |
| 13 | MS-310 | - | S | 101 | 20 | 0 | 11 | 1 | 0 | 134 |
| 14 | MS-240 | - | 0 | 309 | 16 | 4 | 68 | 54 | 63 | 513 |
| 14 | MS-240 | - | L | 297 | 20 | 8 | 75 | 51 | 116 | 568 |
| 15 | MS-377 | - | S | 339 | 14 | 2 | 82 | 78 | 118 | 634 |
| 15 | MS-377 | _ | N | 319 | 18 | 13 | 79 | 96 | 159 | 684 |
| 16 | BR-497/MS | km 5 | L | 413 | 49 | 3 | 48 | 93 | 133 | 739 |
| 16 | BR-497/MS | km 5 | 0 | 399 | 49 | 1 | 40 | 79 | 95 | 662 |
| 17 | MS-112 | km 108 | S | 270 | 29 | 3 | 46 | 44 | 83 | 474 |
| 17 | MS-112 | km 108 | N | 361 | 30 | 7 | 71 | 36 | 81 | 587 |
| 18 | BR-436/MS | km 4 | S | 1.891 | 96 | 15 | 263 | 440 | 368 | 3.073 |
| 18 | BR-436/MS | km 4 | N | 1.753 | 88 | 22 | 239 | 476 | 338 | 2.917 |
| 19 | MS-431 | - | N | 143 | 11 | 0 | 28 | 32 | 58 | 271 |
| 19 | MS-431 | - | S | 150 | 9 | 0 | 35 | 31 | 32 | 257 |
| 20 | BR-158/MS | km 9 | S | 657 | 139 | 27 | 177 | 352 | 271 | 1.623 |
| 20 | BR-158/MS | km 9 | N | 850 | 193 | 30 | 187 | 315 | 252 | 1.827 |
| 21 | GO-178 | - | N | 125 | 4 | 3 | 27 | 85 | 178 | 423 |
| 21 | GO-178 | - | S | 106 | 6 | 3 | 58 | 114 | 205 | 492 |
| 22 | BR-158/MS | km 297+700 | N | 652 | 17 | 23 | 145 | 97 | 254 | 1.188 |
| 22 | BR-158/MS | km 297+700 | S | 650 | 9 | 29 | 138 | 113 | 292 | 1.231 |
| 23 | BR-262/MS | PRF | N | 882 | 17 | 20 | 165 | 297 | 418 | 1.800 |
| 23 | BR-262/MS | PRF | S | 874 | 20 | 26 | 156 | 277 | 417 | 1.769 |
| 24 | MS-320 | - | N | 108 | 4 | 3 | 23 | 5 | 48 | 191 |
| 24 | MS-320 | _ | S | 117 | 7 | 4 | 19 | 5 | 51 | 202 |
| 25 | SP-595 | - | N | 539 | 49 | 16 | 131 | 82 | 173 | 990 |
| 25 | SP-595 | _ | S | 665 | 56 | 20 | 103 | 118 | 104 | 1.066 |
| 26 | SP-595 | _ | S | 786 | 70 | 31 | 87 | 91 | 56 | 1.121 |
| 26 | SP-595 SP-595 | - | N | 780 | 58 | 31 | 90 | 76 | 78 | 1.113 |
| 20 | 3F-383 | - | IN | 100 | 50 | 31 | 90 | 10 | 10 | 1.113 |





2.1.3. Ajuste mensal das contagens (cálculo do VDMA)

A variação do tráfego ao longo do ano, também conhecida como variação sazonal, é função do tipo de via e das atividades a que ela serve. As rodovias rurais, principalmente aquelas que atendem áreas turísticas, apresentam variação de automóveis superiores às das vias em áreas urbanas, uma vez que os volumes são muito maiores nos períodos de férias escolares, que coincidem com as épocas mais procuradas para passeios. No caso das rodovias da Região Centro-Oeste do Brasil, responsáveis pelo escoamento da produção agrícola, a movimentação de caminhões (principalmente os de maior número de eixos) varia sensivelmente conforme as épocas de safra. Contudo, a movimentação pode ser alterada de um ano para outro devido às condições do tempo (que afetam o plantio e colheita) ou mesmo à variação cambial do dólar, uma vez que grande parte da produção é exportada.

Dessa forma, torna-se importante a análise do comportamento do tráfego na rodovia em estudo para a correta identificação de elementos existentes que permitam determinar fatores de sazonalidade para ajuste dos resultados das contagens ao volume médio do ano, tais como:

- ✓ Postos de contagens permanentes ou que levantem informações de diversas épocas do ano;
- ✓ Contagens existentes em períodos específicos do ano, de maior variação de tráfego no local;
- ✓ Outros indicadores da flutuação sazonal do tráfego, como por exemplo, consumo de combustível.

Para o ajuste mensal de todas as contagens deste estudo optou-se por utilizar como referência os fatores de sazonalidade obtidos com base na série histórica dos anos de 2016, 2017 e 2019 das praças P6, P7, P8 e P9 da Concessionária MS Via (BR-163/MS). O ano de 2018 não foi utilizado dada a distorção dos fatores de sazonalidade causada pela greve dos caminhoneiros ocorrida no ano e que causou grande impacto na circulação de veículos.

O Gráfico a seguir apresenta os fatores de sazonalidade mensal aplicados neste estudo. Destaca-se que para os ônibus foram adotados os mesmos fatores dos caminhões leves.





Gráfico 2-2 - Sazonalidade mensal

Aplicados os fatores de sazonalidade, pôde-se determinar os VDMAs dos 26 postos de contagem conforme exposto na Tabela a seguir.

EPE SEINFRA

Escritório de Parcerias Estratégicas

Secretaria de Estado de Infraestrutura

Tabela 2-5 - Volume diário médio anual dos pontos de contagem

| | | | | | | | | Caminhõe | e | |
|----------|---------------------|--------------|--------|------------|----------|---------|----------|----------|------------|------------|
| Posto | Rodovia | Referência | Sent. | Autos | Motos | Ônibus | Leves | Pesados | Super P. | Total |
| 1 | MS-112 | km 122 | N | 319 | 50 | 6 | 68 | 32 | 19 | 493 |
| 1 | MS-112 | km 122 | S | 318 | 49 | 6 | 71 | 29 | 12 | 486 |
| 2 | BR-158/MS | km 88 | N | 909 | 46 | 12 | 217 | 459 | 408 | 2.051 |
| 2 | BR-158/MS | km 88 | S | 851 | 42 | 14 | 212 | 434 | 354 | 1.906 |
| 3 | MS-112 | km 5 | N | 352 | 12 | 6 | 60 | 35 | 78 | 544 |
| 3 | MS-112 | km 5 | S | 342 | 13 | 6 | 63 | 35 | 66 | 525 |
| 4 | BR-158/MS | km 141 | N | 1.257 | 60 | 13 | 242 | 450 | 410 | 2.432 |
| 4 | BR-158/MS | km 141 | S | 1.199 | 56 | 12 | 218 | 402 | 341 | 2.229 |
| 5 | BR-158/MS | km 187 | S | 431 | 20 | 13 | 77 | 96 | 286 | 923 |
| 5 | BR-158/MS | km 187 | N | 440 | 19 | 13 | 77 | 88 | 316 | 955 |
| 6 | MS-434 | - | N | 3 | 1 | 0 | 2 | 0 | 0 | 6 |
| 6 | MS-434 | - | S | 6 | 1 | 0 | 2 | 0 | 0 | 10 |
| 7 | BR-483/MS | - | N | 71 | 18 | 0 | 11 | 0 | 1 | 101 |
| 7 | BR-483/MS | - | S | 65 | 7 | 0 | 6 | 1 | 0 | 79 |
| 8 | MS-316 | - | N | 141 | 38 | 1 | 12 | 8 | 0 | 201 |
| 8 | MS-316 | - | S | 135 | 50 | 4 | 7 | 10 | 0 | 207 |
| 9 | BR-158/MS | km 201 | N | 423 | 18 | 28 | 89 | 50 | 223 | 832 |
| 9 | BR-158/MS | km 201 | S | 417 | 21 | 18 | 82 | 81 | 208 | 828 |
| 10 | BR-158/MS | km 248+500 | N | 1.130 | 40 | 87 | 170 | 125 | 370 | 1.922 |
| 10 | BR-158/MS | km 248+500 | S | 1.154 | 44 | 102 | 177 | 188 | 360 | 2.025 |
| 11 | MS-444 | - | S | 158 | 21 | 8 | 14 | 8 | 0 | 209 |
| 11 | MS-444 | - | N | 151 | 23 | 7 | 18 | 8 | 0 | 206 |
| 12 | MS-444 | - | S | 1.227 | 191 | 29 | 57 | 77 | 117 | 1.699 |
| 12 | MS-444 | - | N | 1.212 | 197 | 25 | 44 | 73 | 114 | 1.665 |
| 13 | MS-310 | - | N | 113 | 26 | 0 | 13 | 1 | 0 | 152 |
| 13 | MS-310 | - | S | 117 | 23 | 0 | 12 | 1 | 0 | 153 |
| 14 | MS-240 | - | 0 | 357 | 18 | 4 | 69 | 50 | 54 | 552 |
| 14 | MS-240 | - | L | 344 | 23 | 8 | 77 | 47 | 99 | 598 |
| 15 15 | MS-377 | - | S N | 393 | 17 | 2 | 85 | 73 89 | 100 135 | 669 709 |
| 16 | MS-377 BR-497/MS | lem E | L | 369 478 | 21 56 | 13 3 | 81 50 | 86 | 113 | 786 |
| 16 | BR-497/MS | km 5 km 5 | 0 | 461 | 56 | 1 | 41 | 73 | 80 | 713 |
| 17 | MS-112 | km 108 | S | 312 | 33 | 3 | 47 | 41 | 70 | 506 |
| 17 | MS-112 | km 108 | N | 418 | 35 | 7 | 73 | 34 | 69 | 635 |
| 18 | BR-436/MS | km 4 | S | 2.187 | 111 | 16 | 269 | 409 | 312 | 3.304 |
| 18 | BR-436/MS | km 4 | N | 2.028 | 102 | 22 | 245 | 442 | 288 | 3.127 |
| 19 | MS-431 | - | N | 165 | 13 | 0 | 28 | 30 | 49 | 285 |
| 19 | MS-431 | - | S | 174 | 10 | 0 | 36 | 29 | 27 | 276 |
| 20 | BR-158/MS | km 9 | S | 760 | 161 | 28 | 181 | 326 | 231 | 1.687 |
| 20 | BR-158/MS | km 9 | N | 983 | 224 | 31 | 192 | 293 | 214 | 1.936 |
| 21 | GO-178 | - | N | 145 | 5 | 3 | 27 | 79 | 151 | 411 |
| 21 | GO-178 | - | S | 123 | 6 | 3 | 59 | 106 | 174 | 473 |
| 22 | BR-158/MS | km 297+700 | N | 755 | 19 | 23 | 149 | 90 | 216 | 1.252 |
| 22 | BR-158/MS | km 297+700 | S | 752 | 10 | 29 | 141 | 105 | 248 | 1.286 |
| 23 | BR-262/MS | PRF | N | 1.020 | 19 | 21 | 170 | 276 | 355 | 1.861 |
| 23 | BR-262/MS | PRF | S | 1.011 | 23 | 26 | 160 | 257 | 354 | 1.832 |
| 24 | MS-320 | - | N | 125 | 5 | 3 | 23 | 5 | 41 | 202 |
| 24 | MS-320 | - | S | 135 | 8 | 4 | 20 | 5 | 43 | 214 |
| 25 | SP-595 | - | N | 624 | 56 | 16 | 135 | 76 | 147 | 1.054 |
| 25 | SP-595 | - | S | 769 | 65 | 21 | 106 | 110 | 88 | 1.158 |
| 26 | SP-595 | - | S | 909 | 81 | 32 | 89 | 85 | 48 | 1.243 |
| 26 | SP-595 | - | N | 902 | 67 | 32 | 92 | 71 | 67 | 1.230 |



A Tabela a seguir apresenta um resumo dos 26 postos de contagem, considerando o sentido bidirecional das rodovias e incluindo a análise de eixos rodantes e suspensos.

Tabela 2-6 - Resumo dos 26 postos de contagem (Bidirecional)

| | | | | | 2 | ' | Caminhões | | | Eixos/d | ia Totais |
|------|---------------|----------------|-----------|-----------|------------|-------|-----------|-------|-----------|---------|-----------|
| Post | Rodovi a | Referênci a | Auto s | Moto s | Ônibu s | Leve | Pesado | Super | Total | Rodante | Suspenso |
| | | | • | • | | S | S | P. | | S | S |
| 1 | MS-112 | km 122 | 636 | 99 | 12 | 139 | 61 | 31 | 979 | 1.576 | 69 |
| 2 | BR- 158/MS | km 88 | 1.760 | 87 | 26 | 428 | 893 | 762 | 3.95 | 13.469 | 654 |
| 3 | MS-112 | km 5 | 694 | 26 | 12 | 123 | 70 | 145 | 1.06 9 | 2.458 | 223 |
| 4 | BR- 158/MS | km 141 | 2.456 | 116 | 25 | 460 | 852 | 752 | 4.66 1 | 13.786 | 728 |
| 5 | BR- 158/MS | km 187 | 871 | 39 | 27 | 155 | 184 | 602 | 1.87 8 | 6.847 | 670 |
| 6 | MS-434 | - | 9 | 3 | 0 | 4 | 0 | 0 | 15 | 20 | 1 |
| 7 | BR- 483/MS | - | 136 | 24 | 0 | 17 | 1 | 1 | 180 | 207 | 4 |
| 8 | MS-316 | - | 276 | 88 | 6 | 19 | 18 | 0 | 408 | 441 | 17 |
| 9 | BR- 158/MS | km 201 | 840 | 38 | 47 | 171 | 132 | 431 | 1.66 0 | 5.202 | 692 |
| 10 | BR- 158/MS | km 248+500 | 2.285 | 83 | 189 | 347 | 313 | 730 | 3.94 7 | 10.494 | 1.124 |
| 11 | MS-444 | - | 309 | 44 | 15 | 31 | 15 | 0 | 415 | 527 | 2 |
| 12 | MS-444 | - | 2.439 | 388 | 54 | 101 | 150 | 231 | 3.36 4 | 5.421 | 260 |
| 13 | MS-310 | - | 230 | 49 | 0 | 24 | 2 | 0 | 305 | 320 | 0 |
| 14 | MS-240 | - | 701 | 42 | 12 | 146 | 97 | 153 | 1.15 1 | 2.753 | 189 |
| 15 | MS-377 | - | 762 | 37 | 15 | 166 | 162 | 236 | 1.37 7 | 3.853 | 250 |
| 16 | BR- 497/MS | km 5 | 939 | 113 | 4 | 90 | 159 | 193 | 1.49 9 | 3.616 | 158 |
| 17 | MS-112 | km 108 | 730 | 68 | 10 | 120 | 75 | 139 | 1.14 2 | 2.466 | 194 |
| 18 | BR- 436/MS | km 4 | 4.215 | 213 | 38 | 514 | 851 | 600 | 6.43 | 14.362 | 772 |
| 19 | MS-431 | - | 339 | 23 | 0 | 64 | 58 | 76 | 561 | 1.346 | 71 |
| 20 | BR- 158/MS | km 9 | 1.743 | 385 | 59 | 373 | 619 | 445 | 3.62 3 | 9.667 | 366 |
| 21 | GO-178 | - | 268 | 12 | 7 | 87 | 185 | 325 | 884 | 3.841 | 292 |
| 22 | BR- 158/MS | km 297+700 | 1.507 | 29 | 53 | 290 | 195 | 464 | 2.53 8 | 6.646 | 734 |
| 23 | BR- 262/MS | PRF | 2.031 | 43 | 47 | 330 | 533 | 710 | 3.69 3 | 10.980 | 1.188 |
| 24 | MS-320 | - | 260 | 13 | 7 | 43 | 10 | 84 | 416 | 1.077 | 129 |
| 25 | SP-595 | - | 1.393 | 121 | 37 | 241 | 186 | 235 | 2.21 3 | 4.810 | 324 |
| 26 | SP-595 | - | 1.811 | 148 | 63 | 181 | 155 | 114 | 2.47 | 4.118 | 186 |



A Figura a seguir ilustra os volumes em cada posto e a representatividade de cada classe agregada de veículo na composição do tráfego.

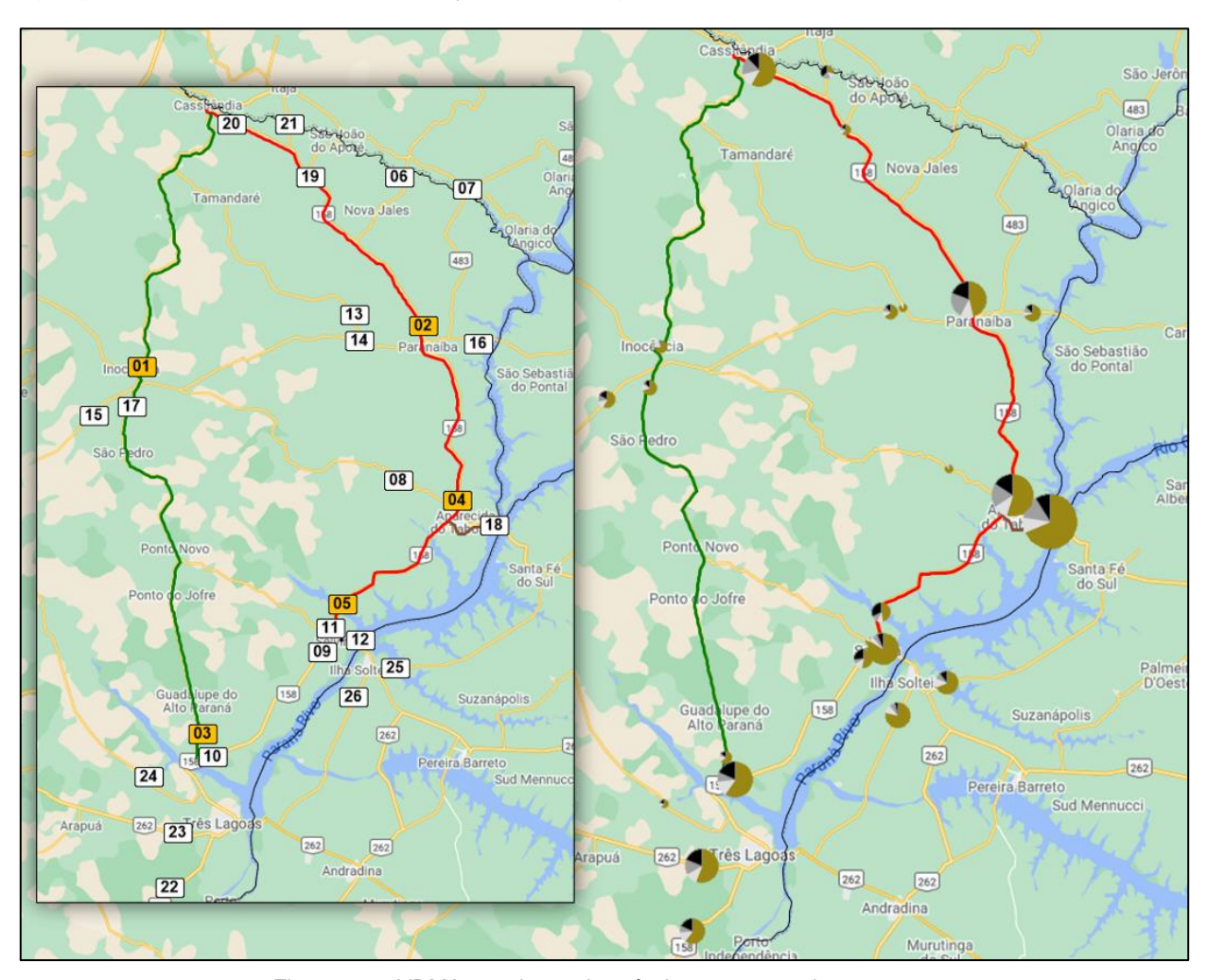


Figura 2-2 - VDMA por classe de veículo nos postos de contagem

2.2. Localização das potenciais praças de pedágio

Considerando os volumes das contagens da pesquisa CVC e pela dinâmica do tráfego na região, foram avaliados locais de possível implantação das praças de pedágio na BR-158/MS, BR-436/MS e na MS-112. As localizações sugeridas das praças foram propostas no intuito de balizar as análises iniciais de capex e opex, já considerando uma avaliação inicial de rotas de fuga, via Google, conforme mostrado na Tabela 2-7 e Figura 2-3.



Tabela 2-7 - Localização sugerida das praças de pedágio

| Praça | Rodovia | Local | Latitude | Longitude | CVC | km da |
|-------|---------|---------|-----------------|----------------|----------|--------|
| PP1 | BR-158 | 77+000 | 19°32'30.44" S | 51°15'37.89" O | Posto 2 | km 88 |
| PP2 | BR-158 | 117+000 | 19°50'54.19"S | 51° 7'1.22"O | Posto 4 | km 141 |
| PP3 | MS-112 | 190+600 | 19° 12'01,72" S | 51°44'20.41"O | Posto 1 | km 122 |
| PP4 | BR-158 | 173+600 | 20° 13'06,73" S | 51°19'28.67"O | Posto 5 | km 187 |
| PP5 | MS-112 | 68+000 | 20° 03'09.54" S | 51°50'49.35"O | Posto 3 | km 5 |
| PP6 | BR-436 | 14+000 | 20° 5'47.19" S | 51° 1'37.50"O | Posto 18 | km 4 |

A fim de quantificar de forma mais objetiva o tráfego dos locais de praça adotaram-se os VDMAs das pesquisas CVCs mais próximas, conforme a correspondência exposta na tabela anterior.



Figura 2-3 - Localização sugerida das praças de pedágio

Neste sentido, constatou-se que as potenciais praças PP1, PP2 e PP6 apresentaram os maiores volumes, tanto em VDMA quanto em eixo, conforme apresentado no Gráfico a seguir.



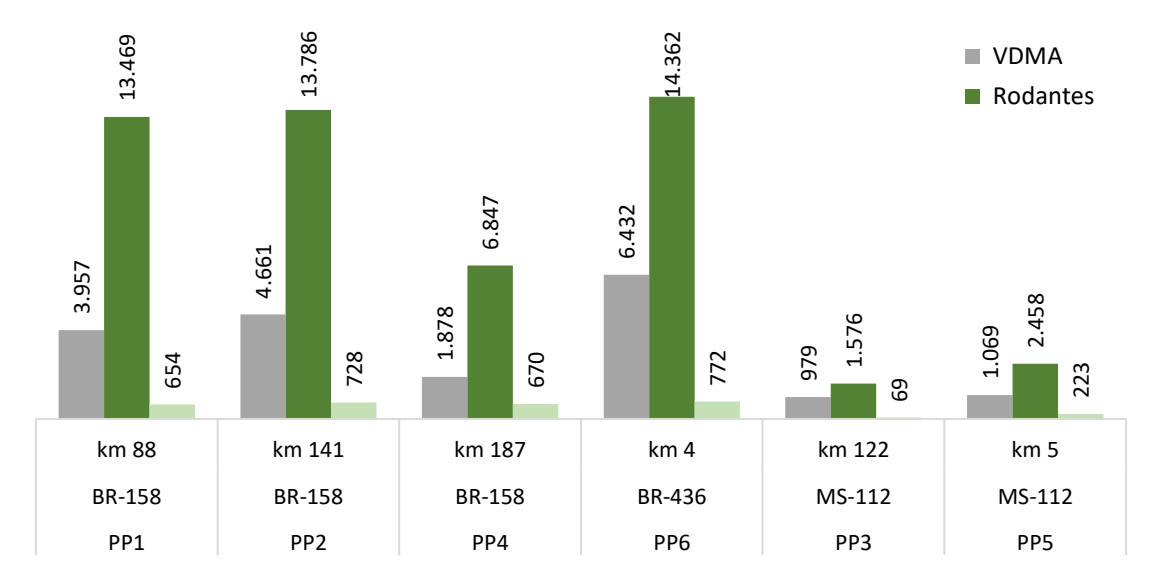


Gráfico 2-3 - Resumo do tráfego potencial em cada praça

A Tabela a seguir, por fim, apresenta um resumo do tráfego potencial a ser pedagiado, incluindo as seis praças de pedágio propostas para o trecho a ser concedido.

Tabela 2-8 - Resumo do tráfego potencial a ser pedagiado (total)

| Tráfego a ser pedagiado (Total) | | | |
|---------------------------------|--------|--|--|
| VDMA | 18.975 | | |
| Eixos Totais | 55.615 | | |
| Eixos Suspensos | 3.117 | | |
| Eixos Rodantes | 52.498 | | |

2.3. Pesquisas de origem-destino

As Pesquisas de Origem-Destino (OD) de veículos visam identificar a distribuição espacial dos fluxos de tráfego rodoviário na região em estudo, bem como caracterizar o perfil de seus usuários.

2.3.1. Realização das pesquisas

As entrevistas foram realizadas de forma manual, com informações registradas em um programa específico para o armazenamento de dados, coletados através de tablets. A realização das pesquisas ocorreu conforme a disponibilidade de apoio das polícias (PMRE e PRF), entre os dias 16/06 e 05/07/2021, das 6 às 18h, em cinco postos de quatro diferentes rodovias como na Figura a seguir.



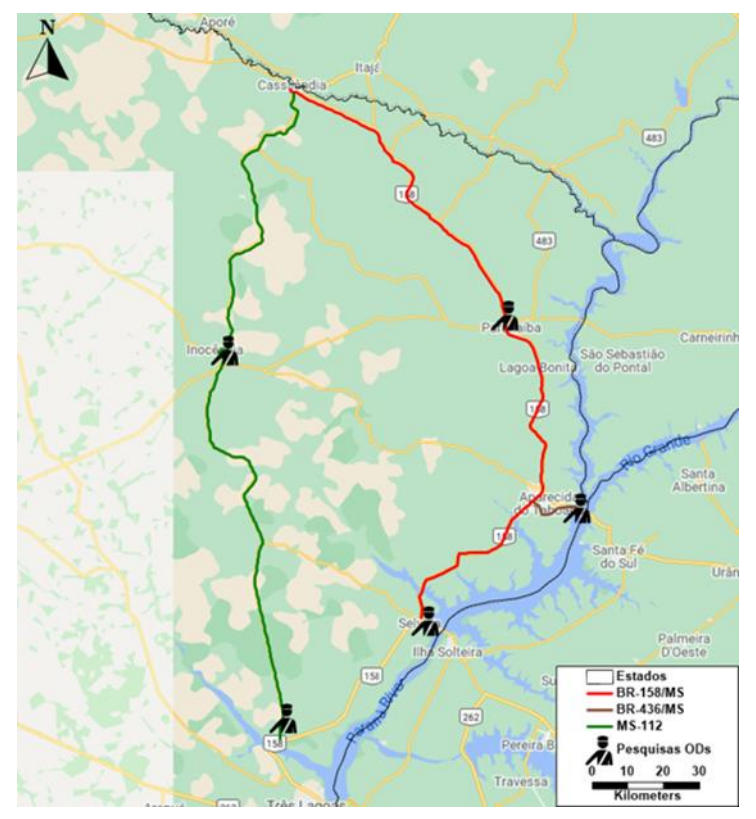


Figura 2-4 - Localização das pesquisas OD

A fim de que a informação obtida seja representativa das viagens realizadas em cada um dos pontos de coleta, a determinação do tamanho da amostra seguiu procedimentos estatísticos usuais em estudos de tráfego. A Tabela a seguir apresenta a amostra obtida durante os três dias de pesquisa, por posto e categoria de veículos. Destaca-se que nos postos 4 e 5 (BR-436/MS e MS-444) as pesquisas foram realizadas apenas com caminhões parados no posto fiscal, uma vez que não houve apoio da polícia para parar os automóveis.

Tabela 2-9 - Quantidade de veículos entrevistados na Pesquisa OD

| Po | osto | Rodovia | Referência | Automóvei s | Caminhões Leves | Caminhões Pesados | Caminhões Superpesados | Total |
|----|-------|----------|---------------------------|----------------|--------------------|----------------------|---------------------------|-------|
| | 01 | MS-112 | km 68 | 718 | 150 | 130 | 226 | 1.224 |
| | 02 | 1013-112 | km 139 | 519 | 101 | 63 | 37 | 720 |
| | 03 | BR-158 | PRF Paranaíba | 1.000 | 115 | 295 | 172 | 1.582 |
| | 04 | BR-436* | Posto Fiscal Itamarati | 0 | 117 | 415 | 558 | 1.090 |
| | 05 | MS-444* | Posto Fiscal Selvíria | 0 | 102 | 331 | 362 | 795 |
| | Total | | 2.237 | 585 | 1.234 | 1.355 | 5.411 | |

^{*}Pesquisas realizadas apenas com caminhões

Do total de veículos entrevistados (5.411) observa-se que o local do Posto 03 (BR-158/MS) teve a maior participação total. A Tabela a seguir apresenta o nível de confiança atingido para cada posto e categoria.



Tabela 2-10 - Nível de confiança atingido com a amostra de pesquisas OD

| Posto | Automóveis | Caminhões Leves | Caminhões Pesados | Caminhões Superpesados |
|-------|------------|--------------------|----------------------|---------------------------|
| 01 | 95% | 95% | 95% | 95% |
| 02 | 95% | 95% | 95% | 95% |
| 03 | 95% | 90% | 95% | 90% |
| 04 | - | 90% | 95% | 95% |
| 05 | - | 95% | 95% | 95% |

Percebe-se que a pesquisa foi representativa em todos os postos, os quais atingiram bons níveis de confiança para todas as categorias, contudo os Postos 04 e 05 não apresentaram amostras de automóveis, conforme explicado anteriormente. Dessa forma, a fim de dar confiança à etapa de montagem do modelo de simulação, esse problema foi minimizado com a complementação da matriz com outros postos de pesquisa da região que constam na base de dados do Consórcio.

Além dos dados de origem e destino das viagens, foram levantadas outras informações importantes para a caracterização dos usuários que utilizam a rodovia, quais sejam: motivo da viagem, frequência, motivo de escolha da rota, renda familiar, tipos de carga transportada etc. Os principais resultados das entrevistas são expostos a seguir.

2.3.2. Principais resultados das pesquisas

Como cada posto pesquisado contém apenas uma amostra dos usuários da via, foi realizada a expansão das pesquisas para que elas representassem o universo pesquisado. Após aplicação dos fatores de expansão, foram feitas análises considerando o conjunto das quatro rodovias onde as pesquisas OD foram realizadas.

A primeira análise permitiu verificar a renda familiar dos usuários que utilizam as rodovias da região de estudo. Sendo assim, observa-se, através do Gráfico a seguir, que mais da metade desses usuários possuem renda na faixa de R\$ 1.000,00 a R\$ 3.000,00 e apenas 3% deles possuem renda superior a R\$ 6.000,00.

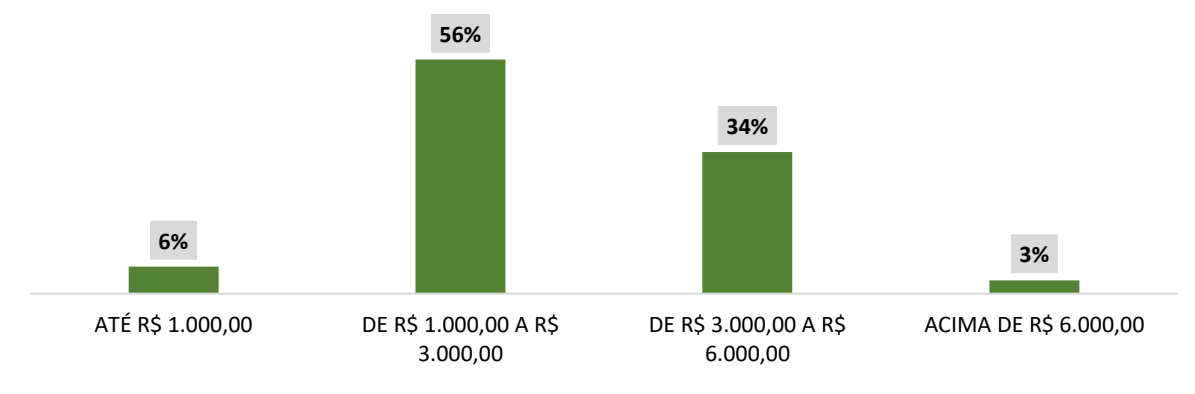


Gráfico 2-4 - Renda familiar dos usuários (motoristas de veículos)



Identificaram-se, também, os principais municípios, em eixos, responsáveis pela geração de viagens na região em estudo. O Gráfico 2-5 e a Figura 2-5 apresentam os resultados. Destacam-se os municípios de São Paulo/SP, Três Lagoas/MS e Paranaíba/MS.

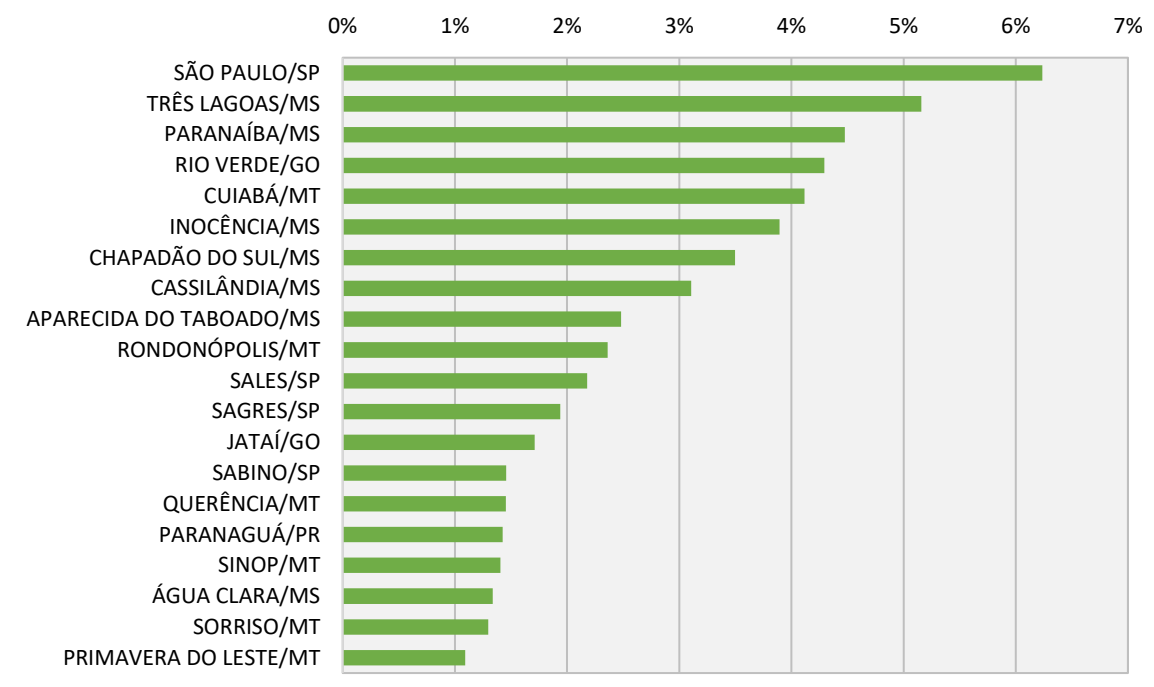


Gráfico 2-5 - Principais municípios na geração de viagens (em eixos)

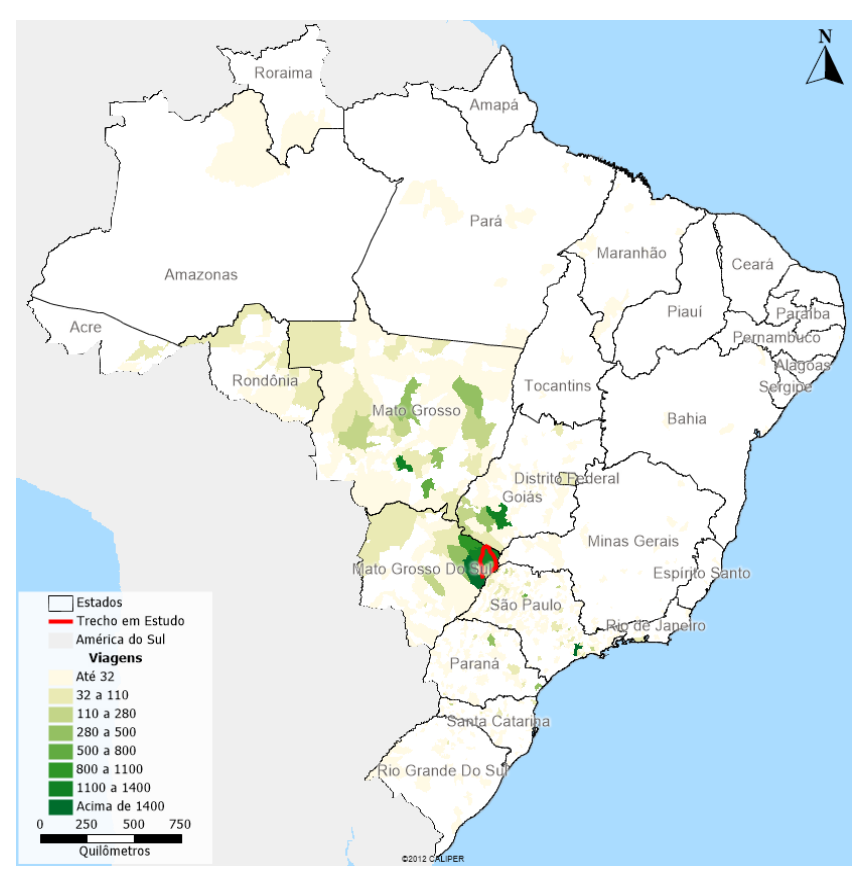


Figura 2-5 - Principais municípios na geração de viagens (em eixos)



Em seguida analisaram-se, para o conjunto de rodovias, os principais pares de viagem por tipo de veículo. Os gráficos a seguir apresentam os resultados dessa análise.

Para os automóveis observa-se maior participação das rodovias nas viagens entre municípios limítrofes dentro do Mato Grosso do Sul, ou seja, de curta distância.

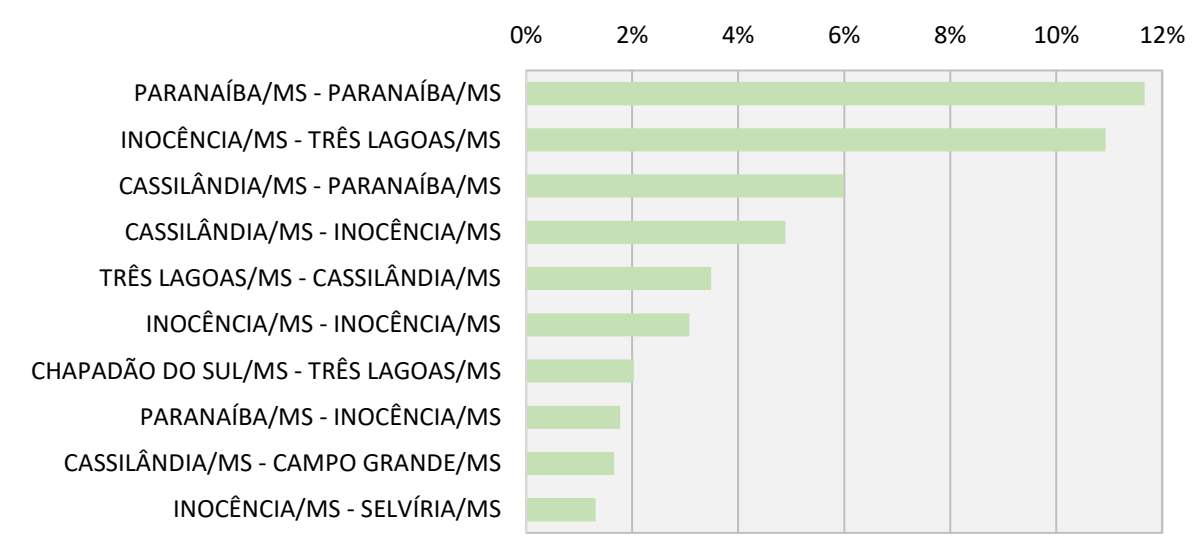


Gráfico 2-6 - Principais pares de viagem (automóveis)

Em relação aos caminhões leves observam-se viagens interestaduais representativas, especialmente entre São Paulo e Mato Grosso do Sul, contudo as viagens de curta distância também se mostram representativas para esses veículos.

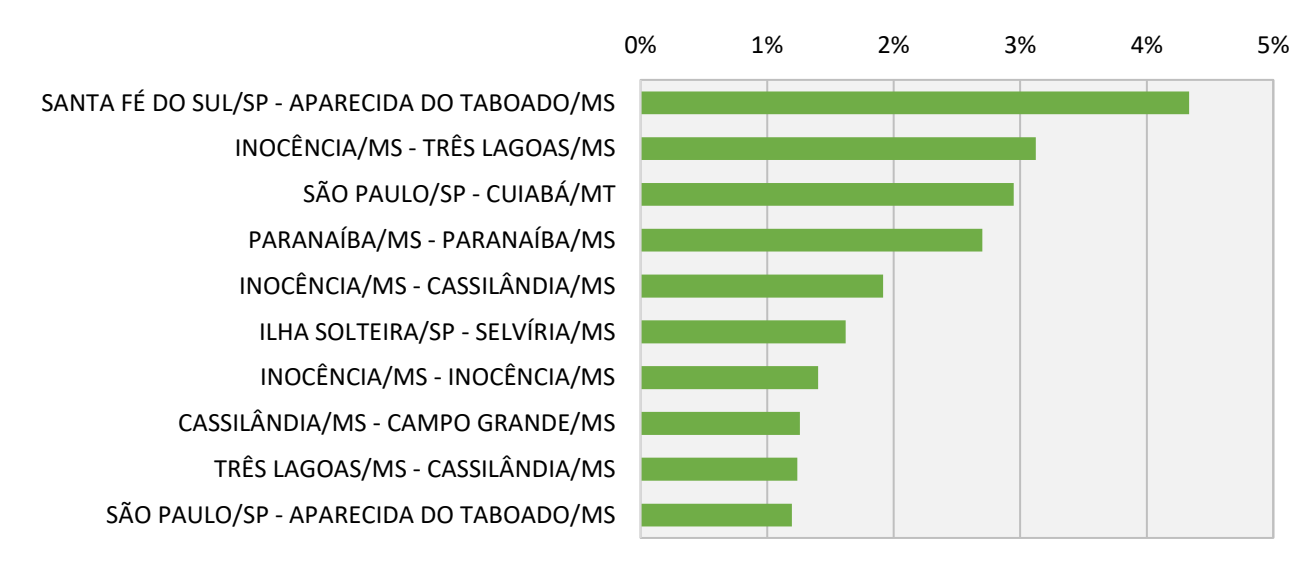


Gráfico 2-7 - Principais pares de viagem (caminhões leves)

Em se tratando dos caminhões pesados percebe-se a predominância do par São Paulo/SP – Cuiabá/MT e, também, maior participação das viagens interestaduais de longa distância.



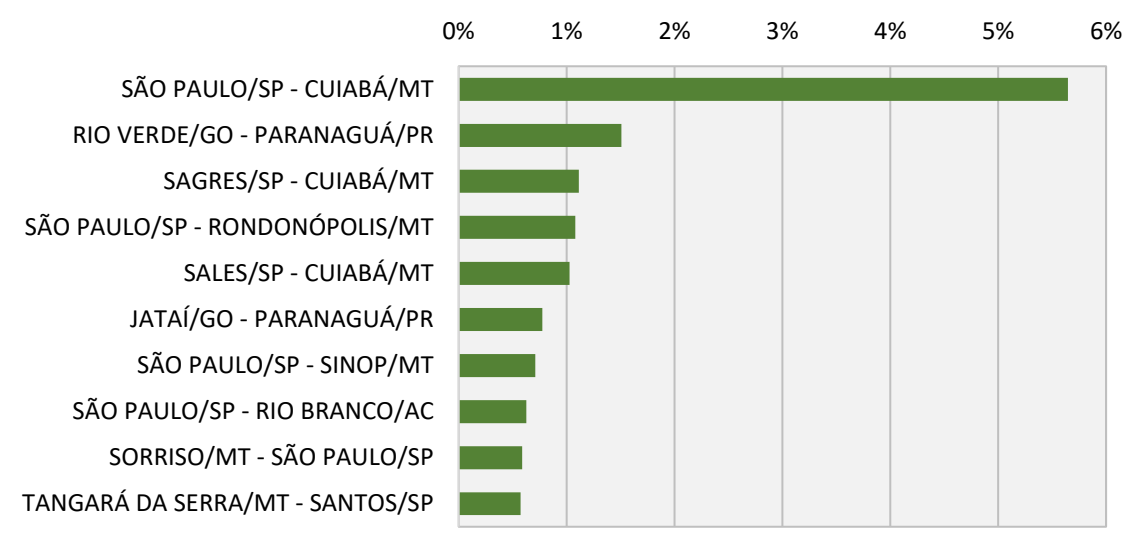


Gráfico 2-8 - Principais pares de viagem (caminhões pesados)

Quanto aos caminhões superpesados observou-se que o par de maior destaque envolve dois municípios limítrofes do MS (Três Lagoas e Água Clara), enquanto o restante dos pares, em sua maioria, representa viagens interestaduais de longa distância.

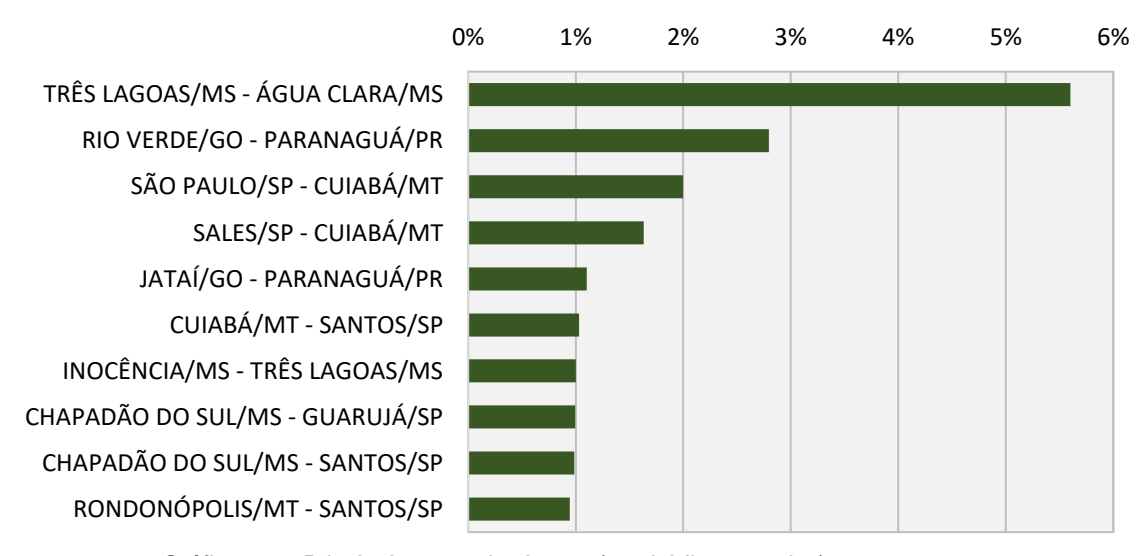


Gráfico 2-9 - Principais pares de viagem (caminhões pesados)

Os motivos que levam à escolha das rotas que atravessam o trecho em estudo variam, sendo os principais aqueles referentes ao fato de ser a única rota disponível ou ser a mais rápida, conforme apresentado no Gráfico a seguir.



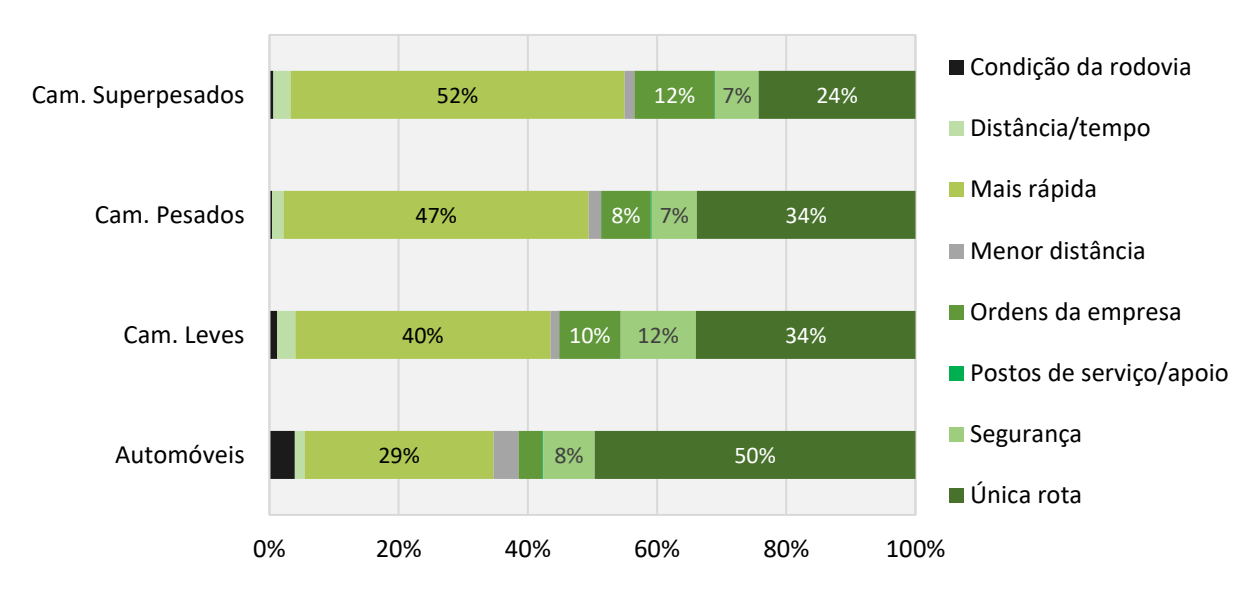


Gráfico 2-10 - Motivo de escolha de rota das rodovias

O motivo de viagem dos automóveis também foi levantado e constatou-se que mais de 70% dos motoristas utilizam as rodovias em análise para fins de trabalho, conforme exposto no Gráfico a seguir.

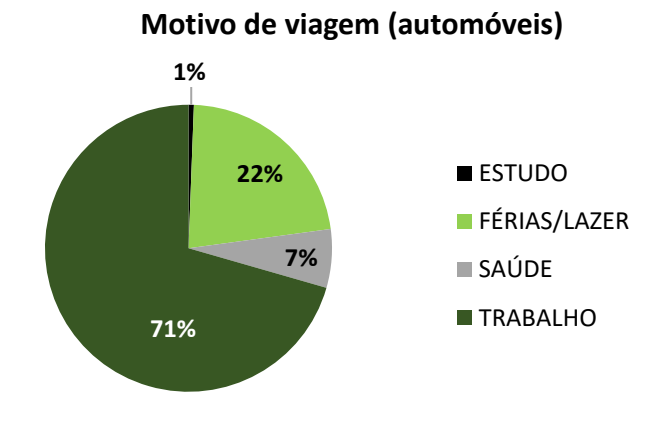


Gráfico 2-11 - Motivo de viagem dos automóveis

Em relação ao carregamento dos caminhões observou-se que as rodovias apresentaram elevada participação de veículos carregados. Dentre as dez principais cargas transportadas pelos caminhões, o adubo é a principal, contudo, as cargas agrícolas (milho, farelo e soja) também são representativas e juntas chegam a somar mais de 15% do total transportado nas rodovias.



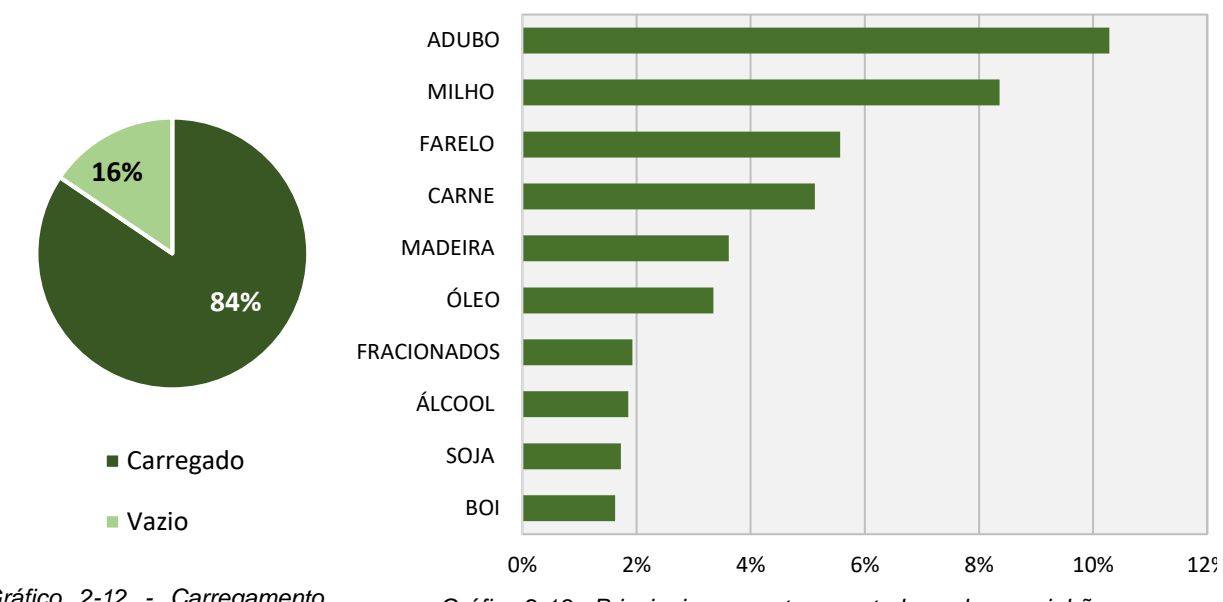


Gráfico 2-12 - Carregamento dos caminhões

Gráfico 2-13 - Principais cargas transportadas pelos caminhões

Por fim, a frequência de viagens foi analisada em seis diferentes categorias e observouse que aquelas de frequência mensal são predominantes para qualquer tipo de veículo no conjunto das rodovias em estudo.

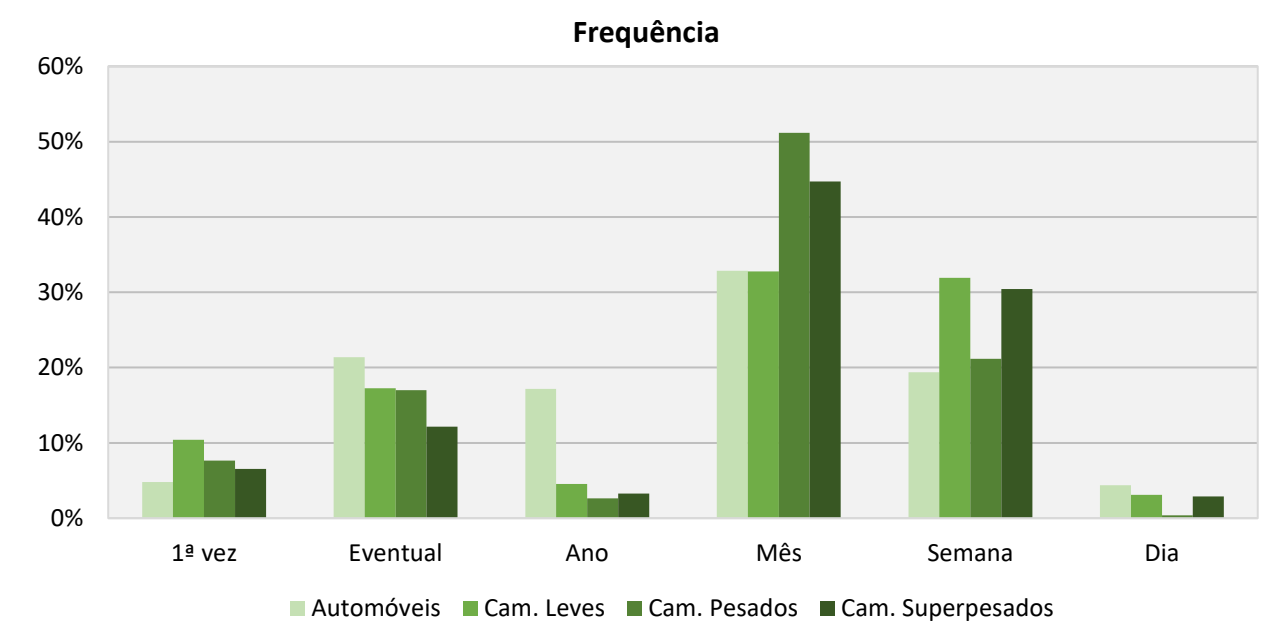


Gráfico 2-14 - Frequência das viagens

2.3.3. Linhas de Desejo

De posse das informações das contagens e pesquisas OD, foram consolidadas matrizes representativas que permitiram identificar a participação dos munícipios na geração de tráfego e representar as linhas de desejo dos principais pares OD das rodovias de



interesse. Sendo assim, as linhas de desejo de viagens das rodovias em estudo estão ilustradas na Figura 2-6 para os automóveis e na Figura 2-7 para os caminhões. Cabe destacar que as linhas de desejo em questão representam pares acima de cinco viagens.

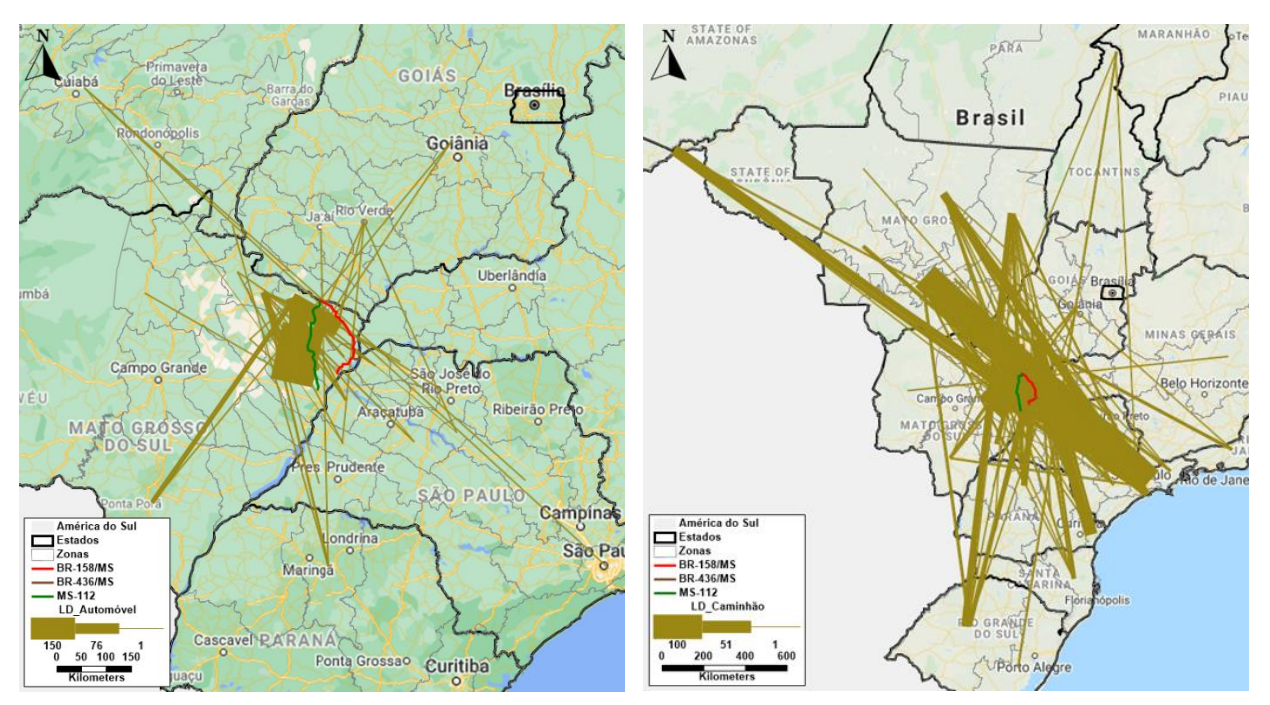


Figura 2-6 - Linhas de desejo dos automóveis

Figura 2-7: Linhas de desejo dos caminhões

Pelas linhas de desejo observa-se significativa presença de viagens de longa distância para os caminhões, envolvendo pares OD como, por exemplo, Cuiabá/MT – São Paulo/SP e Sinop/MT – Paranaguá/PR. Já para os automóveis, as viagens são majoritariamente de curta distância e os principais pares OD limitam-se aos fluxos de veículos entre as cidades da região nordeste do Mato Grosso do Sul como, por exemplo, Inocência/MS – Cassilândia/MS, Cassilândia/MS – Três Lagoas/MS e Chapadão do Sul/MS – Três Lagoas/MS.

2.3.4. Pesquisa de Preferência Declarada

As pesquisas de preferência declaradas (PD) são utilizadas frequentemente no planejamento de transportes para prever o impacto na demanda de viagens das políticas públicas como, por exemplo, a introdução de um novo modo, a mudança nas tarifas de transporte público ou a implantação de sistemas de cobrança viária.

Elas são responsáveis por fornecer os subsídios para calibração do modelo de simulação em que se leva em conta o preço do pedágio que o usuário da via está disposto a pagar, considerando o tempo que o condutor está disposto a viajar em rota alternativa, para se desviar da cobrança do pedágio, levando em consideração a qualidade do pavimento e as características da via (pista simples ou dupla) tanto da rota de desvio quanto da via pedagiada.



Nos meses de junho e julho de 2021 foram realizadas pesquisas de preferência declarada nos 5 postos ao longo do sistema rodoviário em estudo onde, também, foram realizadas as entrevistas de OD. Os locais de pesquisa e a amostra de veículos que responderam são apresentados na Tabela a seguir.

Posto km Referência Data **Automóvel** Caminhão 23/06 a 29/06/2021 505 P01 km 68 718 MS-112 **P02** km 139 16/06 a 22/06/2021 519 201 **P03** BR-158 PRF Paranaíba 30/06 a 05/07/2021 411 90 BR-16/06 a 22/06/2021 716 P04 Posto Fiscal Itamarati 436* MS-21/06 a 28/06/2021 671 P05 Posto Fiscal Selvíria 444* 1.648 2.183

Tabela 2-11 - Quantidade de veículos que responderam à PD

Em relação a aplicação da Pesquisa de PD, inicialmente foi aplicado um formulário de OD para identificação do usuário e, em seguida, para cada usuário, foram mostrados cenários (cartões) elaborados utilizando a variação dos seguintes atributos:

- ✓ Tarifa de pedágio: 3 níveis (R\$ 3,00 / R\$ 6,00 / R\$ 12,00);
- ✓ Acréscimo de tempo pela rota alternativa: 3 níveis (15 min / 30 min / 45 min);
- ✓ Tipo de pavimento da rota alternativa: 2 hipóteses (terra / asfalto em condição irregular);
- ✓ Tipo de rodovia pedagiada: 2 hipóteses (pista simples / pista dupla).

Os cartões não especificavam a distância ou o tempo total de viagem, mas sim acréscimos de tempo que permitem avaliar a sensibilidade do motorista à cobrança de pedágio, para diferentes condições de segurança/conforto da rodovia pedagiada e da rota alternativa (fuga), em rodovias com tarifa quilométrica variando entre R\$ 0,08/km a R\$ 0,20/km (considerando TCPs de aproximadamente 70 km por praça).

Dessa forma, mantendo-se os atributos propostos e suas variações, o desenho ortogonal completo do experimento produziu um total de 36 cartões, que foram divididos em 6 cadernos (de 6 cartões cada) a fim de evitar a apresentação de um exagerado número de hipóteses para um único entrevistado. A adoção do desenho ortogonal completo é uma garantia para avaliação dos níveis de todos os atributos durante a pesquisa.

Valor do tempo (SVTTS)

O SVTTS (do inglês subjective value of travel time saving), comumente chamado de "valor do tempo", é um parâmetro subjetivo, uma vez que varia de acordo com a região

^{*}Pesquisas realizadas apenas com caminhões



da rodovia em estudo, a renda do usuário, o motivo da viagem, o tempo de deslocamento total, entre outros.

Para defini-lo parte-se de valores de referência calculados a partir de pesquisas de preferência declarada ou revelada realizadas com motoristas na rodovia em estudo, ajustados durante a fase de calibração do modelo de tráfego para uma adequada representação das escolhas de rotas (conforme observado na realidade) pelos diferentes tipos de veículos nas diversas viagens (pares origem-destino).

Para o presente estudo, os valores do tempo utilizados em cada categoria de veículo foram calculados a partir do Método de Variação Custo/Variação Tempo. Dessa forma, foram aplicados procedimentos para tratamento do banco de dados das Pesquisas de PD, para posterior aplicação do método.

A Tabela a seguir apresenta o resultado do Método utilizado, para os automóveis, segregados por renda do usuário.

Tabela 2-12 - Resultado do Método de Variação Custo/Variação Tempo para automóveis

| Automóvel | DC/DT |
|----------------------------------|-------|
| Renda até R\$ 3 mil | 10,09 |
| Renda de R\$ 3 mil até R\$ 6 mil | 18,43 |
| Renda acima de R\$ 6 mil | 27,41 |

Já a Tabela abaixo apresenta o resultado para os caminhões, segregados por propriedade do veículo e número de eixos.

Tabela 2-13 - Resultado do Método de Variação Custo/Variação Tempo para caminhões

| Caminhão | DC/DT |
|---------------------|-------|
| Empresa 2-3 eixos | 33,94 |
| Empresa 4-6 eixos | 52,14 |
| Empresa 7-9 eixos | 84,16 |
| Motorista 2-3 eixos | 27,06 |
| Motorista 4-6 eixos | 41,76 |
| Motorista 7-9 eixos | 53,85 |



3. Montagem do modelo de simulação

Para a simulação do comportamento dos fluxos de tráfego na região do estudo, principalmente no que diz respeito à escolha da rota por um veículo entre a origem e o destino da viagem, além de se dispor das matrizes OD, foi utilizada a rede rodoviária georreferenciada, mostrada na Figura a seguir.



Figura 3-1 - Rede rodoviária de simulação utilizada no estudo

Os procedimentos de modelagem da rede e de alocação do tráfego foram suportados pelo software TransCAD, que é uma ferramenta computacional para o planejamento, gerenciamento e análise de redes e sistemas de transporte, acoplada a um Sistema de Informações Geográficas (SIG), o que lhe permite uma combinação de competências para mapeamento digital, gestão de base de dados georreferenciados e apresentação gráfica, aliada a um modelo matemático de simulação e análise da demanda por transportes.

O modelo de simulação é composto, basicamente, de 5 elementos:

- ✓ Rede digital: conjunto de milhares de links georreferenciados.
- ✓ Zoneamento do tráfego: divisão da área modelada (território brasileiro) em zonas que representam o tráfego da região que, posteriormente, passam a ser representadas por um único ponto chamado centroide.



- ✓ Segmentação de classes: permite representar os diferentes comportamentos de deslocamento, que podem interferir no critério de escolha da rota para cada viagem, obtendo assim, maior sensibilidade com relação aos custos de operação dos veículos na rede de simulação.
- ✓ Custos no modelo de simulação: custo atribuído a cada link do modelo para determinação do caminho mínimo a ser percorrido entre centroides. Foi determinado pelas características de cada link e pelo VOC Vehicle Operating Costs componente do submodelo RUE Road User Effects do HDM-4.
- ✓ Elaboração da matriz de viagens: como cada posto pesquisado contém apenas uma amostra dos usuários da via, foi realizada a expansão das pesquisas para que elas representassem o universo pesquisado. Também, foi realizada uma análise para a eliminação de contagens duplas, uma vez que um veículo pesquisado pode passar por mais de um posto OD.

3.1. Rede georreferenciada

A rede digital de simulação viária é composta por um conjunto de informações georreferenciadas no software TransCAD. Trata-se de dados de relevo, velocidade, sinuosidade, capacidade, condição do pavimento, tipo de pista (dupla, simples), tipo de pavimento (asfaltado, não pavimentado), rotas de fuga etc. Todas essas informações da rede são divididas em links, que são agrupamentos de segmentos viários homogêneos quanto às características físicas e operacionais.

Destaca-se que a rede digital utilizada representa não somente as malhas viárias principais, mas também as vicinais, muitas vezes sem pavimentação e conhecidas apenas pelo usuário local, de forma a tornar as simulações de impactos de cenários futuros mais próximas da realidade. A caracterização da rede partiu de informações, de posse do Consórcio, relativas à infraestrutura viária da região que foram devidamente conferidas e atualizadas.

Na rede constam parâmetros como capacidade, velocidade, presença de travessia urbana, além de uma série de informações quanto às características das vias, das quais destacam-se os aspectos seguintes.

Relevo, caracterizado por uma combinação das características do alinhamento horizontal e vertical da rodovia, obtido através do cadastro viário com o auxílio do GPS. É classificado de 1 a 7, sendo o relevo 1 completamente plano e retilíneo, e o relevo 7 severamente ondulado e sinuoso.



- ✓ Condição do pavimento, estratificada qualitativamente em bom (BOM), regular (REG), mau (MAU), péssimo (PES) e terminal (TER) em função do IRI¹.
- ✓ Tipo de pista, classificado como rodovia de pista dupla (DUP), rodovia de pista simples (SIM) rodovia de pista simples com terceira faixa (WID) ou ainda estradas não pavimentadas com apenas uma faixa (UNI).
- ✓ Tipo de revestimento, que pode consistir em asfalto (ASF), concreto (CON), não pavimentada com tratamento de sub-base e/ou base (IMP) ou estrada em leito natural (LEN).

As figuras a seguir ilustram as características atuais da rede, verificadas para as vias da região de estudo, no que se refere ao tipo de pista, pavimento, revestimento e velocidade de fluxo livre.

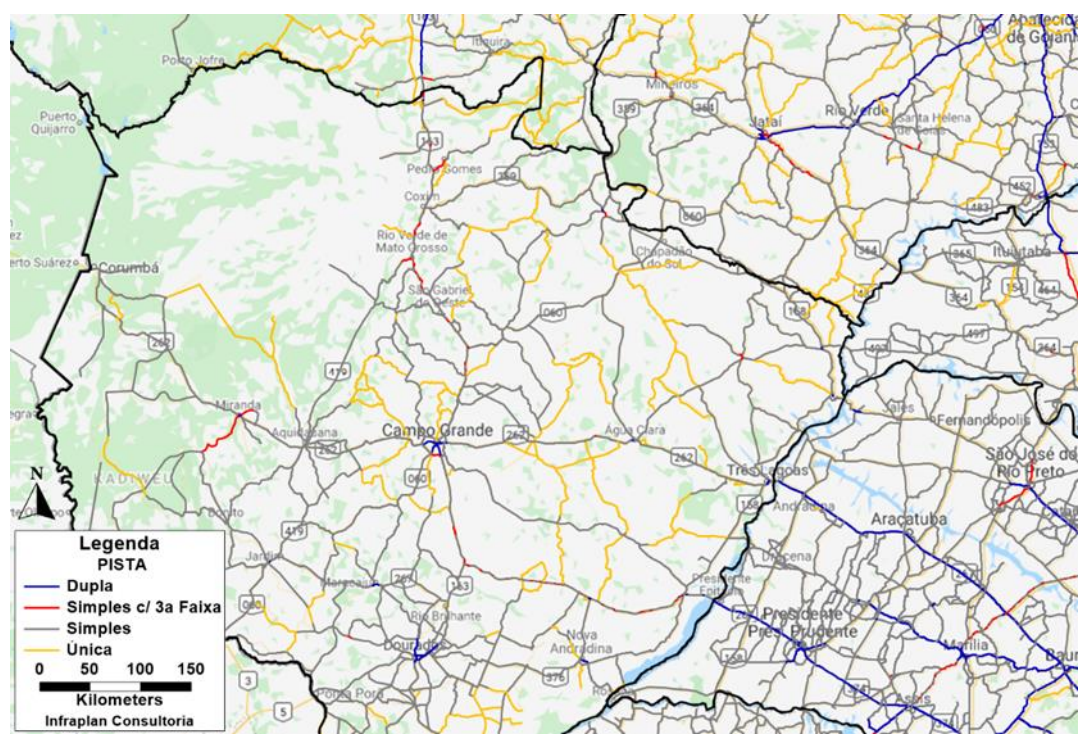


Figura 3-2 - Tipo de pista da rede rodoviária utilizada no estudo

¹ IRI: *International Roughness Index* - medido pelo movimento de uma suspensão de eixo padrão ao longo de um trecho viário, em m/km.



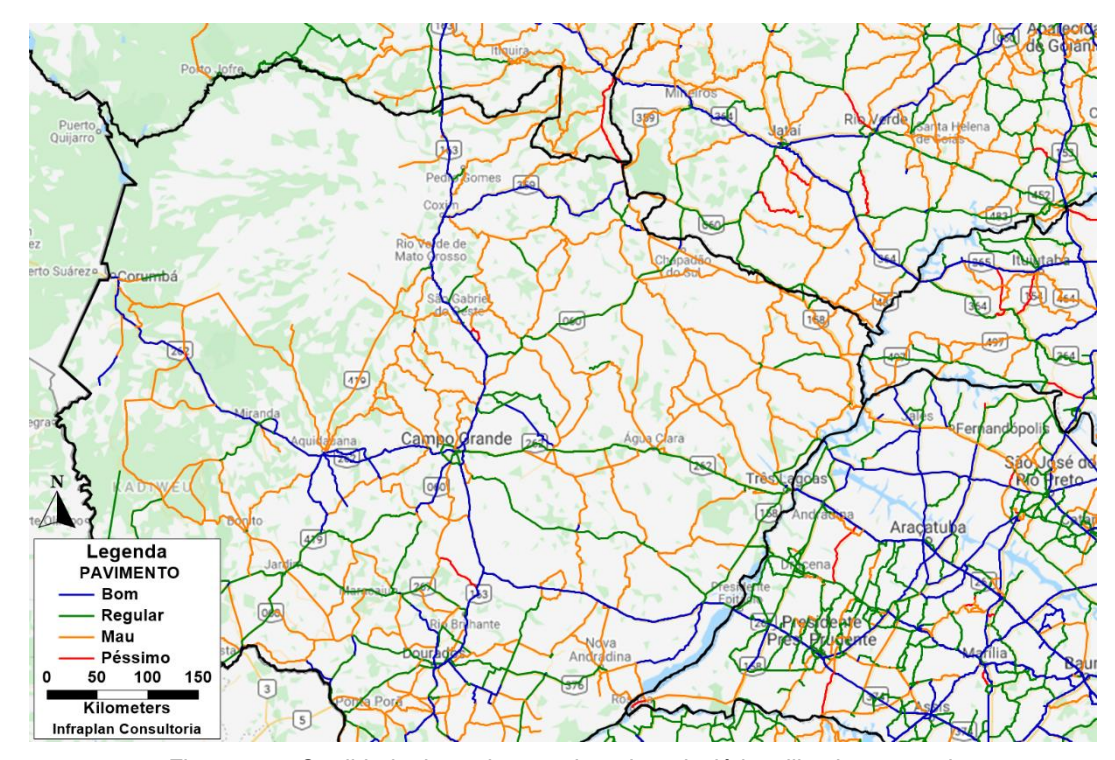


Figura 3-3 - Qualidade do pavimento da rede rodoviária utilizada no estudo

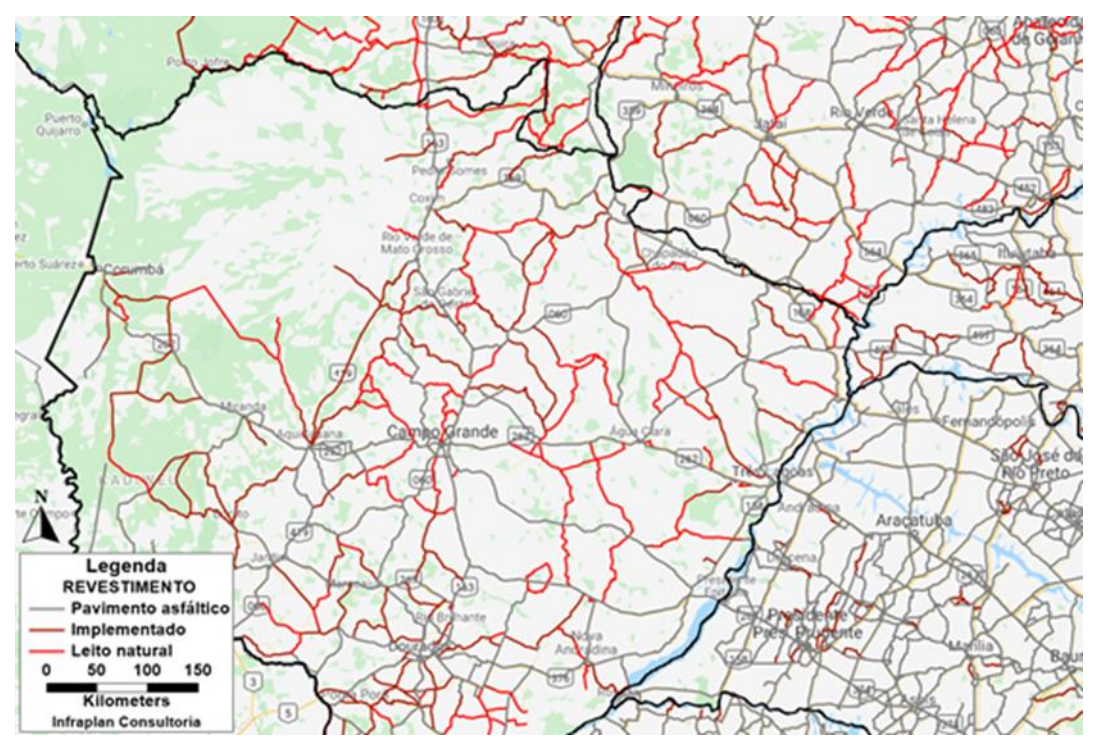


Figura 3-4 - Tipo de revestimento da rede rodoviária utilizada no estudo



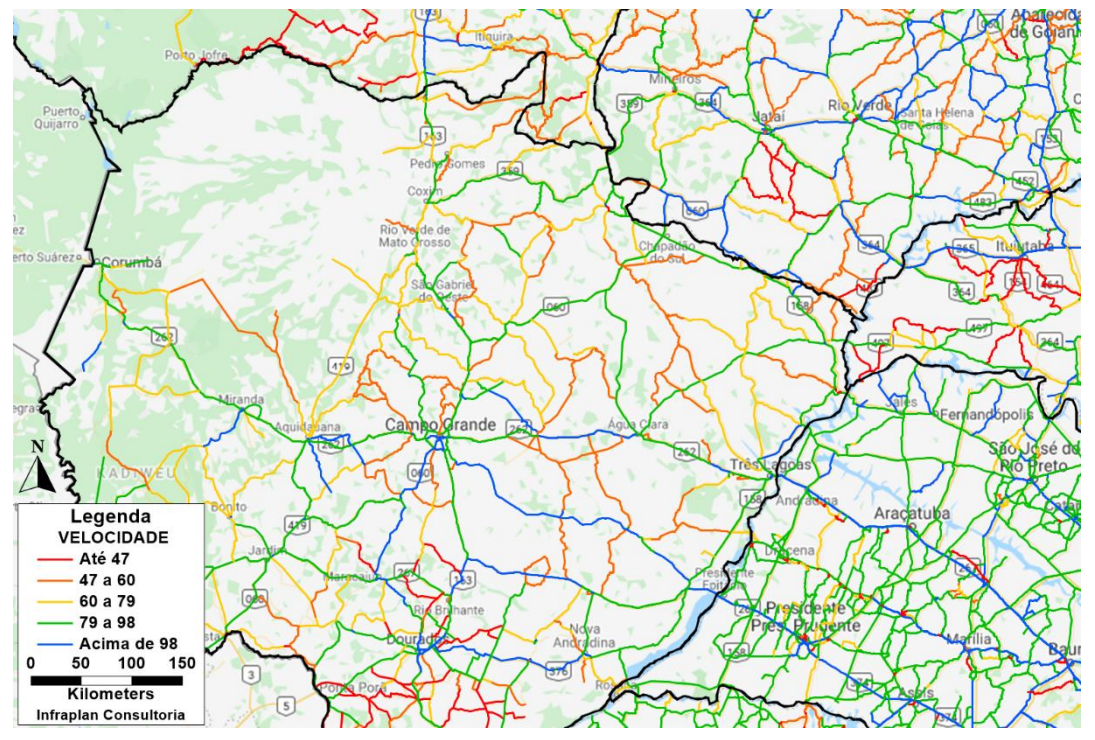


Figura 3-5 - Velocidade de fluxo livre da rede rodoviária utilizada no estudo

3.2. Zoneamento

Para a análise da distribuição espacial, bem como outras características espaciais e operacionais dos fluxos de tráfego que utilizam a rodovia em estudo, considerou-se como sua área de influência ampliada todo o território nacional. Este foi dividido em 113 zonas de tráfego definidas conforme descrito a seguir.

Nas áreas mais próximas ao sistema em estudo, para uma adequada apreensão das características dos fluxos, o zoneamento foi feito de forma mais detalhada. Por outro lado, as regiões mais distanciadas, que têm menor influência na formação e configuração espacial dos fluxos, tiveram um zoneamento mais simplificado, agregando duas ou mais mesorregiões geográficas do IBGE ou mesmo, no limite, mais de uma unidade da federação em uma mesma zona de tráfego (ZT).

Nos estados de Goiás, Mato Grosso, Mato Grosso do Sul, Minas Gerais e São Paulo, o zoneamento no entorno do trecho em estudo foi feito em nível mais detalhado e conforme os municípios se distanciavam das rodovias de interesse, eles foram agrupados em zonas maiores, exceto os municípios que se mostraram importantes para o tráfego da rodovia, de acordo com a pesquisa O/D.



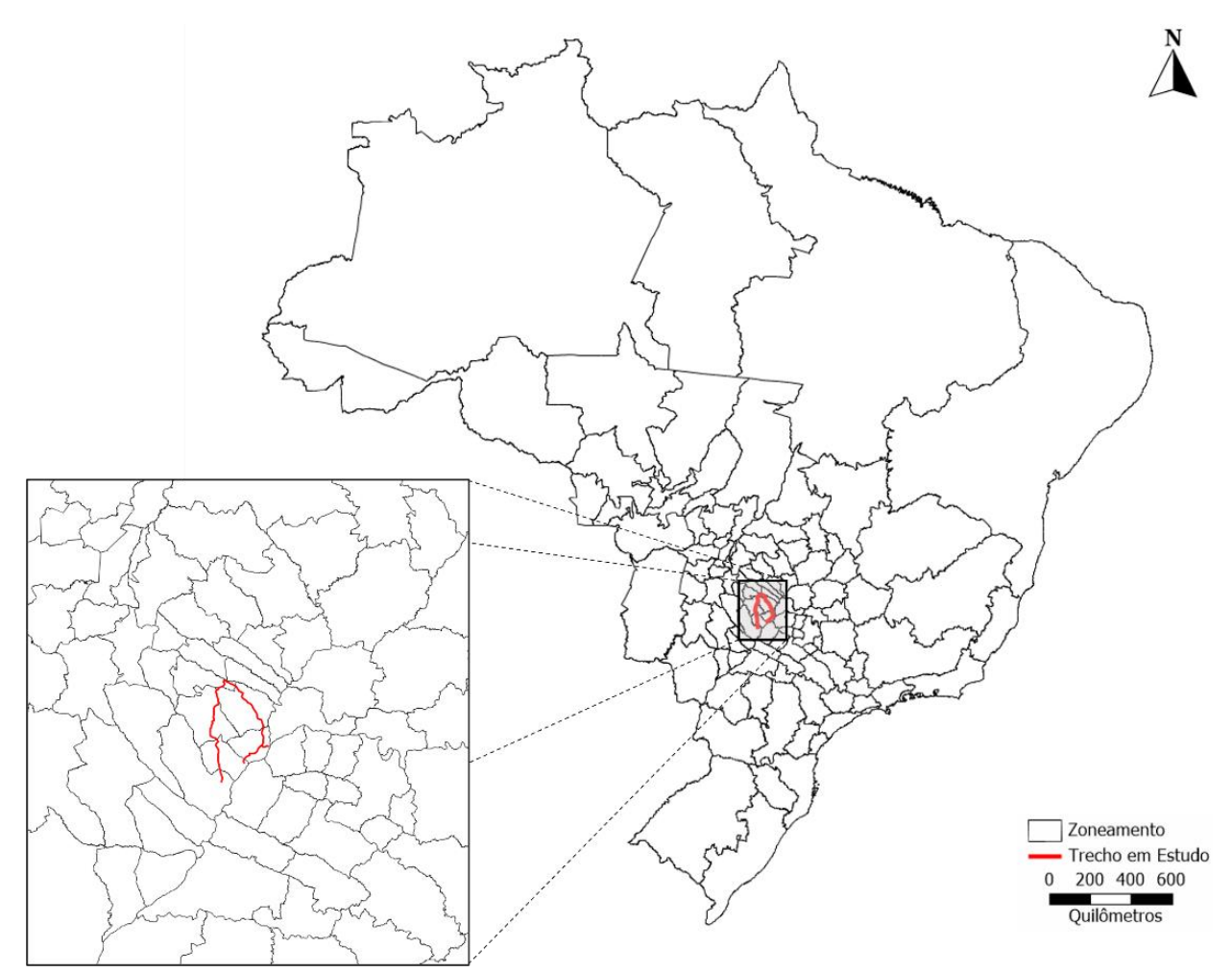


Figura 3-6 - Zoneamento do tráfego Brasil

Cabe ressaltar que, no modelo de transporte utilizado, as zonas de tráfego são representadas por um ponto denominado centroide, que funciona como polo de produção e atração de viagens, utilizando-se da rede para realizar os seus deslocamentos. O centroide é posicionado no ponto de maior população da zona de tráfego, atribuindo-se a ele todos os fluxos com origem ou destino em seus limites.

3.3. Custos no modelo de simulação

Para a alocação do tráfego no modelo de simulação é necessária a definição dos caminhos mínimos incorridos pelas diversas classes de veículos ao se deslocarem entre dois centroides (pares OD). Para tanto, cada *link* do modelo de simulação, representativo dos diferentes segmentos da rede viária, é caracterizado por uma combinação ponderada de diferentes atributos que resulta em custos de deslocamento. Assim, o caminho mínimo é determinado através da minimização do "custo generalizado" entre a origem e o destino.



A determinação dos custos, tanto para a situação atual quanto para cenários hipotéticos futuros, dá-se a partir da elaboração de diferentes combinações de dados no *software Highway Development and Management* (em sua versão 4) HDM-4.

Com o suporte da VOC - Vehicle Operating Costs, componente do submodelo RUE - Road User Effects do HDM-4, e tendo disponíveis as características de pista, o perfil geométrico e as condições do pavimento levantadas para cada segmento da rodovia, foram possíveis calcular os tempos de viagem e os custos operacionais correspondentes às diferentes categorias de veículos (automóveis e caminhões) para cada um dos links da rede viária analisada.

Para o cálculo dos custos generalizados percebidos, por classe de veículo ao percorrer um determinado *link* da rede viária, utiliza-se a seguinte função matemática:

$$CG_v = (T_v. CT_{vrp}) + (D_{rp}. CD_{vrp}) + CP_v$$

Sendo:

 CG_V = custo generalizado do veículo V;

 T_{ν} = tempo de percurso do trecho pelo veículo ν ,

 CT_{vrp} = parâmetro do custo operacional por unidade de tempo, para o veículo v percorrer um *link* da categoria rp (r = tipo de relevo e p = condição do pavimento);

 D_{rp} = extensão do *link* da categoria rp;

 $^{CD_{vrp}}$ = parâmetro do custo operacional por unidade de distância, para o veículo v percorrer o *link* da categoria rp;

 CP_{ν} = custo de pedágio do *link*, podendo ser "zero", na ausência de pedágio, ou o valor da tarifa caso exista um posto de pedágio no *link*.

O parâmetro CD_{vrp} corresponde aos custos variáveis (combustível, lubrificantes, manutenção, rodagem etc.), que estão relacionados à distância percorrida, às características do relevo e à condição do pavimento do *link*.

Já o parâmetro CT_{vrp} relaciona-se à percepção do valor do tempo de viagem, para os veículos de passeio. Para os veículos de carga, esse parâmetro inclui os custos fixos unitários por unidade de tempo (capital, depreciação, salário da tripulação etc.). Neste caso, quanto maior o tempo gasto em cada viagem, menor a produtividade do transportador.



3.4. Segmentação de classes

Os modelos de transporte buscam prever as viagens futuras com base em padrões comportamentais atuais de seus usuários. A partir das informações levantadas nas pesquisas de origem e destino, como o valor da renda mensal e o número de eixos, no caso dos caminhões, é possível segmentar os usuários componentes da matriz de viagens. Essa segmentação permite representar os diferentes comportamentos de deslocamento, que podem interferir no critério de escolha da rota para cada viagem, obtendo assim, maior sensibilidade nos custos de operação dos veículos na rede de simulação. No presente estudo, foram consideradas nove classes de usuários, sendo três de automóveis e seis de caminhões.

Tabela 3-1 - Critérios de segmentação de automóveis

| Classe | Faixa de renda |
|--------|--------------------------------|
| Α | Maior que R\$ 6.000,00 |
| В | de R\$ 1.000,00 a R\$ 6.000,00 |
| С | Até R\$ 1.000,00 |

Quanto à classificação dos caminhões foi considerada a informação do número de eixos e propriedade, com base nas pesquisas OD, totalizando seis classes conforme mostra a Tabela a seguir.

Tabela 3-2 - Critérios de segmentação de caminhões

| Classe | Propriedade | Nº de eixos |
|---------------|-------------|--------------|
| Leves | Autônomo | 2 e 3 |
| Leves | Empresa | 2 e 3 |
| Pesados | Autônomo | 4 a 6 |
| resauos | Empresa | 4 a 0 |
| Superpesados | Autônomo | 7 ou + eixos |
| Superpesaulos | Empresa | 7 Ou + eixos |

3.5. Elaboração da matriz de viagens

A partir da expansão das entrevistas com base nas contagens de cada posto de pesquisa, foi possível elaborar a matriz de viagens por pares de origem e destino e categoria de veículo (matriz OD).

O agrupamento dos dados de diferentes postos de pesquisa exige, inicialmente, a eliminação das contagens duplas, ou seja, a captação de uma mesma viagem em dois ou mais postos de pesquisa subsequentes, conforme mostra o esquema da Figura a seguir.



Para tanto, foi desenvolvido um método no qual são levantados todos os possíveis caminhos em rede a serem percorridos para completar um par OD, usando-se um carregamento estocástico de um volume hipotético de viagens na rede montada, que indica os caminhos lógicos mais prováveis em cada caso. Em função do resultado, o fator Cont.Postos é calculado como a soma do número de postos OD atravessados por cada par OD, ponderada pelo percentual de escolha de cada rota nesse carregamento estocástico preliminar.

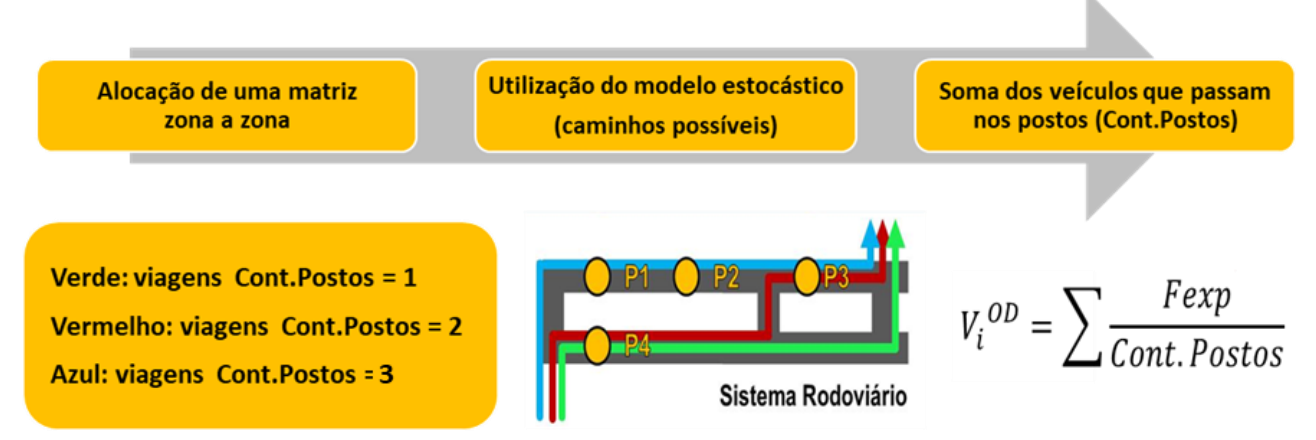


Figura 3-7 - Eliminação das contagens duplas

Em que:

- ✓ Vi^{OD} = Volume final de viagens da matriz OD, calculado a partir do somatório dos fatores de expansão corrigidos pelo fator "Cont. Postos";
- ✓ F_{exp} = Fator de expansão inicial calculado para cada par OD (VDMA/Amostra OD);
- ✓ Cont. Postos = Fator de correção para eliminação de contagens duplas.

3.6. Calibração da rede

A calibração do modelo de tráfego é um processo iterativo até se alcançar uma efetiva representação da realidade aferida em campo, de tal modo que as rotas determinadas para os diferentes pares OD correspondam de fato aos caminhos escolhidos na prática. Para isso são necessários vários testes de validação e de consistência do modelo, além de um ajuste sintético da matriz, que visa a melhor representação dos fluxos.

O processo iterativo de calibração do modelo de simulação digital compreendeu:

- ✓ Testes de validação dos caminhos mínimos entre pares OD, com base na minimização do custo generalizado para percorrer cada link;
- ✓ Testes de consistência da alocação do tráfego atual em pontos de controle estrategicamente posicionados no modelo, realizados através da comparação entre os



volumes alocados pelo procedimento computacional e os volumes de tráfego efetivamente verificados em campo (VDM).

3.6.1. Calibração da função de atraso

Procedeu-se o ajuste da função de atraso adotada, que é uma relação matemática que descreve o incremento do tempo de viagem em função do aumento do volume de tráfego.

Neste estudo, foi utilizada a função do *Bureau of Publics Roads* (BPR), que correlaciona o incremento no tempo de viagem de um determinado segmento com sua taxa de ocupação (volume/capacidade), conforme mostra a equação abaixo.

$$t_i \times \left[1 + \alpha_i \left(\frac{x_i}{C_i} \right)^{\beta_i} \right]$$

Em que:

 t^i = tempo de viagem de fluxo livre no *link* i;

 C^i = capacidade no *link i*;

 $x^i = \text{fluxo no } link i$;

 $\alpha \ e \ \beta = \text{constantes}$ (parâmetros calibráveis).

Os parâmetros de calibração servem para diferenciar as distintas características das rodovias. A definição de valores coerentes para esses parâmetros determinará como cada segmento se comporta à medida que sua capacidade é atingida. Considerando que atrasos são inversamente proporcionais à velocidade média de percurso, pode-se dizer que a função BPR descreve a relação entre a capacidade de um *link* e a variação da velocidade média de percurso em função dos volumes de tráfego.

O modelo descrito foi calibrado por meio da correlação com as relações fluxo-velocidade para rodovias de pista simples, rodovias de pista dupla e autoestradas apresentadas pelo HCM 2010 (TRB, 2010), respectivamente, *two-lane highways*, *multilane highways* e *freeways*, adaptados para o ambiente rodoviário brasileiro por meio dos estudos conduzidos na Escola de Engenharia de São Carlos da Universidade de São Paulo para rodovias de pista simples (Bessa Jr., 2009) e autoestradas / rodovias de pista dupla (Andrade, 2012). Foram obtidos valores para o coeficiente *α* para cada *link* da rede, em função, além do tipo de pista, do relevo e da velocidade limite permitida na via.

3.6.2. Validação do modelo



O processo de alocação do tráfego e de calibração do modelo corresponde à etapa de ajustar a rede digital de simulação para que ela represente a realidade verificada em campo, de forma que as rotas determinadas para os diferentes pares OD correspondam de fato aos caminhos escolhidos na prática pelos motoristas.

Após a primeira alocação de tráfego é necessário verificar se o modelo consegue reproduzir a realidade de forma satisfatória. A rede de simulação será futuramente utilizada para avaliar o impacto de proposta futuras e, para tanto, precisa estar calibrada de forma a fornecer dados consistentes e confiáveis. Antes que os resultados provenientes da alocação de tráfego sejam utilizados para influenciar decisões, a estabilidade do processo de alocação deve ser avaliada.

A calibração, portanto, refere-se a todos os procedimentos de correção e definição de parâmetros com o objetivo de obter uma melhor adequação do modelo à realidade. Em um primeiro momento, a correção de problemas é sugerida pelo próprio modelo através de relatórios com alertas sobre erros e valores pouco usuais ou inconsistentes. Após esse estágio preliminar, procuram-se dados cujos valores, apesar de aceitos pelo modelo, apresentam erros provavelmente em decorrência de falhas na entrada de dados. Finalmente, analisam-se informações provenientes do processo de alocação, como velocidade média, tempos de viagem e atrasos.

O processo iterativo de calibração da rede é executado até que a convergência seja obtida. Isso é verificado por meio de um teste de validação dos caminhos mínimos entre pares OD, com base na minimização do custo generalizado para percorrer cada link, através dos seguintes passos:

- ✓ Conferir custos da rede;
- ✓ Checar a consistência das pesquisas OD e CVC;
- ✓ Fazer mapas temáticos com as características principais da rede, visando identificar erros em características visíveis tais como número de faixas ou velocidade de fluxo livre;
- ✓ Usar o teste de validação de caminhos mínimos entre pares OD, com base na minimização do custo generalizado, sendo possível através dessa medida, identificar erros nas ligações dos trechos da rede e nos sentidos das vias;
- ✓ Checar se os pontos de conexão dos centroides das zonas de tráfego e os trechos da rede são adequados;
- ✓ Checar se as impedâncias atribuídas às áreas urbanas estão adequadas, incluindo velocidades de fluxo livre e os parâmetros de calibração da função de atraso;



✓ Processo iterativo de ajuste das variáveis: (a) valor do tempo de cada classe de veículo; (b) percepção das componentes do custo operacional por classe de veículo alocada.

Concluído o processo de definição dos caminhos mínimos entre os vários pares OD, passou-se ao carregamento da rede com os volumes contidos na matriz OD consolidada, utilizando-se, para tanto, o método de alocação "com restrição de capacidade" com base em uma função de congestionamento que reflete a capacidade de tráfego dos links da rede e os atrasos provocados pelo aumento gradativo dos fluxos de tráfego.

Após as etapas descritas, é realizado um segundo ajuste por meio da matriz OD originalmente obtida com as pesquisas de campo. Esse processo é realizado através do método "Estimação da Matriz OD" (OD Matrix Estimation - ODME) que busca, a partir de uma matriz semente fornecida (OD obtida com as pesquisas) e de contagens em pontos de controle devidamente posicionados na área de estudo (praças de pedágio e postos CVC), distribuir o tráfego de maneira que a rede de simulação represente o tráfego real do sistema.

Em cada iteração do processo de calibração, a qualidade do ajuste é verificada por meio de dois indicadores principais:

- 1. Teste de consistência da alocação do tráfego atual em pontos de controle da rede, correspondentes aos locais das praças de pedágio e dos postos de CVC, realizado através da comparação entre os volumes de tráfego alocados pelo procedimento computacional (simulação) e os volumes de tráfego efetivamente verificados em campo (contagem);
- 2. A fórmula estatística GEH, que consiste em um método usado em Engenharia de Transportes para a verificação da qualidade da calibração de um modelo de simulação, por meio de uma comparação quantitativa e qualitativa dos fluxos estimados pelo modelo com os aferidos em campo, para os pontos de controle adotados.

$$GEH = \sqrt[2]{\frac{2*(m-c)^2}{(m+c)^2}}$$
 (31)

Sendo:

m = volume de tráfego alocado na rede;

c = volume de tráfego contado no posto de controle.

3.6.3. Resultado da calibração

Após diversas alocações em busca da calibração, o gráfico a seguir mostra os resultados da alocação final com o ajuste sintético (método ODME) – consiste em um ajuste de



volume da matriz realizado pelo software para melhor representação dos fluxos observados nas contagens de tráfego. O gráfico compara os volumes alocados (simulados) com os volumes reais (contados), sendo possível verificar sua dispersão e deslocamento da situação ideal, representada pela linha diagonal. Nota-se que os volumes alocados tiveram um ajuste satisfatório com os volumes reais. Isso indica uma boa confiabilidade quanto à calibração da rede para a situação atual.

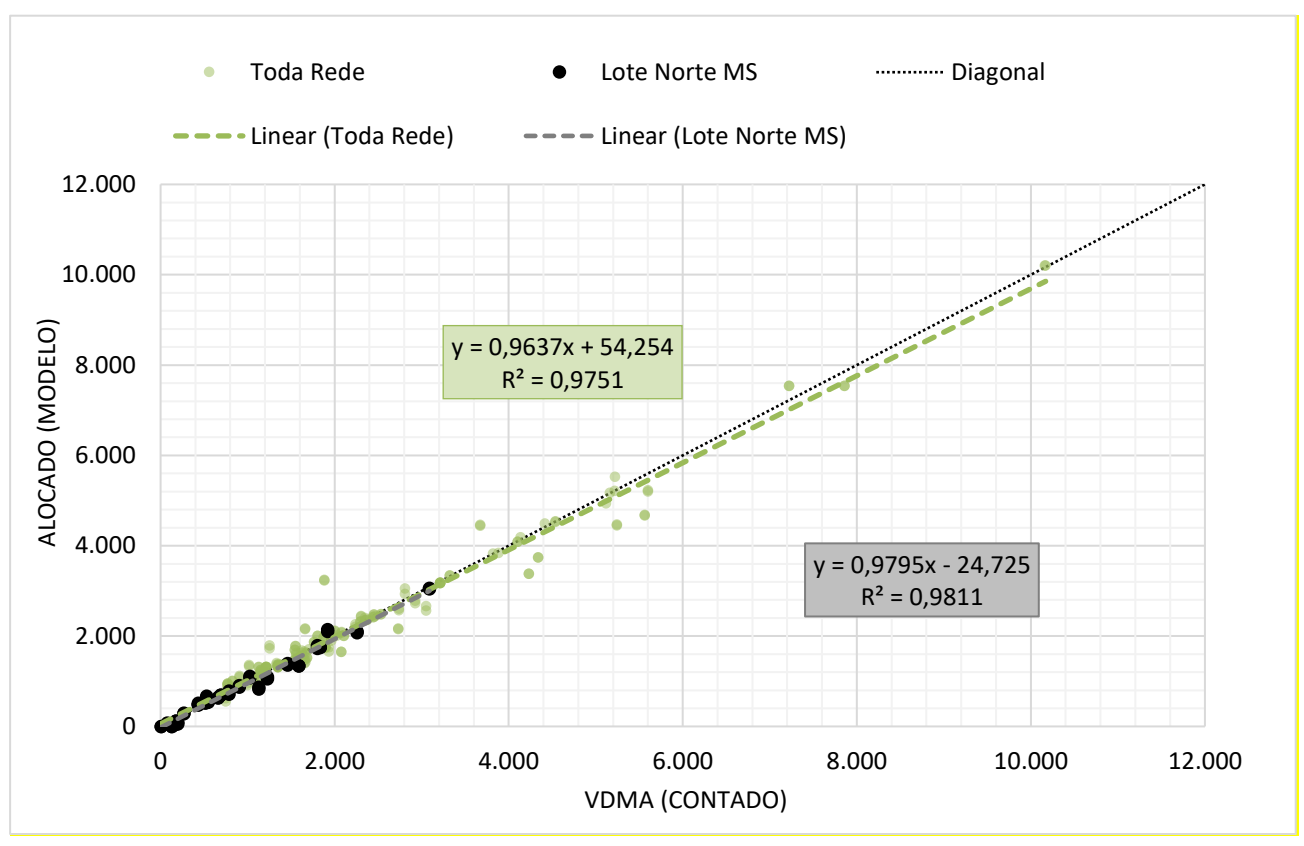


Gráfico 3-1 - Calibração final do modelo após ajuste sintético

Finalmente, a Figura seguir apresenta o carregamento da rede na região do estudo, de forma a evidenciar os volumes de tráfego atuais das vias, representados pela espessura das linhas, e a relação volume/capacidade, representada pela cor das linhas. Percebese que, em geral, as rodovias na região de estudo não apresentam alto fluxo de tráfego, sendo a MS-306, a BR-158/MS e a BR-262/MS as mais solicitadas pelos veículos na porção nordeste do Estado do Mato Grosso do Sul.



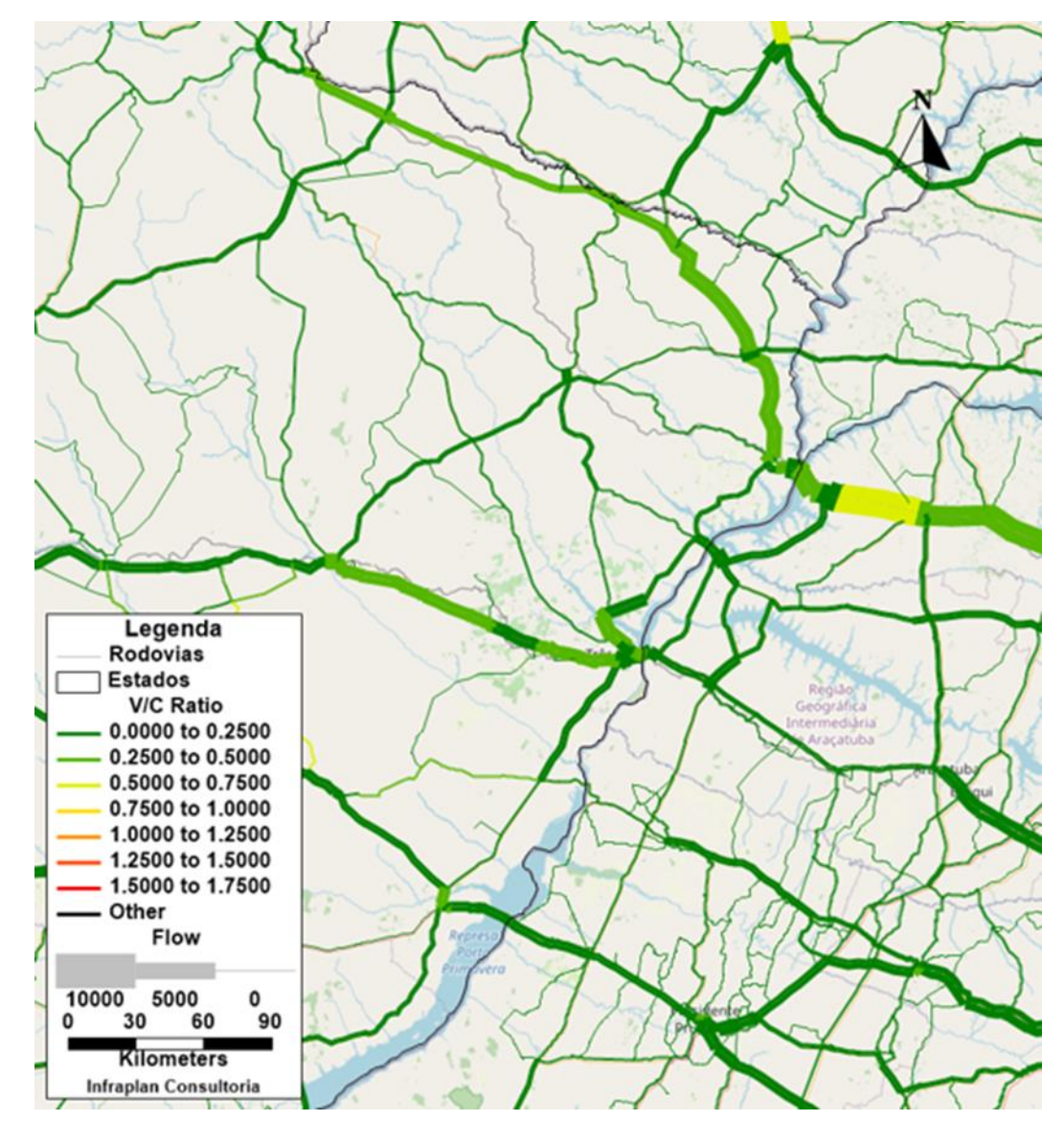


Figura 3-8 - Rede calibrada para a situação atual

Aqui, cabe ressaltar que, as matrizes pesquisadas foram complementadas com as da base de dados do Consórcio, visando melhor representação dos fluxos das rodovias da região.

4. Cálculo dos efeitos sobre o crescimento do tráfego

4.1. Crescimento vegetativo do tráfego

Por crescimento vegetativo do tráfego entende-se o crescimento da demanda de transporte associado exclusivamente ao desenvolvimento socioeconômico da região, ou seja, sem considerar outros possíveis efeitos como, por exemplo, concorrência de rotas alternativas, modos e variações no custo de transporte.



Para se calcular as taxas de crescimento vegetativo do tráfego em uma região de estudo, percorrem-se as etapas descritas na Figura a seguir.



Figura 4-1 - Etapas do desenvolvimento de estudos de projeção de crescimento vegetativo

A identificação dos indicadores socioeconômicos relevantes consiste em selecionar variáveis independentes que poderão ser utilizadas para explicar e prever o crescimento da demanda. Desta maneira, as correlações entre variáveis são necessárias para verificar a existência de encadeamento entre a variável explicativa selecionada e a demanda de tráfego em análise. Assim, define-se a elasticidade que indica o grau de variação do tráfego devido a uma oscilação na variável independente adotada.

Em seguida, define-se qual projeção da variável econômica independente disponível (calculada por instituições especializadas) será utilizada como base. Optou-se, neste estudo, por utilizar o PIB-BR, escolhido por se ter projeções confiáveis e pelo fato de o tráfego das rodovias ter forte relação com a dinâmica econômica do país.

Por fim, a taxa de crescimento projetada para a variável econômica independente, multiplicada pelas elasticidades adotadas, determinam as taxas de crescimento do tráfego a serem consideradas no estudo.

As elasticidades Tráfego x PIB-BR foram calculadas em duas etapas: (i) ajuste regional; (ii) ajuste de tráfego. A multiplicação dessas correlações permitiu obter a elasticidade final Tráfego x PIB-BR.

4.1.1. Ajuste Regional

O ajuste regional é realizado considerando a relação entre a dinâmica econômica nacional e a dinâmica econômica das zonas de tráfego. Foram realizadas correlações entre as séries históricas do PIB de cada zona de tráfego (a partir da base do PIB municipal disponibilizada pelo IBGE) e o PIB-BR, sendo o PIB das zonas de tráfego o somatório dos PIBs municipais contidos na zona. Assim, foi associada uma elasticidade a cada zona de tráfego, indicando seu comportamento perante o PIB Brasil.



O período de análise considerado para análise das elasticidades foi de 2002 a 2014. O início da série foi determinado pela própria base de dados, uma vez que o IBGE disponibiliza o PIB municipal a partir do ano de 2002. Já o ano final disponibilizado pelo IBGE é 2018, entretanto, dada a crise político/financeira instaurada no país a partir de 2014, período em que foram observados comportamentos atípicos no tráfego de veículos, os dados de 2015 a 2018 foram descartados da análise.

Cabe ressaltar que, nas zonas que não tiveram R² (índice estatístico que indica a qualidade da correlação entre variáveis) superior a 70%, foi considerada elasticidade regional igual a 1 e que, para obtenção de uma elasticidade regional única para cada categoria de veículo analisada, a elasticidade de cada zona foi ponderada pelo número de viagens geradas por ela.

Por fim, a Tabela a seguir apresenta as elasticidades regionais encontradas na análise.

Tabela 4-1 - Elasticidades - Resultado do Ajuste Regional

| PIB Zonas x PIB- BR | Automóveis | Cam. Leve | Cam. Pesado | Cam. Superpesado |
|------------------------|------------|-----------|-------------|---------------------|
| (2002 – 2014) | 1,056 | 1,111 | 1,166 | 1,201 |

Nota-se, portanto, que pelo âmbito da diferenciação regional, que as quatro categorias de veículos tendem a crescer mais que a média nacional.

4.1.2. Ajuste de Tráfego

O tráfego das rodovias tem forte relação com a dinâmica econômica do país. Com o ajuste de tráfego, avalia-se qual a sensibilidade do tráfego da região em análise perante as variações da economia nacional.

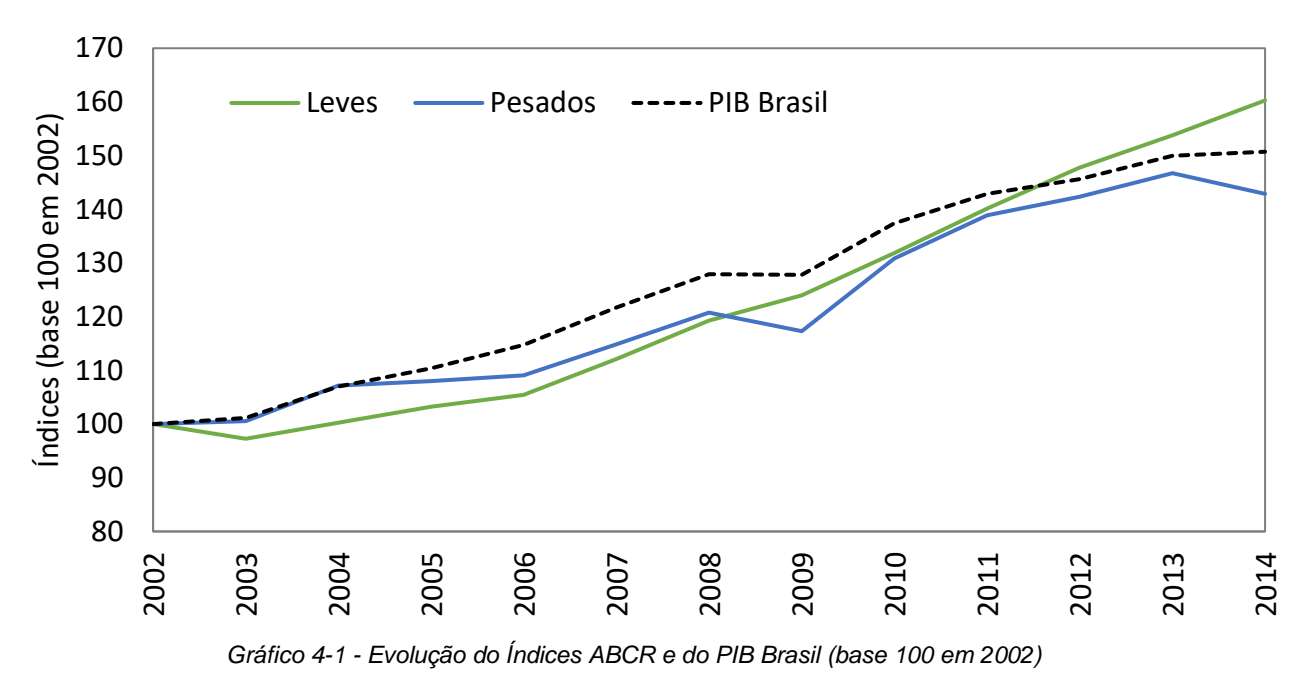
Para isso, foram realizadas correlações entre as séries históricas dos índices ABCR-BR Leves e Pesados, ajustadas para eixos, com o PIB-BR. O período de correlação utilizado foi o mesmo do ajuste regional, ou seja, de 2002 a 2014. A tabela a seguir explicita os resultados obtidos no ajuste de tráfego.

Tabela 4-2 - Elasticidades - Ajuste de tráfego

| ADCD v DID DD | Eix | os |
|---------------|------------|-----------|
| ABCR x PIB-BR | Automóveis | Caminhões |
| Elasticidade | 1,171 | 0,921 |
| R² | 0,95 | 0,97 |

Observa-se que as correlações do tráfego indicam que as variações do tráfego, para os automóveis, são maiores que as do PIB e menores que ele para os caminhões, conforme observado no Gráfico a seguir.





4.1.3. Combinação das taxas do ajuste regional e de tráfego

Realizadas as duas primeiras etapas para a determinação das elasticidades finais que indiquem o comportamento do tráfego da região em relação a economia do país, o próximo passo foi a combinação destas duas etapas. A Tabela a seguir apresenta os resultados.

Tabela 4-3 - Elasticidades finais - Combinação dos ajustes regional e de tráfego

| · | Automóveis | Cam. Leve | Cam. Pesado | Cam. Superpesado |
|---|------------|-----------|-------------|---------------------|
| | 1,237 | 1,023 | 1,074 | 1,106 |

Nota-se, portanto, que foi feita a multiplicação das elasticidades do ajuste regional de cada zona pelas elasticidades obtidas com o ajuste de tráfego. Tem-se, como resultado, uma elasticidade final para toda a região em estudo, o que possibilita diferenciar o crescimento dela de acordo com sua dinâmica econômica.

4.1.4. Atenuação das elasticidades

Como as elasticidades são definidas com dados históricos, não é prudente afirmar que essas correlações se mantêm constantes durante todo o período de concessão. Dessa forma, adotou-se o decaimento linear da elasticidade histórica de forma a alcançar o valor de 1,0 em 15 anos.

O Gráfico a seguir mostra as elasticidades obtidas no presente estudo para cada tipo de veículo durante o período previsto para a concessão do trecho.



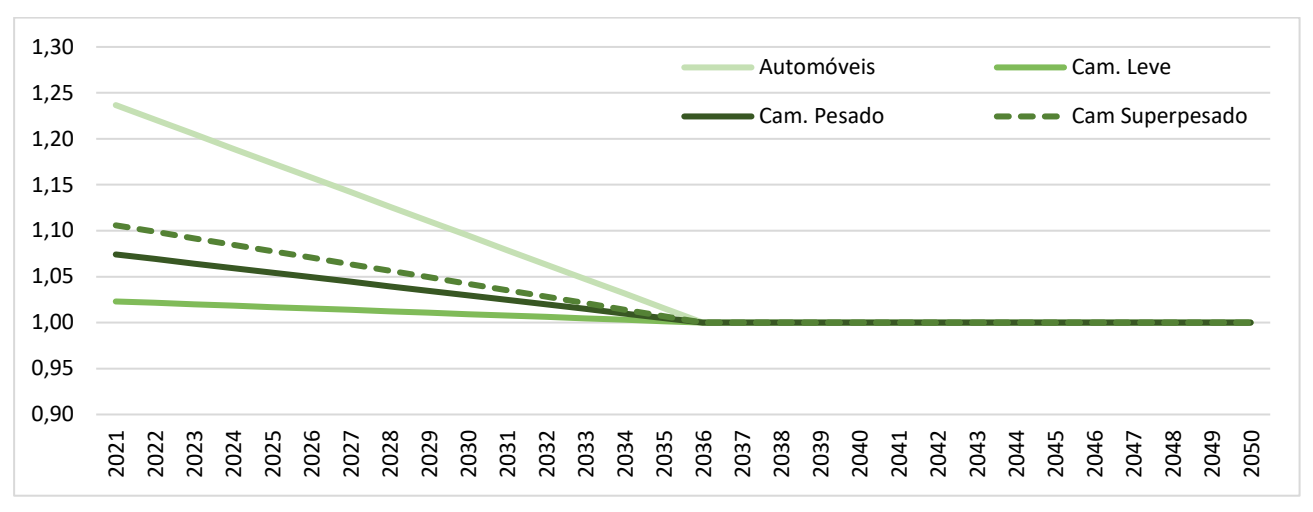


Gráfico 4-2 - Evolução das elasticidades por tipo de veículo

4.1.5. Projeção do PIB - Brasil

A última etapa da projeção do crescimento vegetativo é a projeção da variável explicativa nacional (PIB-BR). O Gráfico abaixo apresenta as taxas de projeção média do PIB-BR com base no relatório FOCUS datado de 30/07/2021. O relatório apresentado pelo Banco Central apresenta as expectativas do mercado quanto ao crescimento do PIB para o período de 2021 a 2024, contudo essa análise iniciou-se pela projeção de 2022. Cabe ressaltar que, para os anos posteriores a 2024, adotou-se uma taxa constante igual à projeção verificada para 2024 (2,50%).

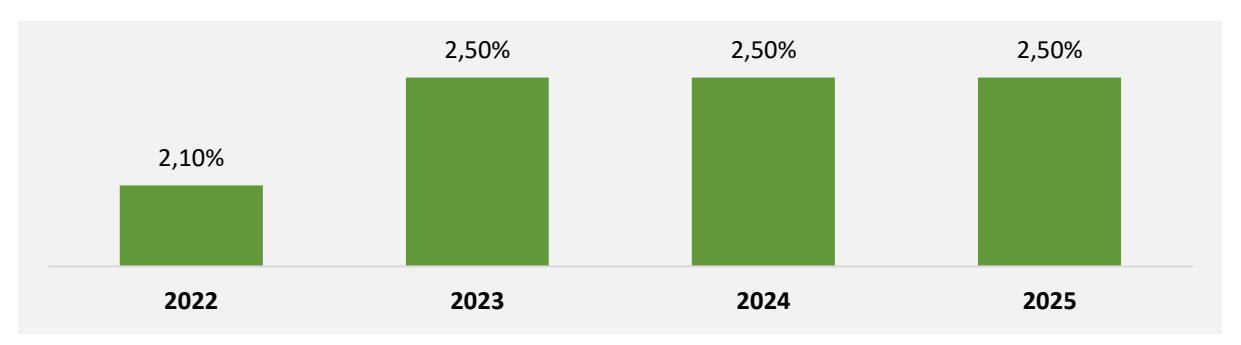
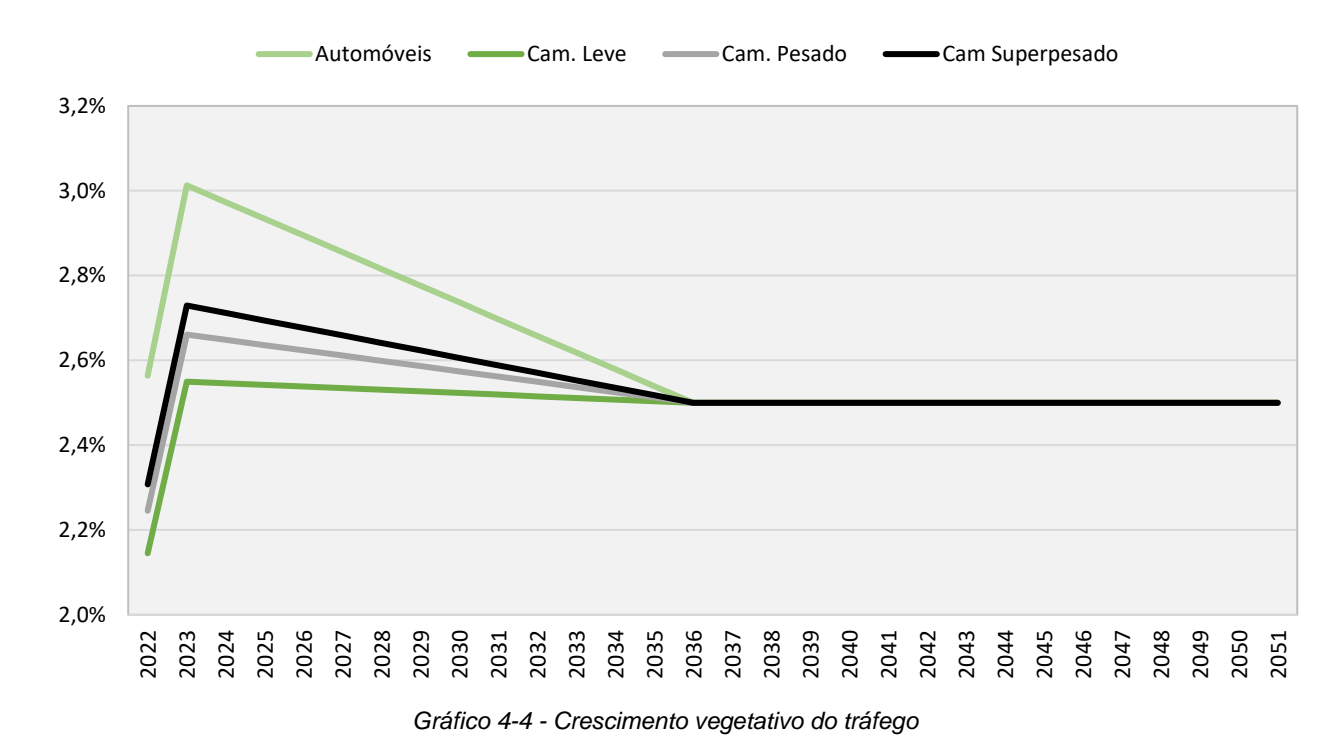


Gráfico 4-3 - Projeção do PIB-BR

4.1.6. Taxas de crescimento do tráfego

Diante da projeção média do PIB-BR, feita pelo relatório FOCUS, e das elasticidades calculadas, pôde-se determinar o crescimento vegetativo dos veículos por meio da multiplicação PIB-BR x Elasticidade. Sendo assim, chegou-se às taxas de crescimento, as quais foram únicas para todas as praças e diferentes para automóveis, caminhões leves, pesados e superpesados, conforme apresentado no Gráfico a seguir.





4.2. Definição da quantidade e dos locais de praça de pedágio

A determinação da localização e da quantidade de praças de pedágio foram realizadas visando os seguintes objetivos:

- ✓ Maximizar a receita;
- ✓ Minimizar os custos de arrecadação;
- ✓ Maximizar a equidade de cobrança;
- ✓ Menor tarifa ao usuário.

Com base nas análises realizadas a configuração com 6 (seis) praças de pedágio apresentou vantagens frente à de 5 (cinco) praças de pedágio, sendo a sexta praça a localizada na BR-436/MS.

Se considerada as 6 praças, houve uma redução no valor da tarifa quilométrica da ordem de 18%, ou 32% no valor da tarifa das praças, para compensar a execução dos investimentos necessários. Além disso, a tarifa quilométrica efetivamente paga pela maioria dos usuários é menor quando utilizada a configuração de 6 praças, como pode ser visto no Gráfico a seguir.



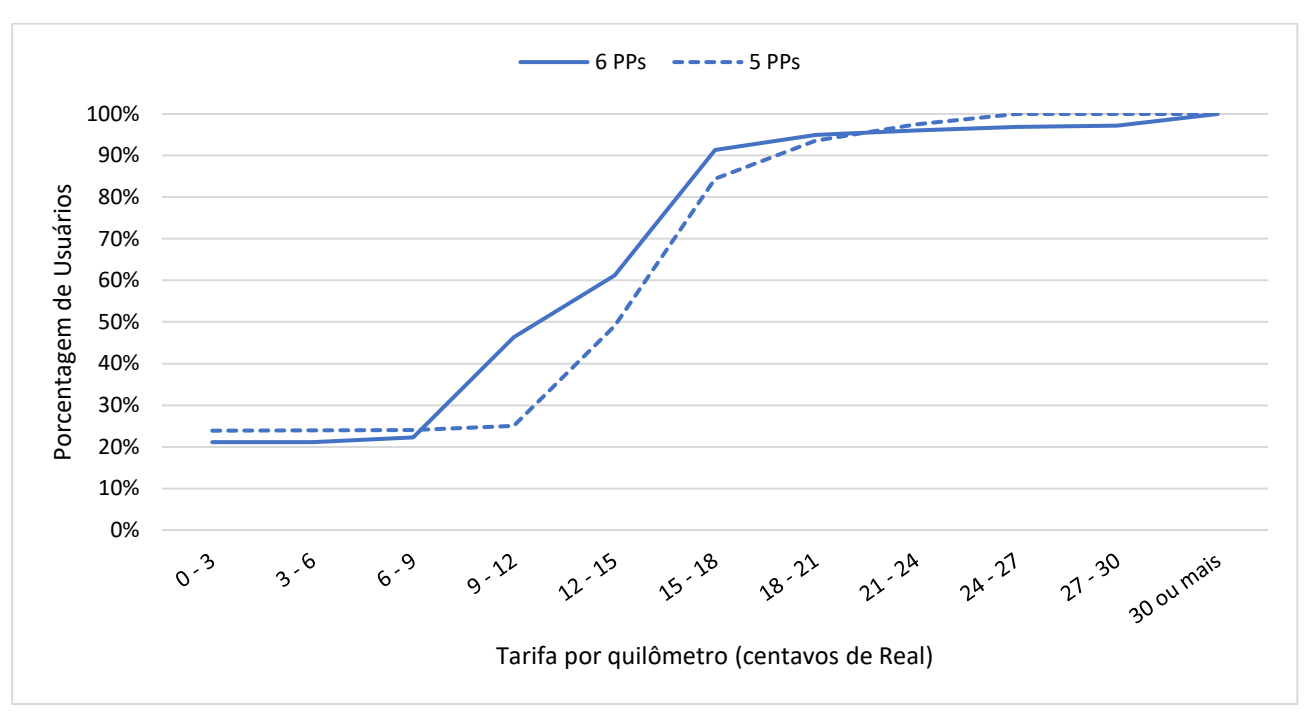


Gráfico 4-5 - Tarifa quilométrica efetivamente paga

Por esses motivos foi considerado que o modelo com 6 praças é o mais adequado para concessão.

A determinação da localização das praças de pedágio foi feita de modo a evitar ou minimizar os desvios por rotas alternativas. Os levantamentos de campo feitos apontam que as localizações indicadas são as melhores soluções de implantação das praças de pedágio. Os locais propostos ficam longe dos centros urbanos, minimizam a inequidade de cobrança e diminuem a possibilidade de fugas e desvios. As localizações das praças de pedágio estão apresentadas na Tabela a seguir:

| | | Lo | ocalização de Praças de pe | dágio | |
|-------|-----------|---------|----------------------------|---------------|---------------|
| Praça | Rodovia | km | Município | Latitude | Longitude |
| PP1 | BR-158/MS | 77+000 | Cassilândia | 19°32'19.69"S | 51°15'45.89"O |
| PP2 | BR-158/MS | 117+000 | Paranaíba | 19°50'28.08"S | 51° 6'48.01"O |
| PP3 | MS-112 | 190+600 | Aparecida do Taboado | 19°12'1.89"S | 51°44'20.15"O |
| PP4 | BR-158/MS | 173+600 | Aparecida do Taboado | 20°12'52.07"S | 51°19'26.48"O |
| PP5 | MS-112 | 68+000 | Selvíria | 20° 3'11.51"S | 51°50'50.86"O |
| PP6 | BR-436/MS | 14+000 | Aparecida do Taboado | 20° 5'49.14"S | 51° 1'32.15"O |

Tabela 4-4 - Localização das praças de pedágio propostas

4.3. Cenários futuros

A etapa de cenários futuros consiste na estimativa de impacto devido às prováveis mudanças na rede viária (obras de pavimentação, melhorias e/ou ampliação de capacidade, implantação de novas praças de pedágio) que ocorrerão na região em



estudo. Tendo em vista que tais alterações podem, conforme o cenário simulado, alterar a escolha de rota dos usuários e consequentemente o volume de veículos nas diferentes rodovias, torna-se importante avaliar os efeitos dessas intervenções no tráfego do Lote Norte - MS, principalmente nos locais de praças de pedágio.

A seguir são evidenciados os efeitos das implantações de algumas dessas mudanças no comportamento do tráfego na região. Para tanto, alocou-se no modelo de simulação a matriz de viagem atual nas redes futuras (com as alterações) de modo a revelar apenas os efeitos de cada alteração. Para facilitar a compreensão, apresentam-se os mapas de diferença considerando o cenário futuro contra a situação atual. Salienta-se que, nesses mapas, as linhas vermelhas representam os links onde houve perda de tráfego e as linhas verdes onde houve ganho. Adicionalmente, a perda ou ganho de tráfego são proporcionais à espessura dessas linhas.

4.3.1. Implantação das seis praças de pedágio no Lote Norte

Neste cenário, foi simulada a implantação das seis praças de pedágio propostas no Lote Norte. Ao comparar com a situação atual (modelo calibrado), verificou-se a migração de tráfego da BR-158 para a MS-112 e MS-316. Contudo, a BR-497 apresenta maior carregamento, o que indica maior utilização dela para se alcançar a rodovia SP-320, em alternativa à ponte rodoferroviária na divisa dos estados de São Paulo e Mato Grosso do Sul, conforme apresentado na Figura a seguir. Ressalta-se que neste cenário de simulação a tarifa quilométrica adotada foi de R\$ 0,1350.



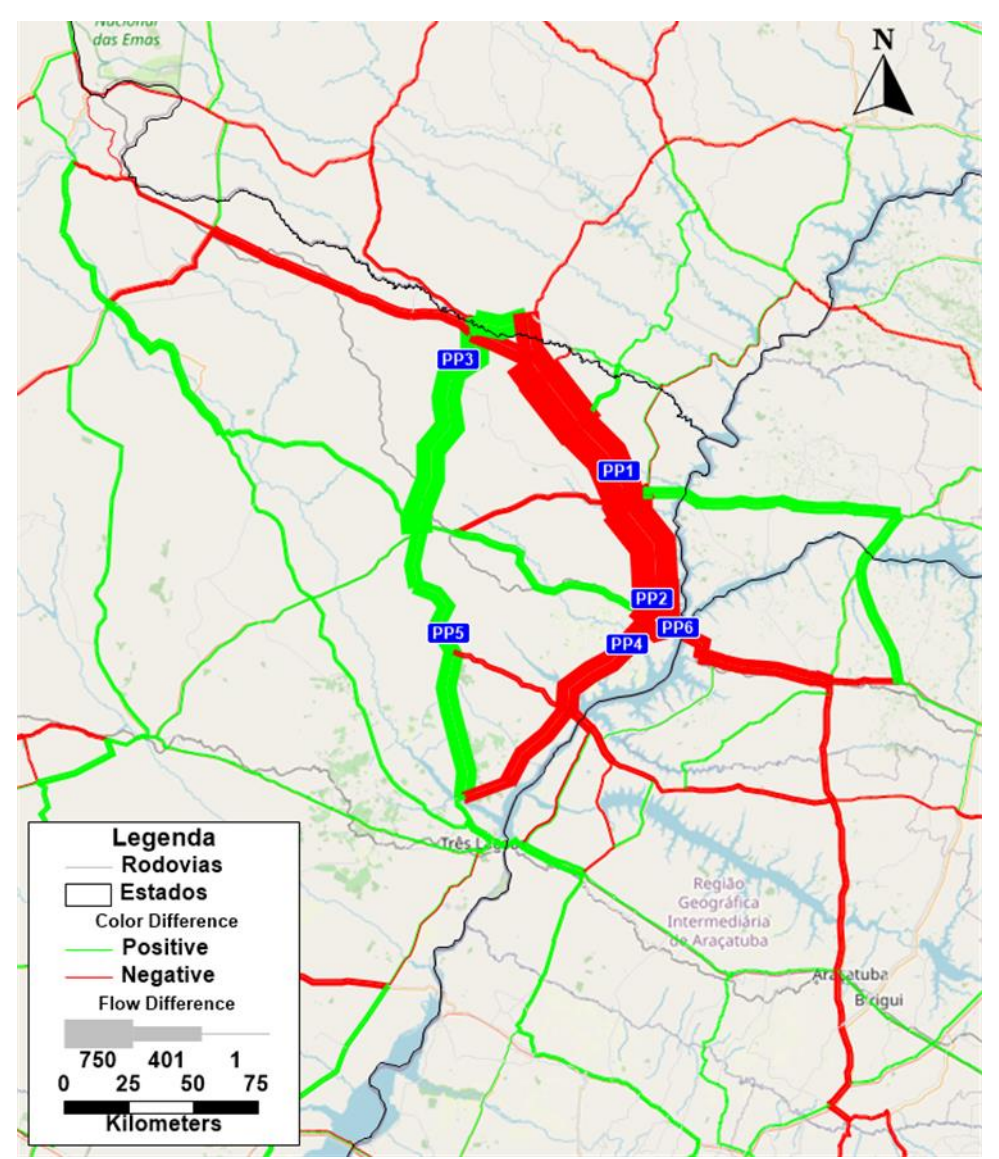


Figura 4-2 - Mapa de diferença – Implantação de seis praças no Lote Norte

Dessa forma, pôde-se chegar ao impacto final do tráfego nos locais das praças frente à situação atual, conforme exposto na Tabela seguir.

Tabela 4-5 - Diferença no tráfego atual

| Praça | VDMA | Eixos |
|-------|------|-------|
| PP1 | -28% | -17% |
| PP2 | -30% | -19% |
| PP3 | 78% | 109% |
| PP4 | -41% | -28% |
| PP5 | 51% | 84% |
| PP6 | -6% | -3% |
| Total | -12% | -6% |

Como observado, o desvio se considerado todo o lote é de 10% em eixos ou 16% em veículos, indicando maior desvio dos veículos de passeio. Ainda, cabe observar que,



embora ocorram alterações de rota nas praças da BR-158 em função da cobrança de pedágio, grande parte dos veículos migra para a MS-112, outra rodovia do lote.

4.3.2. Aumento do número de eixos suspensos

Uma vez que, com a cobrança de pedágio, os caminhoneiros tendem a suspender mais os eixos dos veículos comerciais, foi considerado que haverá um aumento de 40% no volume de eixos suspensos determinado pelas contagens.

| Suspensos | Atual | Futuro |
|-----------|-------|--------|
| PP1 | 5,6% | 7,9% |
| PP2 | 6,5% | 9,1% |
| PP3 | 8,1% | 11,4% |
| PP4 | 11,4% | 15,9% |
| PP5 | 11,6% | 16,2% |
| PP6 | 7.8% | 10.9% |

Tabela 4-6 - Percentual atual e futuro de eixos suspensos

Esse aumento no número de eixos suspensos nas praças de pedágio representa um impacto de aproximadamente -1,4% nos eixos totais da concessão.

4.3.3. Concorrência modal

A partir das informações contidas nas pesquisas de Origem-Destino, foram levantados os principais geradores de viagens dos caminhões dos trechos rodoviários em estudo.

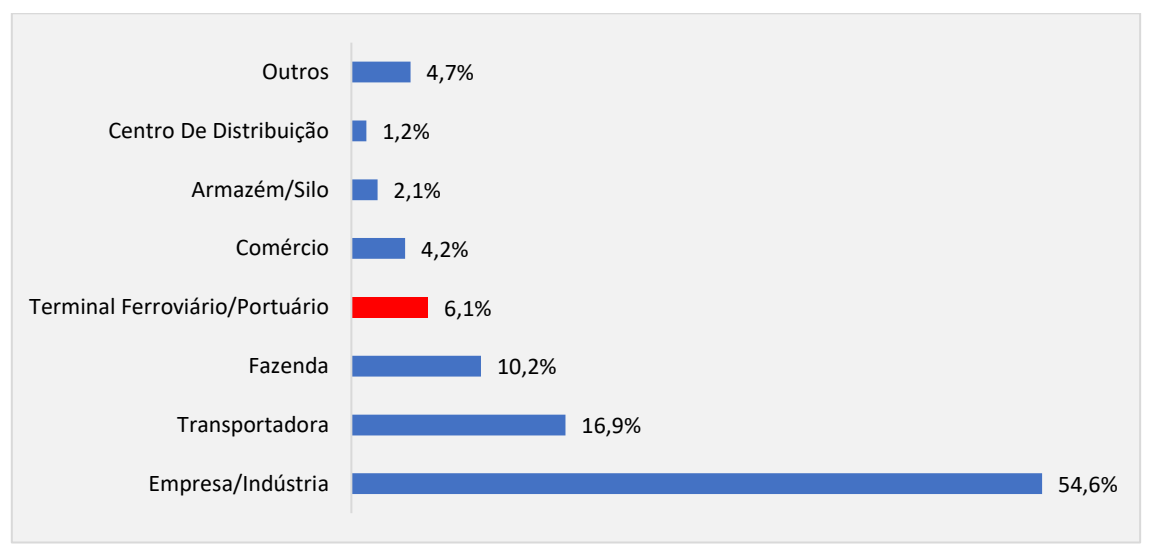


Gráfico 4-6 - Principais geradores de viagens

Em função de características específicas dos corredores logísticos, da previsão de ampliação da malha ferroviária e de que as viagens com pontas em locais como empresas, transportadoras, fazendas, comércios, silos e centros de distribuição



dificilmente mudariam de modo de transporte, foi determinado que as viagens com pontas em terminais ferroviários ou portuários possivelmente podem migrar de modo.

Sendo assim, o impacto da concorrência modal foi estimado em 6,1% e aplicado entre os anos de 2022 e 2032, gerando uma perda de 0,6% ao ano nos veículos comerciais. Essa perda representa um impacto de -4% nos eixos totais da concessão.

4.3.4. Pavimentação de rodovias concorrentes no Lote Norte

Por fim, simulou-se o cenário de concessão, considerando também a pavimentação de rodovias na região do trecho em estudo, são elas: MS-316, entre Água Santa e Aparecida do Taboado, e MS-444, entre a MS-112 e Selvíria.

Como observado na Figura abaixo, a pavimentação da MS-444 tem pouco ou nenhum impacto no tráfego da região. Já a MS-316 atrai tráfego da BR-262/MS proveniente da troca entre o noroeste do estado de São Paulo e a região de Camapuã/MS, sendo o maior impacto na Praça 6 (BR-436) onde há ganho de 2% em eixos.

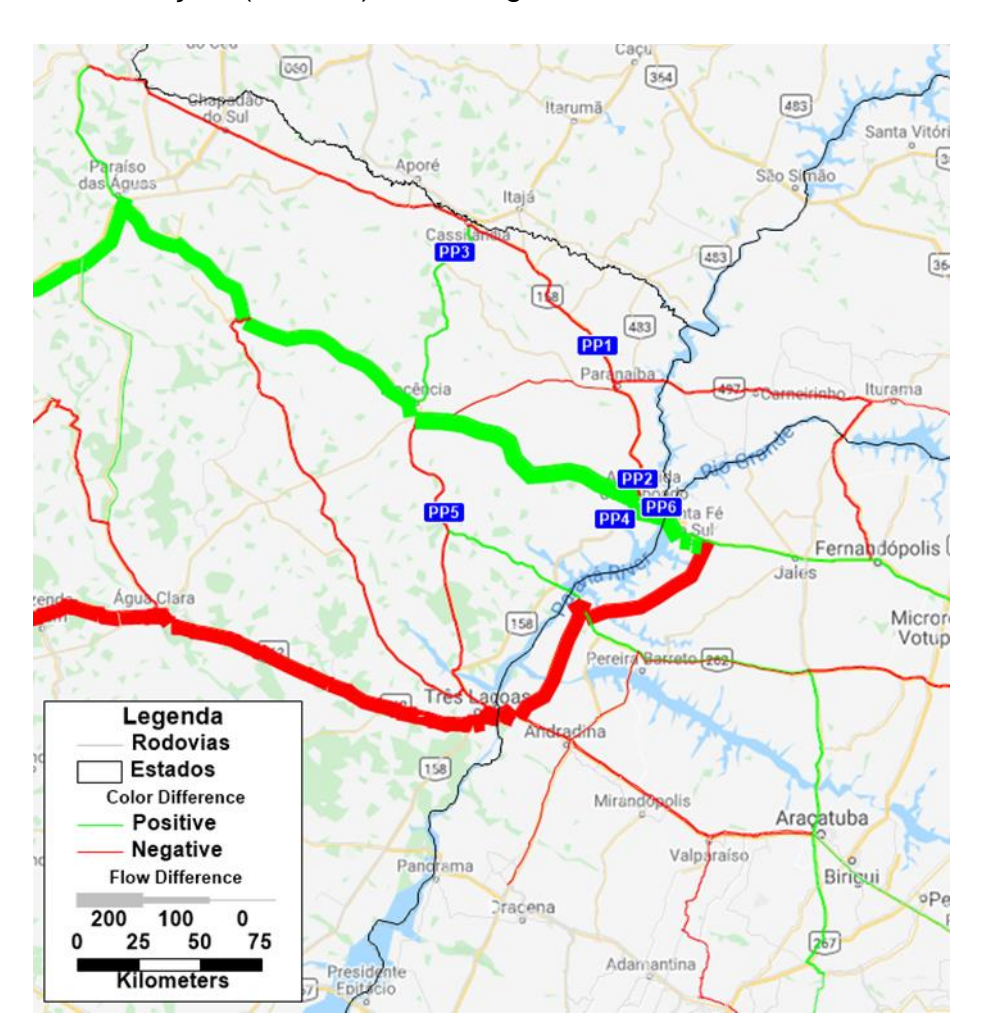


Figura 4-3 - Mapa de diferença – Pavimentação de Estaduais do MS



O impacto total dessas pavimentações no tráfego dos locais de praça é de 0,4% em eixos e pode ser visto em detalhes na Tabela a seguir.

Praça **VDMA Eixos** PP1 -0,3% -0,2% PP2 -0,1% -0,2% PP3 0,1% 0,2% PP4 -0,1% -0,1% PP5 -1,6% -0,5% PP6 4,1% 1,9% 1,2% 0,4% Total

Tabela 4-7 - Impacto pavimentação estaduais MS

Para efeitos de tráfego, ele foi considerado no ano de 2025.

5. Projeção de tráfego

Aplicada a taxa de crescimento para as categorias de veículo, pôde-se projetar o tráfego para os 30 anos de operação da concessão. O Gráfico a seguir apresenta a projeção de eixos equivalentes por ano e praça de pedágio, em milhões, sendo o ano de 2022 o Ano 1 da concessão.

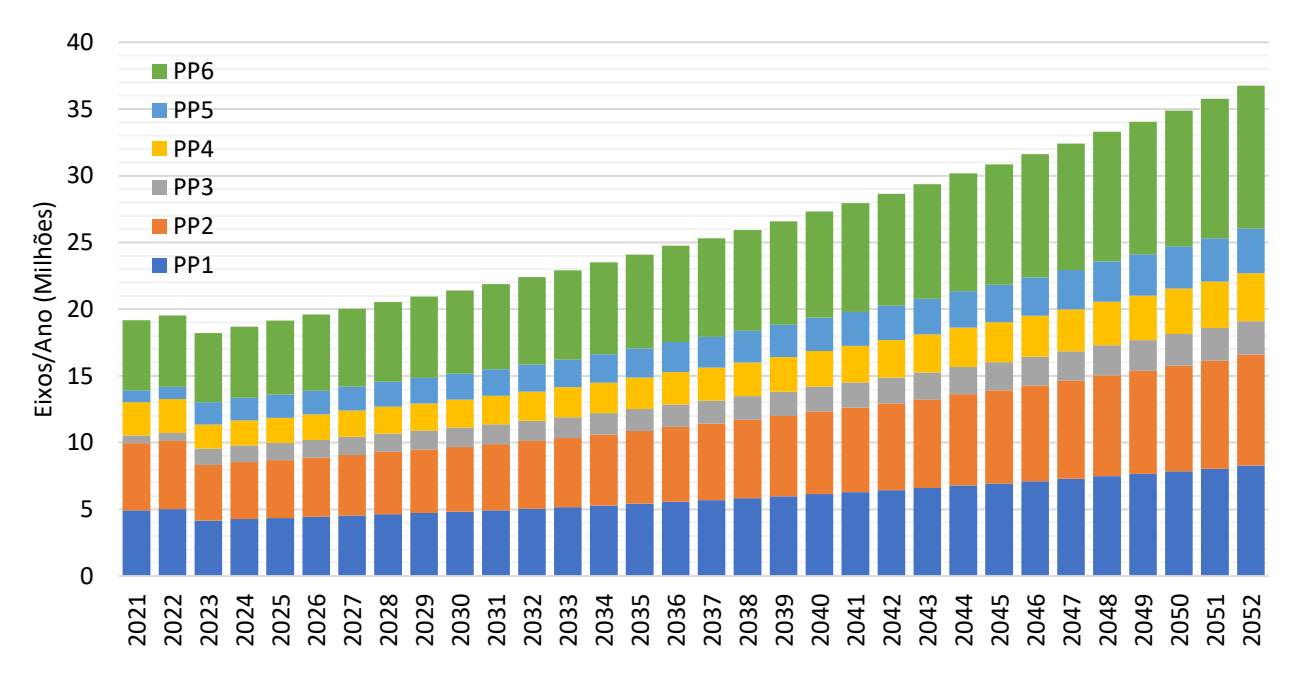


Gráfico 5-1 - Projeção de eixos equivalentes por ano (em milhões)

As tabelas a seguir mostram a projeção do volume médio diário anual (VDMA), eixos equivalentes (EEq) por dia e por ano para o cenário com cobrança nas seis praças de pedágio.

Tabela 5-1 - Projeção do volume médio diário anual (em milhares)

| Taxa de Crescimento | - | 2,3% | - 10,0% | 2,6% | 4,1% | 2,6% | 2,6% | 2,5% | 2,5% | 2,5% | 2,5% | 2,4% | 2,6% | 2,6% | 2,5% | 2,5% | 2,5% | 2,5% | 2,5% | 2,5% | 2,5% | 2,5% | 2,5% | 2,5% | 2,5% | 2,5% | 2,5% | 2,5% | 2,5% | 2,5% | 2,5% | 2,5% |
|------------------------|-------|-------|------------|-------|-------|-------|-------|-------|-------|-------|-------|-------|-------|-------|-------|-------|-------|-------|-------|------------|------------|------------|------------|------------|------------|------------|------------|------------|------------|------------|------------|------------|
| VDMA | 2021 | 2022 | 2023 | 2024 | 2025 | 2026 | 2027 | 2028 | 2029 | 2030 | 2031 | 2032 | 2033 | 2034 | 2035 | 2036 | 2037 | 2038 | 2039 | 2040 | 2041 | 2042 | 2043 | 2044 | 2045 | 2046 | 2047 | 2048 | 2049 | 2050 | 2051 | 2052 |
| PP1 | 3.957 | 4.042 | 2.986 | 3.060 | 3.125 | 3.200 | 3.278 | 3.356 | 3.435 | 3.516 | 3.598 | 3.680 | 3.775 | 3.871 | 3.969 | 4.068 | 4.170 | 4.274 | 4.381 | 4.490 | 4.602 | 4.717 | 4.835 | 4.956 | 5.080 | 5.207 | 5.337 | 5.471 | 5.608 | 5.748 | 5.891 | 6.039 |
| PP2 | 4.661 | 4.765 | 3.404 | 3.491 | 3.573 | 3.663 | 3.754 | 3.846 | 3.939 | 4.034 | 4.130 | 4.227 | 4.336 | 4.447 | 4.559 | 4.673 | 4.790 | 4.909 | 5.032 | 5.158 | 5.287 | 5.419 | 5.554 | 5.693 | 5.836 | 5.982 | 6.131 | 6.284 | 6.442 | 6.603 | 6.768 | 6.937 |
| PP3 | 979 | 1.002 | 1.830 | 1.881 | 1.935 | 1.988 | 2.042 | 2.097 | 2.152 | 2.208 | 2.265 | 2.323 | 2.383 | 2.444 | 2.506 | 2.569 | 2.633 | 2.699 | 2.766 | 2.835 | 2.906 | 2.979 | 3.053 | 3.130 | 3.208 | 3.288 | 3.370 | 3.455 | 3.541 | 3.629 | 3.720 | 3.813 |
| PP4 | 1.878 | 1.919 | 1.163 | 1.192 | 1.219 | 1.249 | 1.279 | 1.309 | 1.340 | 1.372 | 1.403 | 1.435 | 1.472 | 1.510 | 1.548 | 1.587 | 1.626 | 1.667 | 1.709 | 1.751 | 1.795 | 1.840 | 1.886 | 1.933 | 1.982 | 2.031 | 2.082 | 2.134 | 2.187 | 2.242 | 2.298 | 2.355 |
| PP5 | 1.142 | 1.169 | 1.808 | 1.856 | 1.879 | 1.928 | 1.979 | 2.030 | 2.082 | 2.135 | 2.188 | 2.242 | 2.300 | 2.359 | 2.419 | 2.479 | 2.541 | 2.604 | 2.670 | 2.736 | 2.805 | 2.875 | 2.947 | 3.020 | 3.096 | 3.173 | 3.253 | 3.334 | 3.417 | 3.503 | 3.590 | 3.680 |
| PP6 | 6.432 | 6.582 | 6.338 | 6.511 | 6.998 | 7.186 | 7.377 | 7.570 | 7.766 | 7.965 | 8.166 | 8.371 | 8.588 | 8.808 | 9.031 | 9.256 | 9.488 | 9.725 | 9.968 | 10.21 7 | 10.47 3 | 10.73 5 | 11.00 3 | 11.27 8 | 11.56 0 | 11.84 9 | 12.14 5 | 12.44 9 | 12.76 0 | 13.07 9 | 13.40 6 | 13.74 1 |

Tabela 5-2 - Projeção de eixos equivalentes por dia (em milhares)

| Taxa de Crescimento | - | 1,9% | -6,8% | 2,3% | 2,8% | 2,3% | 2,3% | 2,2% | 2,2% | 2,2% | 2,2% | 2,2% | 2,6% | 2,5% | 2,5% | 2,5% | 2,5% | 2,5% | 2,5% | 2,5% | 2,5% | 2,5% | 2,5% | 2,5% | 2,5% | 2,5% | 2,5% | 2,5% | 2,5% | 2,5% | 2,5% | 2,5% |
|---------------------|--------|--------|--------|--------|--------|--------|--------|--------|--------|--------|--------|--------|--------|--------|--------|--------|--------|--------|--------|--------|--------|--------|--------|--------|--------|--------|--------|--------|--------|--------|--------|--------|
| EIXOS | 2021 | 2022 | 2023 | 2024 | 2025 | 2026 | 2027 | 2028 | 2029 | 2030 | 2031 | 2032 | 2033 | 2034 | 2035 | 2036 | 2037 | 2038 | 2039 | 2040 | 2041 | 2042 | 2043 | 2044 | 2045 | 2046 | 2047 | 2048 | 2049 | 2050 | 2051 | 2052 |
| PP1 | 13.469 | 13.719 | 11.399 | 11.653 | 11.881 | 12.141 | 12.405 | 12.672 | 12.944 | 13.219 | 13.497 | 13.779 | 14.131 | 14.489 | 14.854 | 15.225 | 15.606 | 15.996 | 16.396 | 16.805 | 17.226 | 17.656 | 18.098 | 18.550 | 19.014 | 19.489 | 19.976 | 20.476 | 20.988 | 21.512 | 22.050 | 22.601 |
| PP2 | 13.786 | 14.048 | 11.435 | 11.693 | 11.932 | 12.198 | 12.466 | 12.739 | 13.015 | 13.296 | 13.580 | 13.867 | 14.221 | 14.582 | 14.949 | 15.323 | 15.706 | 16.099 | 16.501 | 16.914 | 17.337 | 17.770 | 18.214 | 18.670 | 19.136 | 19.615 | 20.105 | 20.608 | 21.123 | 21.651 | 22.192 | 22.747 |
| PP3 | 1.576 | 1.610 | 3.351 | 3.435 | 3.530 | 3.616 | 3.705 | 3.794 | 3.885 | 3.977 | 4.071 | 4.166 | 4.273 | 4.381 | 4.492 | 4.604 | 4.719 | 4.837 | 4.958 | 5.082 | 5.209 | 5.340 | 5.473 | 5.610 | 5.750 | 5.894 | 6.041 | 6.192 | 6.347 | 6.506 | 6.668 | 6.835 |
| PP4 | 6.847 | 6.974 | 4.943 | 5.053 | 5.156 | 5.269 | 5.383 | 5.499 | 5.616 | 5.735 | 5.855 | 5.976 | 6.129 | 6.285 | 6.443 | 6.604 | 6.769 | 6.938 | 7.112 | 7.289 | 7.472 | 7.658 | 7.850 | 8.046 | 8.247 | 8.453 | 8.665 | 8.881 | 9.103 | 9.331 | 9.564 | 9.803 |
| PP5 | 2.466 | 2.517 | 4.559 | 4.667 | 4.755 | 4.866 | 4.978 | 5.091 | 5.207 | 5.323 | 5.442 | 5.561 | 5.704 | 5.849 | 5.997 | 6.147 | 6.300 | 6.458 | 6.619 | 6.785 | 6.954 | 7.128 | 7.306 | 7.489 | 7.676 | 7.868 | 8.065 | 8.266 | 8.473 | 8.685 | 8.902 | 9.125 |
| PP6 | 14.362 | 14.650 | 14.212 | 14.553 | 15.232 | 15.593 | 15.960 | 16.332 | 16.709 | 17.092 | 17.480 | 17.873 | 18.331 | 18.798 | 19.272 | 19.754 | 20.247 | 20.754 | 21.272 | 21.804 | 22.349 | 22.908 | 23.481 | 24.068 | 24.670 | 25.286 | 25.918 | 26.566 | 27.231 | 27.911 | 28.609 | 29.324 |

Tabela 5-3 - Projeção de eixos equivalentes por ano (em milhões)

| Taxa de Crescimento | - | 1,9% | -6,8% | 2,6% | 2,5% | 2,3% | 2,3% | 2,5% | 1,9% | 2,2% | 2,2% | 2,4% | 2,3% | 2,5% | 2,5% | 2,8% | 2,2% | 2,5% | 2,5% | 2,8% | 2,2% | 2,5% | 2,5% | 2,8% | 2,2% | 2,5% | 2,5% | 2,8% | 2,2% | 2,5% | 2,5% | 2,8% |
|---------------------|------|------|-------|------|------|------|------|------|------|------|------|------|------|------|------|------|------|------|------|------|------|------|------|------|------|------|------|------|------|-------|-------|-------|
| EIXOS/ANO | 2021 | 2022 | 2023 | 2024 | 2025 | 2026 | 2027 | 2028 | 2029 | 2030 | 2031 | 2032 | 2033 | 2034 | 2035 | 2036 | 2037 | 2038 | 2039 | 2040 | 2041 | 2042 | 2043 | 2044 | 2045 | 2046 | 2047 | 2048 | 2049 | 2050 | 2051 | 2052 |
| PP1 | 4,92 | 5,01 | 4,16 | 4,26 | 4,34 | 4,43 | 4,53 | 4,64 | 4,72 | 4,82 | 4,93 | 5,04 | 5,16 | 5,29 | 5,42 | 5,57 | 5,70 | 5,84 | 5,98 | 6,15 | 6,29 | 6,44 | 6,61 | 6,79 | 6,94 | 7,11 | 7,29 | 7,49 | 7,66 | 7,85 | 8,05 | 8,27 |
| PP2 | 5,03 | 5,13 | 4,17 | 4,28 | 4,36 | 4,45 | 4,55 | 4,66 | 4,75 | 4,85 | 4,96 | 5,08 | 5,19 | 5,32 | 5,46 | 5,61 | 5,73 | 5,88 | 6,02 | 6,19 | 6,33 | 6,49 | 6,65 | 6,83 | 6,98 | 7,16 | 7,34 | 7,54 | 7,71 | 7,90 | 8,10 | 8,33 |
| PP3 | 0,58 | 0,59 | 1,22 | 1,26 | 1,29 | 1,32 | 1,35 | 1,39 | 1,42 | 1,45 | 1,49 | 1,52 | 1,56 | 1,60 | 1,64 | 1,69 | 1,72 | 1,77 | 1,81 | 1,86 | 1,90 | 1,95 | 2,00 | 2,05 | 2,10 | 2,15 | 2,21 | 2,27 | 2,32 | 2,37 | 2,43 | 2,50 |
| PP4 | 2,50 | 2,55 | 1,80 | 1,85 | 1,88 | 1,92 | 1,96 | 2,01 | 2,05 | 2,09 | 2,14 | 2,19 | 2,24 | 2,29 | 2,35 | 2,42 | 2,47 | 2,53 | 2,60 | 2,67 | 2,73 | 2,80 | 2,87 | 2,94 | 3,01 | 3,09 | 3,16 | 3,25 | 3,32 | 3,41 | 3,49 | 3,59 |
| PP5 | 0,90 | 0,92 | 1,66 | 1,71 | 1,74 | 1,78 | 1,82 | 1,86 | 1,90 | 1,94 | 1,99 | 2,04 | 2,08 | 2,13 | 2,19 | 2,25 | 2,30 | 2,36 | 2,42 | 2,48 | 2,54 | 2,60 | 2,67 | 2,74 | 2,80 | 2,87 | 2,94 | 3,03 | 3,09 | 3,17 | 3,25 | 3,34 |
| PP6 | 5,24 | 5,35 | 5,19 | 5,33 | 5,56 | 5,69 | 5,83 | 5,98 | 6,10 | 6,24 | 6,38 | 6,54 | 6,69 | 6,86 | 7,03 | 7,23 | 7,39 | 7,58 | 7,76 | 7,98 | 8,16 | 8,36 | 8,57 | 8,81 | 9,00 | 9,23 | 9,46 | 9,72 | 9,94 | 10,19 | 10,44 | 10,73 |



6. Dimensionamento de elementos de engenharia

6.1. Dimensionamento do número de cabines

Para o dimensionamento das cabines de pedágio, foi aplicado um método baseado na teoria das filas, segundo modelo M/D/n. Com o modelo M/D/n, é possível dimensionar o número n de cabines de atendimento necessárias, considerando uma taxa aproximadamente constante de atendimento "D" e uma taxa de chegada "M" de veículos aleatória, segundo uma distribuição de probabilidades exponencial negativa, em função do fluxo de tráfego no local.

Para a obtenção dos volumes de projeto adotou-se, como premissa, 0,92 como a taxa de fluxo de pico que ocorre dentro da hora pico (FHP) e fração do VDMA correspondente à hora-pico de 10,0% (fator K preconizado pelo Manual de Estudos de Tráfego do DNIT). Portanto, as seguintes premissas foram utilizadas:

- ✓ Fator k = 10,0%;
- ✓ FHP = 0.92;
- ✓ Adesão inicial de 20% dos veículos de passeio e 60% dos veículos comerciais ao sistema de cobrança automática (AVI);
- Adesão final de 60% dos veículos de passeio e 90% dos veículos comerciais ao sistema de cobrança automática (AVI);
- ✓ Tempo de evolução para a adesão máxima = 9 anos;
- ✓ Produtividade de atendimento ao veículo leve das cabines manuais = 240 veículos/hora;
- ✓ Produtividade de atendimento ao veículo pesado das cabines manuais = 140 veículos/hora:
- ✓ Produtividade de atendimento das cabines automáticas (AVI) = 850 veículos/hora.
- Mínimo de cabines por praça igual a 5, sendo:
- 1 mistas (uma por sentido);
- 1 AVI (uma por sentido);
- 1 reversível.

Utilizando as premissas acima, temos a seguinte configuração de cabines por praça:

- ✓ PP1: 7 cabines
- ✓ PP2: 7 cabines
- ✓ PP3: 5 cabines
- ✓ PP4: 5 cabines
- ✓ PP5: 5 cabines
- ✓ PP6: 7 cabines

6.2. Dados brutos dos postos de contagem

Tabela 6-1 - Dados brutos dos postos de contagem

| | | | | CONTAC | SEM VOLUMI | ÉΤRICΔ | | | | SSEIC | | | NIBUS | | o ooma, | <u> </u> | | | | | | C | AMINHÕE | s | | | | | | | | I _M | oto T | Total |
|------------|-------|---------------|-------|-----------|------------|---------|-------------------------|----------|-----|-------|----|----|-------|---|---------|----------|-----|-------|-------|-----|-----|----|---------|----|-----|-----|--------|-------|-----|-----|-------|----------------|-------------------------|-------|
| DATA | MÊS | DIA DA SEMANA | POSTO | ROD | KM | SENTIDO | SENT_N | Tipo (h) | 2E | 3E | 4E | | 3C | | 2C (16) | 2C (22) | 3C | 4C 2S | 2 253 | 213 | 2J3 | | 3S3 4S3 | | 3J3 | 3T4 | 3T6 20 | 2 2C3 | 3C2 | 3C3 | 3D4 3 | | | Total |
| 13/06/2021 | Junho | domingo | 1 | MS-112 | km 122 | N | Inocência - Cassilândia | 24h | 258 | 10 | 1 | 1 | 0 | 0 | 6 | 13 | 20 | 4 0 | 0 | 0 | 0 | 0 | 17 2 | 1 | 0 | 6 | 1 (| | 1 | 0 | 0 | | | 381 |
| 14/06/2021 | Junho | segunda-feira | 1 | MS-112 | km 122 | N | Inocência - Cassilândia | 24h | 280 | 11 | 0 | 6 | 3 | 0 | 15 | 19 | 38 | 7 1 | 4 | 0 | 0 | 0 | 17 6 | 4 | 0 | 16 | 1 (| - | 2 | 0 | 0 | | | 483 |
| 15/06/2021 | Junho | terça-feira | 1 | MS-112 | km 122 | N | Inocência - Cassilândia | 24h | 261 | 6 | 2 | 6 | 0 | 0 | 7 | 18 | 45 | 7 4 | 1 | 0 | 0 | 0 | 9 5 | 5 | 0 | 13 | 4 (| | 3 | 0 | 0 | | - | 451 |
| 16/06/2021 | Junho | quarta-feira | 1 | MS-112 | km 122 | N | Inocência - Cassilândia | 24h | 241 | 8 | 1 | 9 | 0 | 0 | 21 | 19 | 31 | 6 2 | 2 | 0 | 0 | 5 | 22 1 | 5 | 0 | 19 | 1 (| - | 3 | 0 | 0 | | | 454 |
| 17/06/2021 | Junho | quinta-feira | 1 | MS-112 | km 122 | N | Inocência - Cassilândia | 24h | 237 | 6 | 0 | 6 | 0 | 0 | 18 | 23 | 44 | 0 1 | 2 | 1 | 0 | 6 | 16 1 | 5 | 0 | 15 | 0 0 | - | 2 | 0 | 0 | | | 421 |
| 18/06/2021 | Junho | sexta-feira | 1 | MS-112 | km 122 | N | Inocência - Cassilândia | 24h | 275 | 5 | 1 | 2 | 2 | 0 | 18 | 23 | 27 | 4 3 | 2 | 0 | 0 | 3 | 23 1 | 4 | 0 | 10 | 0 0 | + | 2 | 1 | 0 | | | 464 |
| 19/06/2021 | Junho | sábado | 1 | MS-112 | km 122 | N | Inocência - Cassilândia | 24h | 319 | 5 | 1 | 6 | 0 | 0 | 12 | 22 | 25 | 3 0 | 3 | 0 | 0 | 5 | 18 3 | 3 | 0 | 3 | 1 (| - | 0 | 0 | 1 | | | 475 |
| 13/06/2021 | Junho | domingo | 1 | MS-112 | km 122 | s | Cassilândia - Inocência | 24h | 228 | 10 | 1 | 9 | 0 | 0 | 6 | 18 | 23 | 2 0 | 3 | 0 | 1 | 0 | 13 1 | 5 | 0 | 3 | 5 (| 0 | 0 | 0 | 0 | | | 375 |
| 14/06/2021 | Junho | segunda-feira | 1 | MS-112 | km 122 | s | Cassilândia - Inocência | 24h | 251 | 10 | 0 | 6 | 1 | 0 | 14 | 15 | 38 | 5 2 | 1 | 0 | 1 | 1 | 7 0 | 0 | 0 | 7 | 3 (| 0 | 2 | 0 | 0 | 1 (| | 404 |
| 15/06/2021 | Junho | terça-feira | 1 | MS-112 | km 122 | S | Cassilândia - Inocência | 24h | 250 | 8 | 1 | 7 | 0 | 0 | 9 | 18 | 41 | 3 4 | 3 | 0 | 0 | 3 | 11 0 | 3 | 0 | 7 | 0 0 | 0 | 3 | 1 | 0 | 3 4 | 48 | 423 |
| 16/06/2021 | Junho | quarta-feira | 1 | MS-112 | km 122 | s | Cassilândia - Inocência | 24h | 251 | 9 | 1 | 8 | 0 | 0 | 14 | 15 | 43 | 7 2 | 3 | 0 | 0 | 4 | 17 2 | 5 | 0 | 5 | 0 0 | 0 | 2 | 1 | 0 | 4 4 | 43 4 | 436 |
| 17/06/2021 | Junho | quinta-feira | 1 | MS-112 | km 122 | S | Cassilândia - Inocência | 24h | 274 | 5 | 1 | 6 | 0 | 0 | 22 | 22 | 50 | 2 1 | 3 | 0 | 1 | 6 | 9 2 | 7 | 0 | 11 | 1 (| 0 | 0 | 0 | 0 | 8 4 | 42 | 473 |
| 18/06/2021 | Junho | sexta-feira | 1 | MS-112 | km 122 | S | Cassilândia - Inocência | 24h | 302 | 7 | 1 | 1 | 2 | 0 | 19 | 23 | 29 | 3 3 | 5 | 0 | 0 | 3 | 19 1 | 4 | 1 | 8 | 1 1 | 0 | 3 | 1 | 0 | 9 4 | 48 | 494 |
| 19/06/2021 | Junho | sábado | 1 | MS-112 | km 122 | S | Cassilândia - Inocência | 24h | 305 | 7 | 1 | 4 | 0 | 0 | 14 | 16 | 34 | 1 0 | 2 | 0 | 0 | 7 | 14 2 | 9 | 0 | 12 | 1 (| 0 | 2 | 0 | 0 | 1 ? | 32 | 464 |
| 14/06/2021 | Junho | segunda-feira | 2 | BR-158/MS | km 88 | N | Paranaíba - Cassilândia | 24h | 837 | 16 | 0 | 5 | 7 | 1 | 40 | 46 | 106 | 31 12 | 29 | 1 | 1 | 5 | 206 29 | 62 | 2 | 228 | 44 1 | 0 | 2 | 2 | 0 | 107 4 | 42 1 | 1.862 |
| 15/06/2021 | Junho | terça-feira | 2 | BR-158/MS | km 88 | N | Paranaíba - Cassilândia | 24h | 842 | 18 | 0 | 3 | 5 | 1 | 51 | 39 | 153 | 55 16 | 32 | 2 | 0 | 15 | 322 55 | 63 | 5 | 236 | 80 0 | 0 | 1 | 3 | 1 | 110 4 | 42 2 | 2.150 |
| 16/06/2021 | Junho | quarta-feira | 2 | BR-158/MS | km 88 | N | Paranaíba - Cassilândia | 24h | 744 | 7 | 4 | 6 | 8 | 1 | 52 | 46 | 166 | 51 9 | 29 | 2 | 6 | 7 | 341 29 | 79 | 9 | 244 | 91 (| 1 | 2 | 1 | 1 | 147 3 | 31 2 | 2.114 |
| 17/06/2021 | Junho | quinta-feira | 2 | BR-158/MS | km 88 | N | Paranaíba - Cassilândia | 24h | 727 | 13 | 4 | 10 | 6 | 1 | 46 | 50 | 157 | 47 17 | 34 | 4 | 0 | 12 | 367 46 | 83 | 4 | 226 | 115 | 0 | 1 | 2 | 1 | 135 3 | 31 2 | 2.139 |
| 18/06/2021 | Junho | sexta-feira | 2 | BR-158/MS | km 88 | N | Paranaíba - Cassilândia | 24h | 813 | 19 | 2 | 6 | 5 | 1 | 55 | 12 | 117 | 35 11 | 25 | 4 | 0 | 2 | 256 40 | 60 | 7 | 194 | 101 0 | 0 | 0 | 3 | 1 | 128 4 | 43 1 | 1.940 |
| 19/06/2021 | Junho | sábado | 2 | BR-158/MS | km 88 | N | Paranaíba - Cassilândia | 24h | 750 | 5 | 2 | 6 | 3 | 1 | 52 | 15 | 98 | 52 20 | 28 | 2 | 0 | 6 | 343 46 | 79 | 3 | 155 | 89 (| 0 | 0 | 3 | 3 | 118 4 | 42 1 | 1.921 |
| 20/06/2021 | Junho | domingo | 2 | BR-158/MS | km 88 | N | Paranaíba - Cassilândia | 24h | 681 | 14 | 2 | 3 | 4 | 1 | 22 | 25 | 132 | 31 12 | 46 | 3 | 1 | 16 | 348 57 | 81 | 3 | 262 | 115 (| 0 | 1 | 1 | 0 | 129 4 | 46 2 | 2.036 |
| 14/06/2021 | Junho | segunda-feira | 2 | BR-158/MS | km 88 | S | Cassilândia - Paranaíba | 24h | 614 | 12 | 2 | 4 | 6 | 0 | 37 | 35 | 107 | 29 8 | 20 | 0 | 0 | 3 | 244 23 | 46 | 4 | 149 | 82 0 | 0 | 1 | 1 | 1 | 102 3 | 31 1 | 1.561 |
| 15/06/2021 | Junho | terça-feira | 2 | BR-158/MS | km 88 | S | Cassilândia - Paranaíba | 24h | 695 | 10 | 5 | 8 | 6 | 1 | 41 | 41 | 129 | 31 15 | 43 | 2 | 1 | 19 | 258 26 | 66 | 2 | 197 | 81 0 | 0 | 1 | 1 | 1 | 107 3 | 30 1 | 1.817 |
| 16/06/2021 | Junho | quarta-feira | 2 | BR-158/MS | km 88 | S | Cassilândia - Paranaíba | 24h | 731 | 7 | 1 | 6 | 5 | 1 | 46 | 42 | 158 | 35 11 | 32 | 3 | 2 | 14 | 331 33 | 75 | 2 | 211 | 90 0 | 0 | 0 | 4 | 0 | 108 3 | 37 1 | 1.985 |
| 17/06/2021 | Junho | quinta-feira | 2 | BR-158/MS | km 88 | S | Cassilândia - Paranaíba | 24h | 739 | 13 | 1 | 10 | 5 | 1 | 61 | 41 | 167 | 29 12 | 40 | 0 | 0 | 14 | 326 34 | 57 | 2 | 267 | 116 | 1 | 0 | 0 | 1 | 104 3 | 36 2 | 2.077 |
| 18/06/2021 | Junho | sexta-feira | 2 | BR-158/MS | km 88 | S | Cassilândia - Paranaíba | 24h | 901 | 15 | 1 | 5 | 5 | 1 | 77 | 40 | 122 | 33 4 | 38 | 1 | 5 | 5 | 277 41 | 92 | 4 | 192 | 93 1 | 0 | 2 | 1 | 1 | 92 4 | 41 2 | 2.090 |
| 19/06/2021 | Junho | sábado | 2 | BR-158/MS | km 88 | S | Cassilândia - Paranaíba | 24h | 720 | 13 | 0 | 7 | 4 | 1 | 45 | 22 | 105 | 49 14 | 43 | 1 | 2 | 6 | 310 42 | 92 | 9 | 169 | 98 1 | 0 | 2 | 0 | 0 | 91 4 | 1 5 1 | 1.891 |
| 20/06/2021 | Junho | domingo | 2 | BR-158/MS | km 88 | S | Cassilândia - Paranaíba | 24h | 658 | 14 | 0 | 8 | 9 | 0 | 18 | 20 | 90 | 61 7 | 26 | 2 | 0 | 7 | 328 23 | 60 | 1 | 110 | 99 1 | 0 | 0 | 0 | 1 | 131 3 | 32 1 | 1.706 |
| 21/06/2021 | Junho | segunda-feira | 3 | MS-112 | km 5 | N | BR-158 - Selvíria | 24h | 348 | 2 | 0 | 10 | 0 | 0 | 14 | 8 | 44 | 4 4 | 0 | 1 | 0 | 6 | 16 2 | 0 | 0 | 14 | 62 (| 0 | 0 | 0 | 1 | 10 | 8 | 554 |
| 22/06/2021 | Junho | terça-feira | 3 | MS-112 | km 5 | N | BR-158 - Selvíria | 24h | 352 | 5 | 0 | 3 | 0 | 0 | 19 | 10 | 36 | 3 10 | 2 | 0 | 0 | 13 | 19 2 | 2 | 1 | 12 | 60 0 | 0 | 3 | 0 | 0 | 9 1 | 18 | 579 |
| 23/06/2021 | Junho | quarta-feira | 3 | MS-112 | km 5 | N | BR-158 - Selvíria | 24h | 303 | 5 | 0 | 6 | 0 | 0 | 13 | 20 | 40 | 3 3 | 0 | 0 | 0 | 5 | 17 0 | 2 | 0 | 28 | 61 0 | 0 | 1 | 0 | 1 | 18 (| 6 | 532 |
| 24/06/2021 | Junho | quinta-feira | 3 | MS-112 | km 5 | N | BR-158 - Selvíria | 24h | 283 | 6 | 0 | 8 | 0 | 0 | 9 | 17 | 38 | 8 2 | 1 | 0 | 0 | 6 | 23 1 | 1 | 0 | 22 | 65 0 | 0 | 1 | 0 | 0 | 12 | 7 | 510 |
| 25/06/2021 | Junho | sexta-feira | 3 | MS-112 | km 5 | N | BR-158 - Selvíria | 24h | 332 | 10 | 0 | 6 | 1 | 0 | 16 | 9 | 39 | 4 0 | 1 | 2 | 0 | 3 | 21 0 | 4 | 0 | 20 | 50 0 | 0 | 0 | 0 | 0 | 9 8 | 8 | 535 |
| 26/06/2021 | Junho | sábado | 3 | MS-112 | km 5 | N | BR-158 - Selvíria | 24h | 266 | 10 | 0 | 5 | 0 | 1 | 8 | 7 | 37 | 1 3 | 3 | 0 | 0 | 7 | 20 0 | 8 | 1 | 11 | 57 (| 0 | 1 | 0 | 0 | 18 1 | 14 | 478 |
| 27/06/2021 | Junho | domingo | 3 | MS-112 | km 5 | N | BR-158 - Selvíria | 24h | 203 | 5 | 0 | 3 | 0 | 0 | 2 | 5 | 17 | 8 1 | 3 | 0 | 0 | 2 | 10 7 | 5 | 0 | 29 | 55 (| 0 | 0 | 0 | 0 | 10 1 | 14 : | 379 |
| 21/06/2021 | Junho | segunda-feira | 3 | MS-112 | km 5 | S | Selvíria - BR-158 | 24h | 274 | 4 | 1 | 6 | 0 | 0 | 7 | 8 | 42 | 6 4 | 1 | 0 | 0 | 3 | 13 2 | 0 | 0 | 12 | 54 (| 0 | 0 | 0 | 0 | 9 1 | 14 4 | 460 |
| 22/06/2021 | Junho | terça-feira | 3 | MS-112 | km 5 | S | Selvíria - BR-158 | 24h | 262 | 7 | 0 | 6 | 0 | 0 | 17 | 14 | 47 | 2 6 | 1 | 0 | 0 | 15 | 17 1 | 1 | 1 | 12 | 68 (| 0 | 5 | 1 | 0 | 9 1 | 12 | 504 |
| 23/06/2021 | Junho | quarta-feira | 3 | MS-112 | km 5 | S | Selvíria - BR-158 | 24h | 306 | 1 | 1 | 4 | 0 | 0 | 11 | 14 | 34 | 6 1 | 0 | 0 | 0 | 6 | 13 1 | 5 | 0 | 19 | 54 0 | 0 | 0 | 0 | 0 | 6 9 | 9 4 | 491 |
| 24/06/2021 | Junho | quinta-feira | 3 | MS-112 | km 5 | S | Selvíria - BR-158 | 24h | 305 | 5 | 0 | 8 | 0 | 0 | 11 | 17 | 38 | 6 5 | 1 | 0 | 0 | 8 | 25 2 | 10 | 0 | 16 | 71 (| 2 | 3 | 0 | 0 | 16 | - | 554 |
| 25/06/2021 | Junho | sexta-feira | 3 | MS-112 | km 5 | s | Selvíria - BR-158 | 24h | 362 | 9 | 1 | 6 | 0 | 0 | 17 | 12 | 59 | 4 2 | 1 | 0 | 0 | 2 | 14 1 | 11 | 0 | 11 | 56 | 0 | 0 | 0 | 0 | 11 1 | 15 | 594 |



Escritório de Parcerias Estratégicas

rio de Secretaria de Estado égicas de Infraestrutura

| | | | | CONTA | GEM VOLUMÉ | ÉTRICA | | | PA | SSEIO | | ĵ) | NIBUS | | | | | | | | | | CAMINH | ÕES | | | | | | | | | М | oto T | otal |
|------------|-------|---------------|-------|-----------|------------|---------|----------------------------------|----------|-------|-------|----|----|-------|------|--------|---------|-----|------|--------|-------|-------|-----|--------|------|--------|------|-------|-------|-----|-----|-----|-----|-------|---------------|------|
| DATA | MÊS | DIA DA SEMANA | POSTO | ROD | KM | SENTIDO | SENT_N | Tipo (h) | 2E | 3E | 4E | 2C | 3C 4 | IC 2 | C (16) | 2C (22) | 3C | 4C 2 | 282 28 | S3 2I | 3 2J3 | 3S2 | 3S3 4 | S3 : | 313 3. | J3 3 | T4 3T | 6 2C2 | 2C3 | 3C2 | 3C3 | 3D4 | 3D6 M | oto T | otal |
| 26/06/2021 | Junho | sábado | 3 | MS-112 | km 5 | S | Selvíria - BR-158 | 24h | 271 | 3 | 0 | 5 | 0 | 0 | 6 | 11 | 34 | 3 | 1 ; | 3 0 | 0 | 4 | 16 | 0 | 5 | 1 | 5 50 | 0 | 0 | 0 | 0 | 0 | 6 | 6 4 | 430 |
| 27/06/2021 | Junho | domingo | 3 | MS-112 | km 5 | S | Selvíria - BR-158 | 24h | 249 | 8 | 0 | 4 | 0 | 0 | 5 | 6 | 21 | 3 | 3 2 | 2 0 | 0 | 5 | 13 | 0 | 2 | 1 | 6 48 | 0 | 0 | 0 | 0 | 0 | 0 2 | 20 3 | 396 |
| 14/06/2021 | Junho | segunda-feira | 4 | BR-158/MS | km 141 | N | Aparecida do Taboado - Paranaíba | 24h | 1.170 | 13 | 1 | 5 | 6 | 0 | 53 | 25 | 152 | 50 | 13 3 | 0 3 | 1 | 11 | 190 | 31 | 75 | 3 2 | 06 55 | 0 | 0 | 1 | 1 | 0 | 119 6 | 66 2. | .280 |
| 15/06/2021 | Junho | terça-feira | 4 | BR-158/MS | km 141 | N | Aparecida do Taboado - Paranaíba | 24h | 1.065 | 19 | 5 | 4 | 6 | 1 | 65 | 25 | 187 | 68 | 16 4 | 1 2 | 0 | 12 | 295 | 57 | 63 | 6 2 | 33 85 | 0 | 0 | 0 | 3 | 0 | 110 3 | 39 2 . | .407 |
| 16/06/2021 | Junho | quarta-feira | 4 | BR-158/MS | km 141 | N | Aparecida do Taboado - Paranaíba | 24h | 1.026 | 10 | 6 | 7 | 6 | 2 | 65 | 48 | 165 | 67 | 17 3 | 6 4 | 3 | 12 | 314 | 49 | 99 | 4 2 | 56 89 | 1 | 0 | 3 | 0 | 0 | 137 4 | 14 2 . | .470 |
| 17/06/2021 | Junho | quinta-feira | 4 | BR-158/MS | km 141 | N | Aparecida do Taboado - Paranaíba | 24h | 1.048 | 12 | 1 | 8 | 6 | 1 | 81 | 28 | 175 | 53 | 11 3 | 8 3 | 1 | 10 | 320 | 56 | 74 | 5 2 | 39 10 | 5 0 | 0 | 2 | 2 | 0 | 156 5 | 56 2. | .491 |
| 18/06/2021 | Junho | sexta-feira | 4 | BR-158/MS | km 141 | N | Aparecida do Taboado - Paranaíba | 24h | 1.189 | 19 | 1 | 6 | 7 | 2 | 57 | 21 | 135 | 46 | 9 2 | 7 2 | 0 | 7 | 254 | 36 | 70 | 2 1 | 83 99 | 1 | 0 | 1 | 2 | 0 | 134 5 | 52 2 . | .362 |
| 19/06/2021 | Junho | sábado | 4 | BR-158/MS | km 141 | N | Aparecida do Taboado - Paranaíba | 24h | 1.035 | 18 | 1 | 9 | 5 | 1 | 71 | 30 | 125 | 57 | 18 3 | 6 3 | 1 | 10 | 324 | 46 | 73 | 6 1 | 50 79 | 0 | 0 | 0 | 4 | 1 | 109 6 | 61 2. | .273 |
| 20/06/2021 | Junho | domingo | 4 | BR-158/MS | km 141 | N | Aparecida do Taboado - Paranaíba | 24h | 957 | 9 | 2 | 4 | 3 | 1 | 33 | 16 | 92 | 32 | 11 4 | 1 8 | 0 | 15 | 289 | 71 | 73 | 3 2 | 70 10 | 1 0 | 0 | 1 | 0 | 0 | 117 4 | 46 2. | .195 |
| 14/06/2021 | Junho | segunda-feira | 4 | BR-158/MS | km 141 | S | Paranaíba - Aparecida do Taboado | 24h | 940 | 14 | 0 | 3 | 7 | 1 | 51 | 16 | 115 | 36 | 19 3 | 4 6 | 0 | 9 | 191 | 24 | 46 | 1 1 | 46 56 | 0 | 0 | 1 | 0 | 0 | 98 5 | 55 1. | .869 |
| 15/06/2021 | Junho | terça-feira | 4 | BR-158/MS | km 141 | S | Paranaíba - Aparecida do Taboado | 24h | 951 | 13 | 5 | 6 | 5 | 1 | 63 | 22 | 142 | 38 | 11 4 | 1 2 | 0 | 13 | 203 | 39 | 76 | 3 2 | 08 71 | 3 | 0 | 0 | 0 | 0 | 118 4 | 43 2 . | .077 |
| 16/06/2021 | Junho | quarta-feira | 4 | BR-158/MS | km 141 | S | Paranaíba - Aparecida do Taboado | 24h | 986 | 9 | 1 | 5 | 4 | 2 | 78 | 33 | 160 | 46 | 18 4 | 4 3 | 2 | 12 | 288 | 41 | 78 | 2 2 | 09 84 | . 0 | 0 | 0 | 3 | 0 | 104 4 | 46 2. | .258 |
| 17/06/2021 | Junho | quinta-feira | 4 | BR-158/MS | km 141 | S | Paranaíba - Aparecida do Taboado | 24h | 1.054 | 12 | 1 | 5 | 5 | 1 | 82 | 25 | 165 | 39 | 14 5 | 2 1 | 2 | 16 | 275 | 51 | 58 | 6 2 | 56 89 | 0 | 0 | 1 | 1 | 0 | 90 4 | 45 2 . | .346 |
| 18/06/2021 | Junho | sexta-feira | 4 | BR-158/MS | km 141 | S | Paranaíba - Aparecida do Taboado | 24h | 1.272 | 20 | 1 | 2 | 6 | 1 | 85 | 29 | 128 | 41 | 4 4 | 3 2 | 5 | 12 | 247 | 36 | 94 | 5 1 | 82 82 | 1 | 0 | 2 | 0 | 0 | 98 4 | 48 2 . | .446 |
| 19/06/2021 | Junho | sábado | 4 | BR-158/MS | km 141 | S | Paranaíba - Aparecida do Taboado | 24h | 966 | 19 | 1 | 8 | 4 | 1 | 65 | 19 | 86 | 46 | 9 4 | 8 1 | 2 | 9 | 251 | 14 | 91 1 | 0 1 | 68 87 | 0 | 0 | 2 | 0 | 0 | 75 5 | 52 2 . | .064 |
| 20/06/2021 | Junho | domingo | 4 | BR-158/MS | km 141 | S | Paranaíba - Aparecida do Taboado | 24h | 979 | 13 | 1 | 11 | 5 | 1 | 30 | 10 | 85 | 59 | 10 2 | 8 6 | 0 | 6 | 246 | 17 | 56 | 0 1 | 19 83 | 0 | 0 | 1 | 0 | 0 | 138 5 | 50 1. | .954 |
| 21/06/2021 | Junho | segunda-feira | 5 | BR-158/MS | km 187 | S | Aparecida do Tabuado - Selvíria | 24h | 351 | 7 | 1 | 13 | 1 | 0 | 23 | 11 | 50 | 6 | 5 8 | в 0 | 0 | 7 | 48 | 4 | 12 | 4 5 | 57 22 | 6 2 | 0 | 0 | 0 | 1 | 23 1 | 12 8 | 872 |
| 22/06/2021 | Junho | terça-feira | 5 | BR-158/MS | km 187 | S | Aparecida do Tabuado - Selvíria | 24h | 307 | 8 | 0 | 10 | 2 | 0 | 28 | 17 | 53 | 12 | 6 8 | в 0 | 0 | 10 | 71 | 6 | 12 | 2 4 | 18 25 | 1 0 | 0 | 2 | 0 | 0 | 10 1 | 17 8 | 880 |
| 23/06/2021 | Junho | quarta-feira | 5 | BR-158/MS | km 187 | S | Aparecida do Tabuado - Selvíria | 24h | 364 | 10 | 1 | 14 | 1 | 0 | 26 | 9 | 60 | 12 | 1 8 | B 1 | 0 | 4 | 55 | 16 | 19 | 4 6 | 52 23 | 3 0 | 0 | 0 | 2 | 0 | 22 1 | 17 9 | 941 |
| 24/06/2021 | Junho | quinta-feira | 5 | BR-158/MS | km 187 | S | Aparecida do Tabuado - Selvíria | 24h | 358 | 14 | 1 | 10 | 2 | 0 | 28 | 8 | 41 | 11 | 4 (| 6 2 | 1 | 4 | 61 | 10 | 18 | 2 8 | 34 23 | 9 0 | 0 | 0 | 0 | 0 | 27 1 | 14 9 | 945 |
| 25/06/2021 | Junho | sexta-feira | 5 | BR-158/MS | km 187 | S | Aparecida do Tabuado - Selvíria | 24h | 425 | 15 | 2 | 13 | 1 | 0 | 33 | 9 | 44 | 5 | 3 | 7 0 | 0 | 7 | 74 | 9 | 14 | 1 7 | 79 21 | 6 0 | 0 | 1 | 0 | 10 | 30 1 | 17 1 . | .015 |
| 26/06/2021 | Junho | sábado | 5 | BR-158/MS | km 187 | S | Aparecida do Tabuado - Selvíria | 24h | 358 | 11 | 0 | 10 | 0 | 0 | 7 | 5 | 31 | 7 | 3 ; | 3 2 | 0 | 2 | 56 | 8 | 16 | 2 6 | 60 24 | 6 0 | 0 | 0 | 1 | 7 | 33 2 | 28 8 | 896 |
| 27/06/2021 | Junho | domingo | 5 | BR-158/MS | km 187 | S | Aparecida do Tabuado - Selvíria | 24h | 361 | 13 | 2 | 11 | 3 | 0 | 6 | 1 | 37 | 8 | 3 (| 6 0 | 0 | 3 | 49 | 4 | 12 | 4 5 | 51 24 | 3 0 | 0 | 4 | 1 | 11 | 31 1 | 14 8 | 878 |
| 21/06/2021 | Junho | segunda-feira | 5 | BR-158/MS | km 187 | N | Selvíria - Aparecida do Tabuado | 24h | 363 | 10 | 1 | 13 | 1 | 0 | 25 | 6 | 38 | 13 | 3 2 | 2 0 | 0 | 8 | 38 | 22 | 8 | 3 8 | 33 24 | 5 0 | 0 | 2 | 1 | 2 | 32 1 | 13 9 | 932 |
| 22/06/2021 | Junho | terça-feira | 5 | BR-158/MS | km 187 | N | Selvíria - Aparecida do Tabuado | 24h | 349 | 7 | 0 | 11 | 1 | 0 | 30 | 12 | 59 | 10 | 5 8 | В 0 | 0 | 9 | 65 | 10 | 13 | 1 8 | 39 25 | 2 1 | 0 | 0 | 0 | 0 | 26 1 | 14 9 | 972 |
| 23/06/2021 | Junho | quarta-feira | 5 | BR-158/MS | km 187 | N | Selvíria - Aparecida do Tabuado | 24h | 399 | 10 | 1 | 14 | 0 | 0 | 39 | 10 | 63 | 8 | 4 | 5 2 | 0 | 4 | 60 | 13 | 14 | 4 8 | 32 23 | 7 0 | 1 | 0 | 0 | 0 | 19 1 | 14 1. | .003 |
| 24/06/2021 | Junho | quinta-feira | 5 | BR-158/MS | km 187 | N | Selvíria - Aparecida do Tabuado | 24h | 352 | 14 | 0 | 9 | 3 | 0 | 24 | 7 | 54 | 12 | 1 8 | B 1 | 0 | 3 | 53 | 16 | 20 | 3 8 | 35 24 | 3 0 | 0 | 0 | 1 | 1 | 27 1 | 16 9 | 958 |
| 25/06/2021 | Junho | sexta-feira | 5 | BR-158/MS | km 187 | N | Selvíria - Aparecida do Tabuado | 24h | 389 | 16 | 2 | 15 | 1 | 0 | 20 | 9 | 49 | 9 | 3 ; | 3 1 | 0 | 7 | 63 | 24 | 18 | 4 6 | 66 20 | 3 0 | 0 | 1 | 0 | 11 | 17 1 | 16 9 | 947 |
| 26/06/2021 | Junho | sábado | 5 | BR-158/MS | km 187 | N | Selvíria - Aparecida do Tabuado | 24h | 349 | 14 | 0 | 9 | 3 | 0 | 8 | 4 | 43 | 4 | 3 | 7 5 | 0 | 6 | 28 | 15 | 8 | 4 6 | 66 26 | 0 0 | 0 | 0 | 1 | 7 | 34 2 | 26 9 | 904 |
| 27/06/2021 | Junho | domingo | 5 | BR-158/MS | km 187 | N | Selvíria - Aparecida do Tabuado | 24h | 377 | 12 | 0 | 11 | 0 | 0 | 6 | 2 | 20 | 10 | 3 | 7 2 | 1 | 5 | 50 | 23 | 15 | 2 8 | 37 25 | 2 0 | 0 | 1 | 0 | 11 | 39 1 | 17 9 | 953 |
| 17/06/2021 | Junho | quinta-feira | 6 | MS-434 | - | N | BR-158 - Goiás | 16h | 2 | 0 | 0 | 0 | 0 | 0 | 0 | 0 | 2 | 0 | 0 (| 0 0 | 0 | 0 | 0 | 0 | 0 | 0 | 0 0 | 0 | 0 | 0 | 0 | 0 | 0 | 1 | 5 |
| 17/06/2021 | Junho | quinta-feira | 6 | MS-434 | - | S | Goiás - BR-158 | 16h | 5 | 0 | 0 | 0 | 0 | 0 | 0 | 1 | 1 | 0 | 0 (| 0 0 | 0 | 0 | 0 | 0 | 0 | 0 | 0 0 | 0 | 0 | 0 | 0 | 0 | 0 | 1 | 8 |
| 18/06/2021 | Junho | sexta-feira | 7 | BR-483/MS | - | N | Paranaíba - Itajá | 16h | 64 | 1 | 0 | 0 | 0 | 0 | 2 | 1 | 8 | 0 | 0 (| 0 0 | 0 | 0 | 0 | 0 | 0 | 0 | 0 0 | 0 | 0 | 0 | 0 | 0 | 1 1 | 16 | 93 |
| 18/06/2021 | Junho | sexta-feira | 7 | BR-483/MS | - | S | Itajá - Paranaíba | 16h | 57 | 2 | 0 | 0 | 0 | 0 | 3 | 0 | 3 | 0 | 1 (| 0 0 | 0 | 0 | 0 | 0 | 0 | 0 | 0 0 | 0 | 0 | 0 | 0 | 0 | 0 | 6 | 72 |
| 28/06/2021 | Junho | segunda-feira | 8 | MS-316 | - | N | Aparecida do Taboado - Inocência | 16h | 107 | 3 | 0 | 1 | 0 | 0 | 2 | 4 | 4 | 6 | 0 (| 0 0 | 0 | 0 | 0 | 0 | 0 | 0 | 0 0 | 0 | 0 | 0 | 0 | 0 | 0 3 | 30 1 | 157 |
| 28/06/2021 | Junho | segunda-feira | 8 | MS-316 | - | S | Inocência - Aparecida do Taboado | 16h | 103 | 3 | 0 | 3 | 0 | 0 | 0 | 3 | 3 | 6 | 0 (| 0 0 | 0 | 1 | 0 | 0 | 0 | 0 | 0 0 | 0 | 0 | 0 | 0 | 0 | 0 3 | 39 1 | 161 |
| 29/06/2021 | Junho | terça-feira | 9 | BR-158/MS | km 201 | N | Três Lagoas - Selvíria | 16h | 324 | 5 | 1 | 17 | 0 | 0 | 16 | 17 | 48 | 5 | 3 ; | 3 2 | 0 | 3 | 13 | 2 | 15 | 2 2 | 21 17 | 9 0 | 0 | 1 | 0 | 0 | 9 1 | 14 7 | 700 |
| 29/06/2021 | Junho | terça-feira | 9 | BR-158/MS | km 201 | S | Selvíria - Três Lagoas | 16h | 322 | 2 | 1 | 11 | 0 | 0 | 17 | 19 | 39 | 7 | 3 (| 6 0 | 0 | 3 | 32 | 2 | 17 | 4 3 | 30 15 | 4 0 | 0 | 0 | 4 | 0 | 11 1 | 16 7 | 700 |
| 29/06/2021 | Junho | terça-feira | 10 | BR-158/MS | km 248+500 | N | Três Lagoas - Selvíria | 16h | 874 | 7 | 0 | 51 | 1 | 0 | 32 | 30 | 93 | 16 | 5 | 7 4 | 0 | 8 | 46 | 11 | 23 | 3 5 | 55 25 | 5 0 | 0 | 4 | 1 | 0 | 29 3 | 31 1 . | .586 |
| 29/06/2021 | Junho | terça-feira | 10 | BR-158/MS | km 248+500 | S | Selvíria - Três Lagoas | 16h | 892 | 8 | 0 | 60 | 1 | 0 | 42 | 28 | 91 | 16 | 12 1 | 0 0 | 2 | 12 | 89 | 7 | 23 | 4 5 | 59 23 | 7 0 | 0 | 5 | 2 | 1 | 37 3 | 34 1. | .672 |
| 23/06/2021 | Junho | quarta-feira | 11 | MS-444 | - | S | Inocência - Ilha Solteira | 16h | 120 | 2 | 0 | 6 | 0 | 0 | 0 | 4 | 10 | 1 | 0 (| 0 0 | 0 | 4 | 2 | 0 | 0 | 0 | 0 0 | 0 | 0 | 0 | 1 | 0 | 0 1 | 16 1 | 166 |
| 23/06/2021 | Junho | quarta-feira | 11 | MS-444 | - | N | Ilha Solteira - Inocência | 16h | 113 | 3 | 0 | 5 | 0 | 0 | 1 | 7 | 10 | 0 | 0 (| 0 0 | 0 | 4 | 3 | 0 | 0 | 0 | 0 0 | 0 | 0 | 0 | 1 | 0 | 0 1 | 18 1 | 165 |



Escritório de Parcerias Estratégicas

scritório de Secretaria de Estado de Infraestrutura

| CONTAGEM VOLUMÉTRICA | | | | | | | | | | | | PASSEIO ÔNIBUS | | | | | CAMINHÕES M | | | | | | | | | | | | Moto Total | | | | | |
|----------------------|-------|---------------|-------|-----------|------------|---------|--|----------|-------|----|----|----------------|----|----|---------|---------|-------------|-----|-----|-----|--------|-------|-----|-------|-------|--------|-------|-----|------------|-----|-----|-------|------|-------|
| DATA | MÊS | DIA DA SEMANA | POSTO | ROD | КМ | SENTIDO | SENT_N | Tipo (h) | 2E | 3E | 4E | 2C | 3C | 4C | 2C (16) | 2C (22) | 3C 4C | 2S2 | 2S3 | 213 | 2J3 3S | 2 353 | 4S3 | 313 3 | 3J3 3 | 3T4 31 | Γ6 2C | 2C3 | 3 3C2 | 3C3 | 3D4 | 3D6 I | Moto | Total |
| 24/06/2021 | Junho | quinta-feira | 12 | MS-444 | - | S | Inocência - Ilha Solteira | 16h | 936 | 21 | 1 | 16 | 4 | 0 | 20 | 9 | 30 1 | 4 | 2 | 1 | 2 2 | 49 | 15 | 16 | 0 | 55 1 | 8 0 | 0 | 0 | 0 | 5 | 32 | 149 | 1.388 |
| 24/06/2021 | Junho | quinta-feira | 12 | MS-444 | | N | Ilha Solteira - Inocência | 16h | 925 | 21 | 0 | 13 | 4 | 0 | 12 | 4 | 29 5 | 5 | 4 | 0 | 0 0 | 42 | 17 | 12 | 4 | 65 1 | 7 0 | 0 | 0 | 1 | 2 | 21 | 154 | 1.357 |
| 23/06/2021 | Junho | quarta-feira | 13 | MS-310 | - | N | Paranaíba - Cassilândia | 16h | 87 | 0 | 0 | 0 | 0 | 0 | 8 | 2 | 3 0 | 0 | 0 | 0 | 0 0 | 1 | 0 | 0 | 0 | 0 (| 0 0 | 0 | 0 | 0 | 0 | 0 | 20 | 121 |
| 23/06/2021 | Junho | quarta-feira | 13 | MS-310 | - | S | Cassilândia - Paranaíba | 16h | 90 | 0 | 0 | 0 | 0 | 0 | 7 | 3 | 2 0 | 0 | 0 | 0 | 0 0 | 1 | 0 | 0 | 0 | 0 (| 0 0 | 0 | 0 | 0 | 0 | 0 | 18 | 121 |
| 23/06/2021 | Junho | quarta-feira | 14 | MS-240 | - | 0 | Paranaíba - Inocência | 16h | 275 | 0 | 0 | 3 | 0 | 0 | 14 | 18 | 39 2 | 1 | 4 | 1 | 3 3 | 28 | 2 | 9 | 1 | 15 2 | 2 0 | 0 | 0 | 0 | 0 | 35 | 14 | 469 |
| 23/06/2021 | Junho | quarta-feira | 14 | MS-240 | - | L | Inocência - Paranaíba | 16h | 265 | 0 | 0 | 6 | 0 | 0 | 20 | 10 | 49 5 | 1 | 3 | 0 | 0 4 | 24 | 14 | 12 | 0 | 21 5 | 5 0 | 0 | 0 | 0 | 0 | 59 | 18 | 516 |
| 22/06/2021 | Junho | terça-feira | 15 | MS-377 | - | S | Inocência - Água Clara | 16h | 303 | 3 | 0 | 1 | 0 | 0 | 14 | 15 | 48 6 | 12 | 6 | 0 | 1 9 | 24 | 2 | 6 | 0 | 21 3 | 5 1 | 0 | 3 | 0 | 0 | 37 | 13 | 560 |
| 22/06/2021 | Junho | terça-feira | 15 | MS-377 | - | N | Água Clara - Inocência | 16h | 286 | 2 | 0 | 8 | 0 | 0 | 10 | 14 | 50 7 | 11 | 4 | 1 | 0 1 | 30 | 10 | 14 | 0 | 23 3 | 7 0 | 0 | 3 | 0 | 0 | 58 | 16 | 597 |
| 24/06/2021 | Junho | quinta-feira | 16 | BR-497/MS | km 5 | L | Paranaíba - Carneirinho | 16h | 355 | 16 | 2 | 2 | 0 | 0 | 9 | 12 | 30 5 | 2 | 7 | 1 | 0 5 | 47 | 13 | 18 | 1 | 16 1 | 2 0 | 0 | 0 | 0 | 0 | 80 | 44 | 677 |
| 24/06/2021 | Junho | quinta-feira | 16 | BR-497/MS | km 5 | 0 | Carneirinho - Paranaíba | 16h | 350 | 10 | 0 | 1 | 0 | 0 | 11 | 6 | 25 7 | 4 | 6 | 1 | 0 3 | 43 | 10 | 8 | 1 | 25 3 | 3 0 | 0 | 0 | 0 | 0 | 48 | 44 | 606 |
| 21/06/2021 | Junho | segunda-feira | 17 | MS-112 | km 108 | S | Inocência - Selvíria | 16h | 242 | 2 | 0 | 2 | 0 | 0 | 8 | 12 | 19 4 | 7 | 1 | 0 | 0 2 | 14 | 3 | 0 | 0 | 9 3 | 6 0 | 0 | 1 | 0 | 0 | 11 | 26 | 399 |
| 21/06/2021 | Junho | segunda-feira | 17 | MS-112 | km 108 | N | Selvíria - Inocência | 16h | 321 | 5 | 1 | 5 | 0 | 0 | 12 | 19 | 29 2 | 6 | 1 | 0 | 0 4 | 11 | 3 | 0 | 0 | 11 3 | 3 0 | 0 | 0 | 0 | 0 | 11 | 27 | 501 |
| 25/06/2021 | Junho | sexta-feira | 18 | BR-436/MS | km 4 | S | Aparecida do Taboado - Santa Fé do Sul | 16h | 1.971 | 14 | 5 | 4 | 5 | 0 | 69 | 46 | 148 62 | 12 | 41 | 1 | 0 5 | 172 | 22 | 69 | 3 1 | 146 4 | 0 0 | 0 | 1 | 1 | 0 | 68 | 101 | 3.006 |
| 25/06/2021 | Junho | sexta-feira | 18 | BR-436/MS | km 4 | N | Santa Fé do Sul - Aparecida do Taboado | 16h | 1.818 | 22 | 5 | 9 | 4 | 0 | 62 | 36 | 141 70 | 11 | 39 | 3 | 0 1 | 203 | 17 | 58 | 1 1 | 116 5 | 6 0 | 0 | 1 | 1 | 0 | 65 | 93 | 2.841 |
| 16/06/2021 | Junho | quarta-feira | 19 | MS-431 | - | N | BR-158 - Lagoa Santa | 16h | 126 | 1 | 0 | 0 | 0 | 0 | 11 | 3 | 15 4 | 1 | 2 | 0 | 0 1 | 18 | 3 | 5 | 0 | 27 9 | 9 0 | 0 | 0 | 0 | 1 | 9 | 10 | 246 |
| 16/06/2021 | Junho | quarta-feira | 19 | MS-431 | - | S | Lagoa Santa - BR-158 | 16h | 132 | 2 | 0 | 0 | 0 | 0 | 15 | 5 | 17 5 | 1 | 1 | 0 | 0 0 | 21 | 0 | 2 | 0 | 21 3 | 3 0 | 0 | 0 | 0 | 0 | 3 | 8 | 236 |
| 14/06/2021 | Junho | segunda-feira | 20 | BR-158/MS | km 9 | S | Cassilândia - Paranaíba | 16h | 590 | 3 | 2 | 16 | 3 | 0 | 34 | 28 | 87 21 | 9 | 14 | 0 | 2 4 | 143 | 22 | 34 | 5 | 67 5 | 0 0 | 0 | 0 | 0 | 6 | 49 | 126 | 1.315 |
| 14/06/2021 | Junho | segunda-feira | 20 | BR-158/MS | km 9 | N | Paranaíba - Cassilândia | 16h | 763 | 5 | 1 | 17 | 4 | 0 | 36 | 24 | 98 22 | 9 | 18 | 0 | 0 1 | 100 | 18 | 32 | 8 | 77 3 | 2 1 | 1 2 | 0 | 0 | 9 | 44 | 175 | 1.511 |
| 15/06/2021 | Junho | terça-feira | 21 | GO-178 | - | N | BR-158 - Itajá | 16h | 109 | 2 | 2 | 1 | 1 | 0 | 3 | 3 | 19 7 | 1 | 3 | 0 | 0 2 | 46 | 14 | 10 | 4 | 66 2 | 7 1 | 0 | 0 | 0 | 1 | 35 | 4 | 361 |
| 15/06/2021 | Junho | terça-feira | 21 | GO-178 | - | S | Itajá - BR-158 | 16h | 96 | 0 | 0 | 0 | 2 | 0 | 7 | 15 | 32 8 | 2 | 5 | 0 | 0 1 | 63 | 16 | 20 | 0 | 81 3 | 0 0 | 0 | 0 | 0 | 2 | 36 | 5 | 421 |
| 24/06/2021 | Junho | quinta-feira | 22 | BR-158/MS | km 297+700 | N | Brasilândia - Três Lagoas | 16h | 583 | 5 | 1 | 15 | 1 | 0 | 43 | 21 | 89 10 | 8 | 7 | 0 | 0 3 | 46 | 6 | 11 | 1 | 51 15 | 53 0 | 0 | 2 | 2 | 1 | 20 | 15 | 1.094 |
| 24/06/2021 | Junho | quinta-feira | 22 | BR-158/MS | km 297+700 | S | Três Lagoas - Brasilândia | 16h | 581 | 6 | 0 | 17 | 3 | 0 | 37 | 20 | 88 9 | 6 | 11 | 1 | 0 1 | 68 | 15 | 5 | 1 | 71 16 | 60 0 | 0 | 0 | 3 | 1 | 19 | 8 | 1.131 |
| 30/06/2021 | Junho | quarta-feira | 23 | BR-262/MS | PRF | N | Três Lagoas - Água Clara | 16h | 776 | 6 | 4 | 12 | 3 | 0 | 46 | 42 | 86 15 | 14 | 31 | 1 | 3 1 | 137 | 11 | 57 | 4 | 37 26 | 69 0 | 0 | 10 | 2 | 2 | 37 | 15 | 1.634 |
| 30/06/2021 | Junho | quarta-feira | 23 | BR-262/MS | PRF | S | Água Clara - Três Lagoas | 16h | 773 | 5 | 1 | 14 | 5 | 0 | 39 | 31 | 94 26 | 10 | 25 | 2 | 5 1 | 120 | 11 | 52 | 5 | 33 27 | 78 0 | 1 | 8 | 3 | 2 | 31 | 18 | 1.603 |
| 30/06/2021 | Junho | quarta-feira | 24 | MS-320 | - | N | Três Lagoas - Água Clara | 16h | 93 | 3 | 0 | 2 | 0 | 0 | 0 | 4 | 20 1 | 0 | 0 | 0 | 0 2 | 2 | 0 | 0 | 0 | 0 4 | 1 0 | 0 | 0 | 0 | 0 | 0 | 4 | 172 |
| 30/06/2021 | Junho | quarta-feira | 24 | MS-320 | - | S | Água Clara - Três Lagoas | 16h | 101 | 3 | 0 | 3 | 0 | 0 | 0 | 7 | 13 1 | 1 | 0 | 0 | 0 0 | 3 | 0 | 0 | 0 | 0 4 | 3 0 | 0 | 0 | 0 | 0 | 0 | 6 | 181 |
| 21/06/2021 | Junho | segunda-feira | 25 | SP-595 | - | N | Ilha Solteira - Santa Fé do Sul | 16h | 475 | 11 | 2 | 11 | 0 | 0 | 26 | 21 | 64 7 | 3 | 3 | 0 | 0 4 | 22 | 2 | 14 | 0 | 34 1 | 4 0 | 0 | 1 | 0 | 7 | 67 | 44 | 832 |
| 21/06/2021 | Junho | segunda-feira | 25 | SP-595 | - | S | Santa Fé do Sul - Ilha Solteira | 16h | 588 | 12 | 2 | 14 | 0 | 0 | 19 | 18 | 50 11 | 5 | 5 | 0 | 0 4 | 34 | 2 | 16 | 0 | 21 1 | 0 0 | 0 | 3 | 0 | 3 | 38 | 51 | 906 |
| 22/06/2021 | Junho | terça-feira | 26 | SP-595 | - | S | Ilha Solteira - Itapura | 16h | 699 | 9 | 1 | 15 | 4 | 0 | 22 | 26 | 33 7 | 3 | 7 | 1 | 1 3 | 35 | 1 | 18 | 2 | 9 1 | 5 0 | 0 | 1 | 1 | 3 | 17 | 63 | 996 |
| 22/06/2021 | Junho | terça-feira | 26 | SP-595 | - | N | Itapura - Ilha Solteira | 16h | 690 | 12 | 1 | 17 | 2 | 0 | 20 | 30 | 34 6 | 3 | 6 | 1 | 1 3 | 31 | 3 | 14 | 0 | 9 1 | 9 0 |) 1 | 0 | 0 | 4 | 28 | 52 | 987 |





7. Termo de Encerramento

Este Termo encerra o Caderno 2 – Produto 01 – Estudos de Tráfego para os Estudos para a Concessão da rodovia MS-112 e trechos das rodovias BR-158/MS e BR-436/MS, referente ao Procedimento de Manifestação de Interesse PMI Nº 02/2021.